



Hochschule für Angewandte Wissenschaften Hamburg
Hamburg University of Applied Sciences

Bachelorthesis

Robert Ostermann

Experimentalaufbau einer kombinierten
logarithmischen und linearen Verstärkerbank für
ABS-Sensoren

*Fakultät Technik und Informatik
Department Informations- und
Elektrotechnik*

*Faculty of Engineering and Computer Science
Department of Information and
Electrical Engineering*

Robert Ostermann
Experimentalaufbau einer kombinierten
logarithmischen und linearen Verstärkerbank für
ABS-Sensoren

Bachelorthesis eingereicht im Rahmen der Bachelorprüfung
im Studiengang Informations- und Elektrotechnik
am Department Informations- und Elektrotechnik
der Fakultät Technik und Informatik
der Hochschule für Angewandte Wissenschaften Hamburg

Betreuender Prüfer : Prof. Dr. -Ing. Karl-Ragnar Riemschneider
Zweitgutachter : Prof. Dr. -Ing. Jürgen Vollmer

Abgegeben am 24. Februar 2012

Robert Ostermann

Thema der Bachelorthesis

Experimentalaufbau einer kombinierten logarithmischen und linearen Verstärkerbank für ABS-Sensoren

Stichworte

ABS-Sensoren, AMR-Effekt, logarithmische Verstärker, lineare Verstärker, Verstärkerbank, Mikrocontroller

Kurzzusammenfassung

Diese Arbeit beschreibt die Entwicklung einer kombinierten logarithmisch und linearen Verstärkerbank, welche mittels linearer Verstärker eine logarithmische Funktion abschnittsweise approximiert. Die dadurch zur Verfügung stehenden Signale wurden dazu verwendet, die zweidimensionale Regelung von Offset und Verstärkung eines bestehenden Controllersystems auf eine Dimension, die Offsetregelung zu reduzieren. Durch das System sollen anschließend AMR-Sensorsignale verarbeitet werden, welche eine große Dynamik in Amplitude und Frequenz umfassen.

Robert Ostermann

Title of the paper

Experimental combination of a logarithmical and linear amplifier bank for anti-lock brake sensor

Keywords

ABS-sensors, AMR-effect, logarithmic amplifier, linear amplifier, amplifier bank, microcontroller

Abstract

This paper is on the development of a combination of logarithmic and linear amplifier, which approximate the logarithm by piecewise linear segments. The available signals are used to reduce the two-dimensional offset- and gain control to only one-dimensional control loop, the offset compensation. The system processes AMR-sensor signals which include a wide dynamic in amplitude and frequency range.

Danksagung

An dieser Stelle möchte ich mich ganz besonders bei Herrn Prof. Dr.-Ing. Karl-Ragnar Riemschneider dafür bedanken, dass er mir ermöglicht hat diese Arbeit zu erstellen und für sein unermüdliches Engagement im Rahmen der Forschungsprojekte ESZ-ABS und BAT-SEN.

Weiterhin danke ich Herrn Prof. Dr.-Ing. Jürgen Vollmer für seine Arbeit als Zweitprüfer und seine stete Bereitschaft mir mit fachlichem Rat zur Seite zu stehen.

Außerdem möchte ich Herrn Dipl.-Ing. Martin Krey für seine Unterstützung danken, die maßgeblich zum Gelingen dieser Arbeit beigetragen hat.

Ein besonderer Dank geht an meine Eltern, die mir die Möglichkeit gegeben haben mein Studium zu absolvieren und mich immer unterstützt haben.

Inhaltsverzeichnis

1	Einführung	7
1.1	Einleitung	7
1.2	Bestehendes System	9
1.2.1	Controllerplatine	9
1.2.2	Regelplatine	10
1.2.3	Verstärkerplatine	11
1.2.4	Displayplatine	12
1.3	Aufgabenstellung	12
2	Analyse	14
2.1	Logarithmische Verstärkung	14
2.1.1	Kontinuierlicher Logarithmierer	14
2.1.1.1	Logarithmierer mit Diode	14
2.1.1.2	Logarithmierer mit Transistor	15
2.1.1.3	Zusammenfassung kontinuierlicher Logarithmierer	16
2.1.2	Stückweise lineare Approximation	17
2.2	Delogarithmieren	22
2.2.1	Analytische Umkehrfunktion	22
2.2.2	Delogarithmieren durch Lookup-Tabelle	24
2.3	Offsetkompensation	24
2.3.1	Offsetkompensation durch Wechselstromkopplung	25
2.3.2	Offsetkompensation mittels Duty-Cycle	26
2.4	Verstärkungsauswahl	28
2.4.1	Verstärkungsregelung bei linearer Verstärkung	28
2.4.2	Verstärkerauswahl durch schnelle Abtastung	28
2.4.3	Verstärkerauswahl durch Delogarithmierung	29
3	Schaltungsentwurf und Simulation	30
3.1	Logarithmischer Verstärker	30
3.1.1	Begrenzungsverzerrung von Operationsverstärkern	30
3.1.2	Reihenschaltung von Verstärkern	32
3.1.3	Parallelschaltung von Verstärkern	33
3.1.4	Analoger Addierer	34
3.1.5	Simulation der logarithmischen Verstärker	35

3.1.6	Phasengangkorrektur	37
3.2	Zusammenfassung Reihen- und Parallelschaltung	39
3.2.1	Theoretische Gegenüberstellung	39
3.2.2	Praktische Gegenüberstellung	40
3.3	Lineare Verstärkung	41
3.4	Energieversorgung der Messbrücke	43
3.5	Vorverstärker	44
3.6	Verstärkung der Halbbrückensignale	44
3.7	Offset-Stellglied	45
4	Systemintegration	46
4.1	Hardwareintegration	46
4.2	Signalführung	46
4.3	Softwareintegration	48
4.3.1	Regelcontroller Software	48
4.3.2	Initialisierung	49
4.3.3	Abtastung	49
4.3.4	Zustandsautomat	51
4.3.5	Offsetkompensation	52
4.3.6	Verstärkungsauswahl	53
5	Messungen und Funktionsnachweis	56
5.1	Amplitudengang	56
5.2	Phasengang	58
5.3	Verstärkungsauswahl	59
5.4	Offsetkompensation	63
5.5	Brückenversorgung	65
5.6	Radmessplatz	66
6	Bewertung und Ausblick	72
6.1	Bewertung	72
6.2	Ausblick	73
	Literaturverzeichnis	74
	Anhang	75
	Abkürzungsverzeichnis	150
	Tabellenverzeichnis	151
	Abbildungsverzeichnis	152

1 Einführung

1.1 Einleitung

Das Antiblockiersystem, kurz ABS, kommt heutzutage millionenfach in Kraftfahrzeugen zum Einsatz und ist maßgeblich für die Sicherheit im Straßenverkehr mitverantwortlich. Damit das System seinen Anforderungen gerecht wird ist es wichtig, dass stets aktuelle Informationen über die Geschwindigkeit des Fahrzeugs, bestimmt durch die Drehzahl der einzelnen Räder, vorliegen. Die Informationen werden von einem Steuergerät ausgewertet. Bei einer Gefahrenbremsung wird dann das Blockieren der Räder verhindert und das Fahrzeug bleibt kontrollierbar.

Zur Ermittlung der Drehzahl, der Räder, kommen ABS-Sensoren zum Einsatz. Da diese in unmittelbarer Nähe zur Radnabe montiert werden sind sie extremen Bedingungen wie Schmutz, Temperatur und Vibration ausgesetzt. Sensoren, die auf dem anisotropen (von der Raumrichtung abhängig) magnetoresistiven (AMR) Effekt beruhen eignen sich hier, da sie berührungslos arbeiten.

Der AMR-Effekt beschreibt nach [6] die Änderung eines elektrischen Widerstandes in Abhängigkeit eines äußeren Magnetfeldes. Ist das Magnetfeld in bzw. gegen die Stromrichtung ausgerichtet, ist der Widerstand am größten. Wird das Magnetfeld hingegen senkrecht zur Stromrichtung angelegt, ist der elektrische Widerstand am kleinsten.

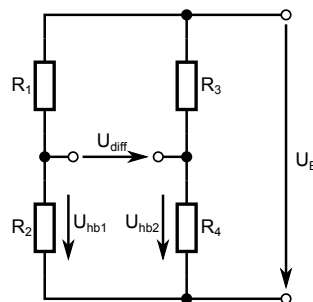


Abbildung 1.1: Wheatstonsche Messbrücke

Um die Änderung des Widerstandes nutzbar zu machen, sind typischerweise vier Widerstände, wie in Abbildung 1.1 dargestellt, zu einer Wheatstoneschen Messbrücke zusammen geschaltet.

Der AMR-Sensor ist mit einem Stützmagneten ausgestattet, welcher ein äußeres Magnetfeld hervorruft. Durch ein Encoderrad wird die Raumrichtung des Magnetfeldes innerhalb des Sensors beeinflusst und somit die Widerstände innerhalb des Sensors beeinflusst. Der Zusammenhang zwischen Encoderrad und der Brückenspannung U_{diff} ist in Abbildung 1.2 dargestellt.

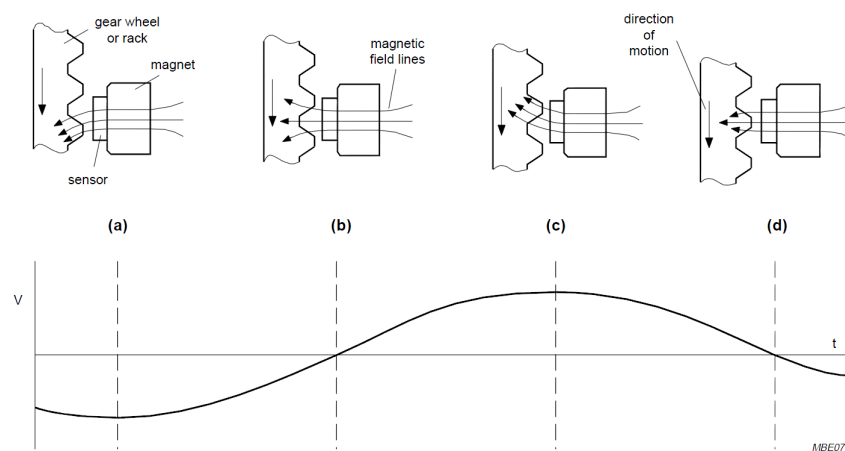


Abbildung 1.2: Zusammenhang zwischen Encoder und U_{diff} , Quelle:[16]

Die maximale Aussteuerung des Signals ist, bei konstanter Versorgungsspannung U_B der Brücke, abhängig von der maximalen Änderung der Widerstände. Diese sind wiederum von der Ablenkung des Magnetfeldes abhängig. Ist die Distanz zwischen Encoderrad und Sensor gering, wird das Magnetfeld stärker abgelenkt als bei einer großen Distanz. Die Amplitude des Brückensignals ist somit direkt von der Distanz zwischen Encoder und Sensor abhängig.

Bedingt durch Fertigungstoleranzen können nicht alle vier Widerstände der Wheatstoneschenbrücke exakt gleich hergestellt werden. Dies führt dazu, dass die Differenzspannung U_{diff} einen konstanten, unerwünschten Gleichanteil aufweist. Zudem kann ein ungleichmäßig verteiltes Magnetfeld innerhalb des Sensors ebenfalls die Brücke verstimmen.

Da nicht davon ausgegangen werden kann, dass das Sensorsignal ideal ist, wie Abbildung 1.3 exemplarisch dargestellt, muss das Signal entsprechend aufbereitet werden. Dazu wird der Offset kompensiert und das Signal verstärkt. Anschließend kann anhand der Nulldurchgänge die Umdrehungsfrequenz des Encoderrads bestimmt werden. Im Rahmen des Forschungsprojekts "Experimentelle digitale Signalverarbeitung und Zustandserkennung für ABS-Sensoren", soll zudem durch eine Eigendiagnose des Sensors, seine Verlässlichkeit

erhöht werden [12]. Für dieses Vorhaben eignet sich nach [10] insbesondere eine Analyse der Harmonischen in Form des Klirrfaktors (THD).

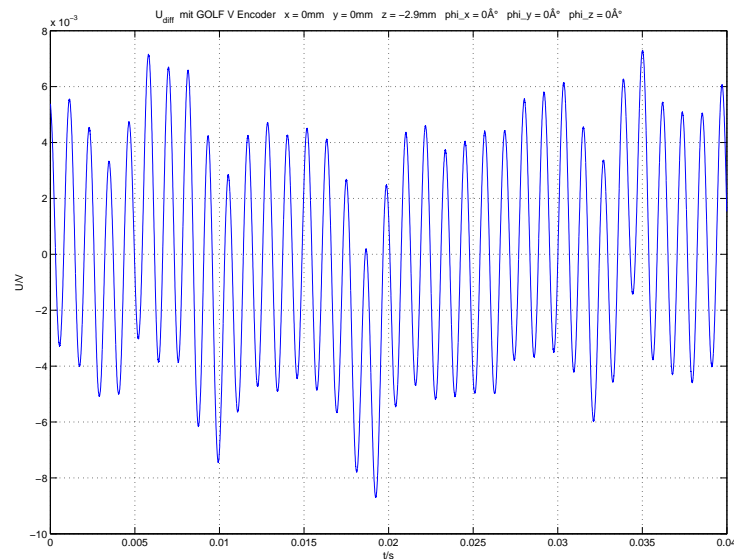


Abbildung 1.3: Stark unregelmäßiges Sensorsignal

1.2 Bestehendes System

In den vorangegangenen Arbeiten [10] und [19] wurde eine Demonstratorplattform geschaffen, die die wesentlichen Eigenschaften zur Nachbildung eines ABS-Sensors enthält. Außerdem wird das Signal der AMR-Messbrücke analysiert, um einen Indikator über den Zustand des Sensors zu gewinnen. In den Arbeiten [11] und [18] wurde entsprechende Verfahren zur Zustandserkennung untersucht.

1.2.1 Controllerplatine

Zur Aufbereitung der Spannungsversorgung und Sicherstellung der Stromversorgung für das gesamte System ist die Controllerplatine mit einem +3V und einem +5V Spannungsregler ausgestattet.

Um die Signalverarbeitung wie z.B. die Berechnung des THD und gleichzeitig die periodische Ausgabe des digitalen Strom-Ausgangssignals sicherzustellen, wurden diese Aufgaben auf zwei Mikrocontroller aufgeteilt. Der Signalcontroller ist für die Erkennung der

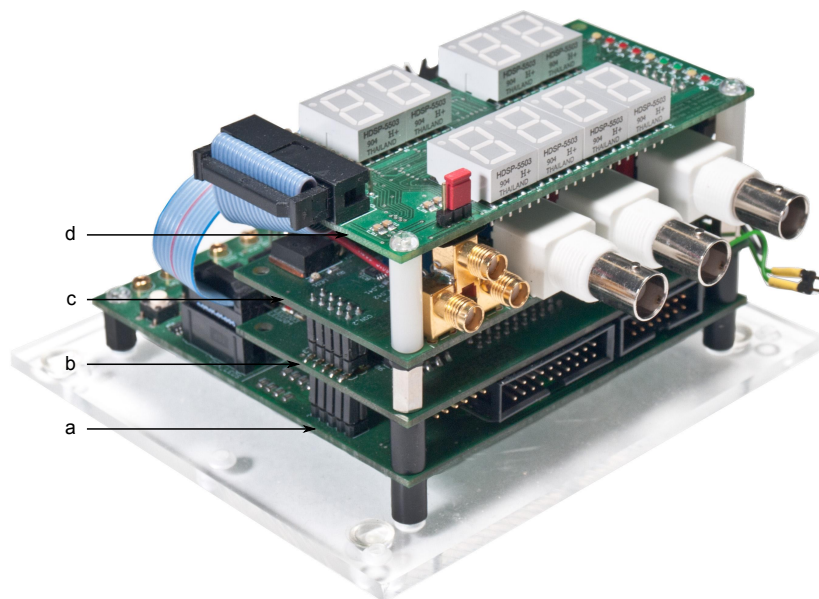


Abbildung 1.4: Bestehende Demonstratorplattform; a:Controllerplatine, b:Regelplatine, c:Verstärkerplatine, d:Displayplatine

Nulldurchgänge und die Berechnung des THD zuständig, während der Protokollcontroller die Ausgabe des digitalen Strom- Ausgangssignals übernimmt.

Zur Nachbildung des Übertragungsprotokolls nach [1] zwischen ABS-Sensor und ABS-Steuergerät, werden mehrere Konstantstromsenken eingesetzt. Neben einer Senke, die die Grundstromaufnahme des Sensors mit $7mA$ imitiert, besteht das System aus zwei weiteren schaltbaren Stromsenken mit jeweils $7mA$ und $14mA$ Stromaufnahmen.

Damit eine Kommunikation zwischen Demonstrator und PC stattfinden kann, ist die UART-Schnittstelle des Signalcontrollers auf eine Stiftleiste herausgeführt. Außerdem verfügt die Controllerplatine über zwei JTAG-Schnittstellen und eine Schnittstelle für die Displayplatine.

1.2.2 Regelplatine

Im Rahmen der Arbeit *Controllersystem zur Verstärkungsregelung und Offsetkompensation für ABS-Sensoren mit Diagnosefunktion* [19] von Martin Stahl ist die Regelplatine entstanden, welche die Demonstratorplattform [10] um eine zusätzliche Komponente erweitert.

Die Regelplatine, welche zwischen der Controllerplatine und der Verstärkerplatine in den Signalpfad eingebunden ist, verfügt über eine JTAG-Schnittstelle, eine UART-Schnittstelle

und eine Schnittstelle für die optionale Displayplatine. Außerdem befinden sich auf ihr ein MSP430 Mikrocontroller, eine Reset-Schaltung sowie mehrere Jumper um den Signalfluss zwischen der Controllerplatine und der Verstärkerplatine zu beeinflussen.

Da auf der ursprünglichen Demonstratorplattform zugunsten der Sensordiagnose die Offsetkompensation nur einmalig erfolgt und die Einstellung der Verstärkung händisch vorgenommen werden musste, wurde ein nebenläufiger Prozess entwickelt, der sowohl die Verstärkungsregelung als auch die Offsetkompensation übernimmt. Zur Offsetkompensation wird der Duty-Cycle der Brückendifferenzspannung U_{diff} bestimmt und über einen der beiden DACs des Mikrocontrollers auf 50 % geregelt. Für die Verstärkungsregelung wird das Differenzsignal abgetastet und überprüft, ob das Signal in einem optimalen Aussteuerungsbereich liegt. Ist dies nicht der Fall, wird die Verstärkung auf der Verstärkerplatine entsprechend angepasst.

Zusätzlich kommuniziert der Regelcontroller mit dem Signalcontroller auf der Controllerplatine, um die nachfolgende Diagnosefunktion freizugeben. Befindet sich das System in der aktiven Regelung wird die weitere Signalverarbeitung gesperrt und erst wieder freigegeben, wenn das System ausgeregelt ist.

1.2.3 Verstärkerplatine

Auf der Verstärkerplatine werden die Signale, welche von der AMR-Messbrücke kommen für die weitere Signalverarbeitung aufbereitet. Dazu werden die beiden Halbbrückenspannungen U_{hb1} und U_{hb2} als Erstes von einem Tiefpassfilter 1. Ordnung, mit der Grenzfrequenz $f_g = 56,7$ kHz gefiltert, um hochfrequente Störungen zu unterdrücken.

Die beiden Halbbrückenspannungen werden anschließend 25-fach verstärkt und an die weitere Signalverarbeitung weitergegeben. Da es durch Asymmetrien innerhalb der Messbrücke zu Offsets kommen kann, besteht die Möglichkeit, diese durch ein Potentiometer auszugleichen.

Zusätzlich wird die Differenz der beiden Halbbrückenspannungen gebildet. Dies geschieht über einen Differenzverstärker, der das Signal gleichzeitig noch um den Faktor 25 verstärkt.

$$U_{diff} = U_{hb1} - U_{hb2} \quad (1.1)$$

Da $U_{mathit{Diff}}$ ebenfalls Offset behaftet sein kann, muss dieser auch entsprechend kompensiert werden. Dazu wird mittels eines DAC (Digital Analog Umsetzer) des Regelcontrollers die Referenzspannung des nachfolgenden DVGA (Digital Variable Gain Amplifier) gesetzt. Durch den DVGA, dessen Verstärkung zwischen 1 und 128 eingestellt werden kann, wird das Signal weiter verstärkt. Somit beträgt die Verstärkung des Differenzsignals mindestens 25 und maximal 3200.

1.2.4 Displayplatine

Um diverse Parameter im laufenden Betrieb überprüfen zu können, kann der Demonstrator zusätzlich mit einer Displayplatine ausgestattet werden. Die Displayplatine stellt eine vierstellige und zwei zweistellige Siebensegmentanzeigen zur Visualisierung zur Verfügung.

Angesteuert werden kann die Displayplatine je nach Konfiguration, sowohl vom Reglercontroller, als auch vom Signalcontroller. Typischerweise wird die Displayplatine mit dem Signalcontroller verbunden, um relevante Systemparameter anzuzeigen. Dabei werden die Zahnfrequenz des Encoders auf der vierstelligen Anzeige visualisiert und der aktuelle Zustand des Zustandsautomaten des Signalcontrollers bzw. der THD des Brückendifferenzsignals auf den beiden zweistelligen Anzeigen.

1.3 Aufgabenstellung

In dieser Arbeit soll der lineare Verstärker der bestehenden Demonstratorplattform durch eine kombinierte logarithmisch und lineare Verstärkerbank ersetzt werden. Das Problem bei ABS-Sensoren, die auf dem AMR-Effekt beruhen ist, dass eine zweidimensionale Regelung des Sensorsignals erforderlich ist. Da zum einen der Herstellungsprozess und weitere physikalische Faktoren zu einer Verstimmung der Messbrücken führen, muss der dadurch entstehende Gleichspannungsanteil kompensiert werden. Zum anderen ist eine Regelung der Verstärkung notwendig, da die Signalgröße stark von der Einbaulage des Sensors abhängig ist. Durch den Einsatz der kombinierten logarithmisch und linearen Verstärkerbank soll die Regelung der Verstärkung entfallen. Sodass nur noch eine Offsetkompensation erforderlich ist.

Aus dem logarithmischen Signal soll zudem die Referenzfrequenz für die nachfolgende Signalverarbeitung gewonnen werden. Da bereits bei der Anfahrt des Fahrzeuges zuverlässige Informationen benötigt werden, müssen auch Signale von unter 1 Hz verarbeitet werden können. Dies ist problematisch, da herkömmliche Verfahren zur Gleichspannungsunterdrückung nicht zum Einsatz kommen können. Zudem müssen Signale mit einer Frequenz von bis zu 2,5 kHz verarbeitet werden können. Das Signal hat somit eine relativ große Bandbreite, die über mehrere Dekaden reicht.

Für die weitere Signalverarbeitung soll ein optimal ausgesteuertes, linear verstärktes Signal zur Verfügung stehen. Da durch die Verwendung einer Verstärkerbank gleichzeitig unterschiedlich stark verstärkte Signale zur Verfügung stehen, kann hieraus direkt ein geeignetes ausgewählt werden. Um eine Vergleichbarkeit zu dem bestehenden System zu schaffen, soll die Verstärkerbank so dimensioniert werden, dass diese ebenfalls eine Verstärkung von 25...3200 abdeckt.

Für die Auswahl des linear verstärkten Signals, welches an die Signalverarbeitung weitergeleitet wird, sollen mehrere Auswahlmöglichkeiten untersucht werden. Eine Möglichkeit ist dabei die Abtastung aller durch die Verstärkerbank zur Verfügung stehenden Signale und Beurteilung anhand der Aussteuerungsgrenze. Eine weitere Möglichkeit ist die Auswahl der optimalen Verstärkung durch Analyse des logarithmierten Signals.

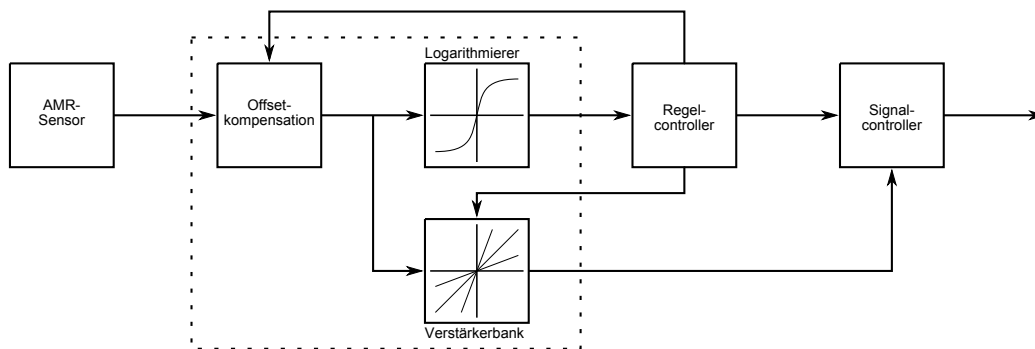


Abbildung 1.5: Schematisches Zusammenwirken der Grundfunktionalität

2 Analyse

2.1 Logarithmische Verstärkung

Damit die zweidimensionale Regelung des Eingangssignals, welche Offset- und Verstärkungsregelung umfasst, auf eine Dimension, die Offsetkompensation, reduziert werden kann, soll das Eingangssignal durch einen Logarithmierer vorverarbeitet werden.

2.1.1 Kontinuierlicher Logarithmierer

2.1.1.1 Logarithmierer mit Diode

Wie in [20] beschrieben, kann die Shockley-Gleichung 2.1, welche die Kennlinie einer Diode beschreibt ausgenutzt werden, um ein Ausgangssignal zu erzeugen, welches proportional zum Logarithmus des Eingangssignals ist.

$$I_A = I_S \left(\exp\left(\frac{U_{AK}}{n \cdot U_T}\right) - 1 \right) \quad (2.1)$$

Dabei wird der Diodenstrom I_A durch den Sättigungsstrom I_S , der Temperaturspannung $U_T = \frac{k \cdot T}{e_0}$, der Anoden-Kathoden-Spannung U_{AK} und einem Korrekturfaktor n beschrieben. Ist der Diodenstrom viel größer als der Sättigungsstrom kann vereinfacht angenommen werden:

$$I_A = I_S \cdot \left(\exp \frac{U_{AK}}{n \cdot U_T} \right) \quad (2.2)$$

$$\Rightarrow U_{AK} = n \cdot U_T \cdot \ln \left(\frac{I_A}{I_S} \right) \quad (2.3)$$

Um das logarithmische Ausgangssignal, welches vom Durchlassstrom I_A der Diode abhängig ist, von einer Spannung abhängig zu machen, wird die Diode, wie in 2.1 dargestellt, in den Rückkopplungspfad eines invertierenden Verstärkers geschaltet. Damit ergibt sich für die Ausgangsspannung folgende Funktion:

$$U_a = -n \cdot U_T \cdot \ln \left(\frac{U_e}{R_1 \cdot I_S} \right) \quad (2.4)$$

Der ausnutzbare Bereich dieser Schaltung wird dabei durch zwei Faktoren eingeschränkt. Zum einen besitzt die reale Diode einen Serienwiderstand, der dazu führt, dass die Kennlinie mit steigendem Strom I_A linear ansteigt.

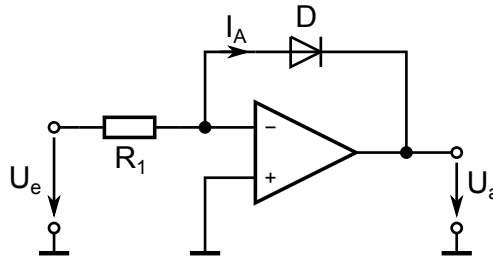


Abbildung 2.1: Logarithmierer mit Diode nach [20]

Zum anderen ist der Korrekturfaktor n ebenfalls abhängig vom Durchflussstrom und verfälscht das Ergebnis zusätzlich. Eine hinreichende Genauigkeit der logarithmischen Kennlinie lässt sich nach [20] somit nur über ein bis zwei Dekaden der Eingangsspannung U_e erreichen.

2.1.1.2 Logarithmierer mit Transistor

Eine weitere Möglichkeit einen Logarithmierer zu realisieren, ist ebenfalls in [20] beschrieben. Dabei wird die Diode aus 2.1 durch einen Transistor, wie in Abbildung 2.2 dargestellt, ersetzt. Dadurch, dass anstelle einer Diode ein Transistor eingesetzt wird, hat diese Schaltung den Vorteil, dass der Logarithmus unabhängig vom Korrekturfaktor n ist. Mit dem Sättigungssperrstrom I_{CS} des Transistors lässt sich das Ausgangssignal wie folgt beschreiben:

$$U_a = -U_T \cdot \ln \left(\frac{U_e}{R_1 \cdot I_{CS}} \right) \quad (2.5)$$

Ein weiterer Vorteil dieser Schaltung ist, dass keine Verfälschung des Ergebnisses durch den Basis-Kollektor-Strom I_{CB} auftritt, da die Basis-Kollektor-Spannung $U_{CB} = 0V$ ist. Außerdem geht die Stromverstärkung B des Transistors nicht in das Ergebnis mit ein. Ein Nachteil der Schaltung ist allerdings, dass sie zum Schwingen neigt, da der Transistor die Schleifenverstärkung erhöht.

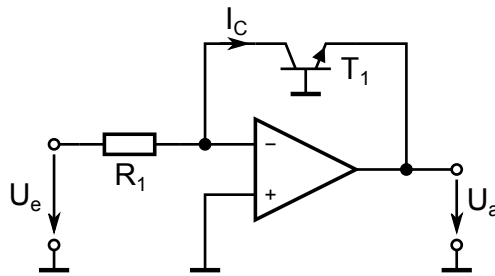


Abbildung 2.2: Logarithmierer mit Transistor nach [20]

2.1.1.3 Zusammenfassung kontinuierlicher Logarithmierer

Wie gezeigt, kann mittels Diode bzw. Transistor relativ einfach ein Logarithmierer realisiert werden. Dieser hat allerdings den Nachteil, dass er durch die Temperaturspannung U_T sehr empfindlich gegenüber Temperaturschwankungen ist. Ändert sich, wie in [20] beschrieben, die Temperatur beispielsweise von 20°C auf 50°C , nimmt U_T um 10% zu. Der Sättigungssperrstrom des Transistors ist ebenfalls stark temperaturabhängig und verzehnfacht sich bei der gegebenen Temperaturänderung. Der Einfluss des Sperrstroms lässt sich allerdings durch Bilden der Differenz zweier Logarithmen eliminieren, siehe [20].

Ein weiterer Nachteil der beiden Schaltungen ist in Abbildung 2.3 dargestellt. Die beiden Schaltungen sind, wie der Logarithmus selbst, nur für positive Werte definiert und gehen bei negativen Eingangssignalen in die positive Begrenzung. Dies stellt bei der Auswertung von Wechselspannungen ein Problem da.

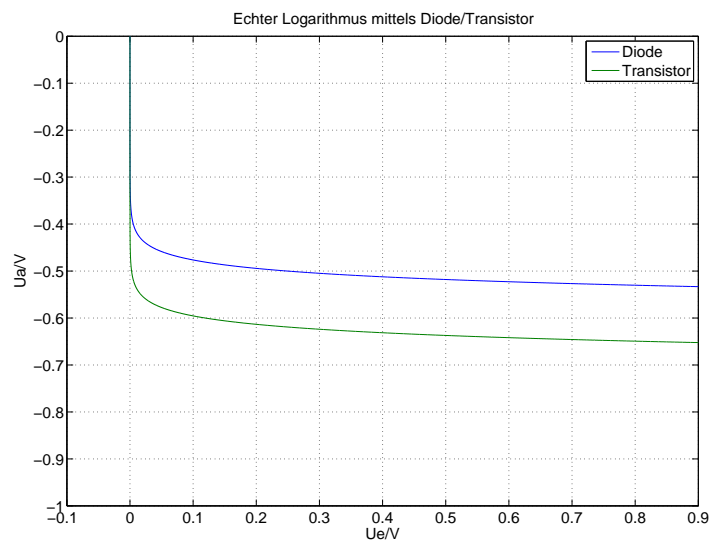


Abbildung 2.3: Kennlinien kontinuierlicher Logarithmierer

2.1.2 Stückweise lineare Approximation

Durch die stückweise lineare Approximation, wie in [14] beschrieben, ist es möglich den Logarithmus durch lineare Teilstücke nachzubilden.

Hierzu wird eine sogenannte Verstärkerbank aufgebaut, welche aus mehreren hintereinander geschalteten realen Verstärkern besteht. Auf eine alternative Parallelschaltung wird in Abschnitt 3.1.3 eingegangen. Die hintereinander geschalteten Verstärker haben dabei jeweils die Verstärkung V , ausgenommen dem ersten Verstärker, dessen Verstärkung $V - 1$ beträgt. In Abbildung 2.4 ist der schematische Aufbau dargestellt.

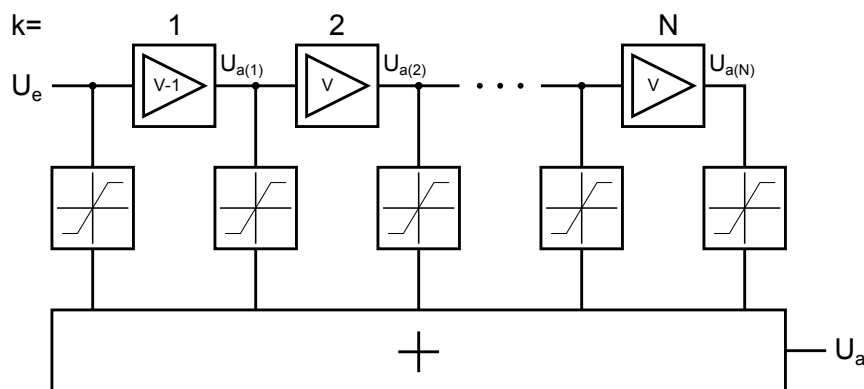


Abbildung 2.4: Schematischer Aufbau in Reihenschaltung

Reale Verstärker haben die Eigenschaft, dass sie nur bis zu einer maximalen Ausgangsspannung verstärken. Im Gegensatz zu idealen Verstärkern (vgl. Abbildung 2.5), die darüber hinaus weiterhin linear arbeiten, bleiben diese in der Sättigung. Die differentielle Verstärkung wird dabei durch $\frac{\Delta U_a}{\Delta U_e}$ beschrieben. Geht der Verstärker in die Sättigung, so nimmt die Verstärkung entsprechend ab, da ΔU_a klein wird.

Werden mehrere reale Verstärker wie beschrieben verschaltet, ist die Gesamtverstärkung des Systems durch die Anzahl der Stufen N gegeben:

$$V_{ges} = (V - 1) \cdot V^{N-1} \quad (2.6)$$

Dies gilt allerdings nur solange, bis der letzte Verstärker der Kette in die Sättigung geht.

Anders verhält es sich, wenn zusätzlich die Signale der einzelnen Stufen aufsummiert werden:

$$V_{ges} = 1 + \sum_{n=1}^N (V - 1) \cdot V^{n-1} \quad (2.7)$$

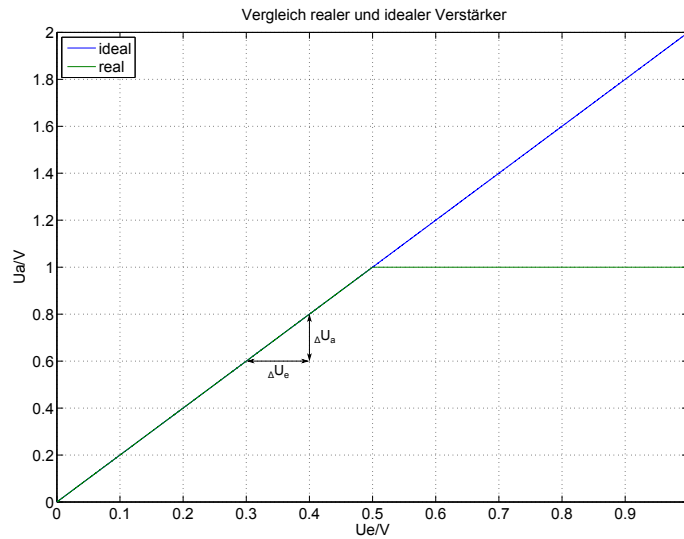


Abbildung 2.5: Vergleich idealer und realer Verstärker ($V = 2, U_{limit} = 1 \text{ V}$)

Steigt das Eingangssignal in diesem Fall soweit an, dass die letzte Stufe in die Begrenzung geht, bleibt das System nicht in der Sättigung, sondern die Verstärkung des Systems nimmt um den letzten Summanden ab. Steigt das Eingangssignal weiter an, gehen nacheinander alle Verstärker in die Begrenzung. Die Verstärkung V_{ges} kann dann anhand des Verstärkers k bestimmt werden, welcher als Letztes in die Sättigung gegangen ist. Dabei sind die Verstärker, wie in Abbildung 2.4 dargestellt, der Reihe nach nummeriert.

$$V_{ges}(k) = 1 + \sum_{n=1}^{k-1} (V - 1) \cdot V^{n-1} = V^{k-1} \quad (2.8)$$

Zudem kann daran die Funktion des Systems beschrieben werden. Die Verstärkung des Signals nimmt bei steigendem Eingangssignal, wie bereits beschrieben, ab. Für jede Stufe, die nicht mehr linear arbeitet, wird eine Konstante U_{Limit} auf das Ausgangssignal aufaddiert. Diese entspricht der Höhe der Sättigung.

$$U_a(U_e, k) = U_e \cdot V^{k-1} + (N - k + 1) \cdot U_{Limit} \quad (2.9)$$

Zusätzlich kann anhand der Verstärkung die Ausgangsspannung der einzelnen Verstärkerstufen in Abhängigkeit der Eingangsspannung berechnet werden:

$$U_a(k) = (V - 1) \cdot V^{k-1} \cdot U_e \quad (2.10)$$

Wenn die Ausgangsspannung der Stufen gleich der Konstanten U_{Limit} gesetzt wird, kann daraus berechnet werden bei welchen Eingangsspannungen dieser Wert erreicht wird:

$$U_{e,s}(k) = \frac{U_{Limit}}{(V-1) \cdot V^{k-1}} \quad (2.11)$$

Werden die Spannungen U_{Limit} und $U_{e,s}$ auf 1 V normiert, kann aus Gl. 2.11 der Wert k berechnet werden:

$$V^{k-1} = \frac{U_{Limit,N}}{(V-1) \cdot U_{e,s,N}(k)}$$

$$k-1 = \log_V \left(\frac{U_{Limit,N}}{(V-1) \cdot U_{e,s,N}(k)} \right)$$

$$k = \log_V(U_{Limit,N}) - \log_V(U_{e,s,N}(k)) + \log_V(V-1) + 1 \quad (2.12)$$

Wird Gl. 2.12 in Gl. 2.9 eingesetzt und U_a an den Stellen $U_e = U_{e,s}(k)$ berechnet, folgt daraus:

$$U_a|_{U_e=U_{e,s}(k)} = U_{Limit} \left[\frac{1}{V-1} + N - \log_V(U_{Limit,N}) + \log_V(V-1) + \log_V(U_{e,s,N}(k)) \right] \quad (2.13)$$

Anhand von Gl. 2.13 können die Werte des Ausgangssignals berechnet werden, bei denen die einzelnen Stufen gerade in die Begrenzung gehen. Betrachtet man die Formel genauer, wird ersichtlich, dass nur der letzte Term abhängig vom Eingangssignal ist und alle weiteren als eine Konstante zusammengefasst werden können:

$$\alpha = \frac{1}{V-1} + N - \log_V(U_{Limit,N}) + \log_V(V-1) \quad (2.14)$$

Die Funktion kann mit Hilfe der Logarithmengesetze wie folgt ausgedrückt werden:

$$U_a|_{U_e=U_{e,s}(k)} = U_{Limit} \cdot \log_V \left(V^\alpha \cdot \frac{U_{e,s}(k)}{1 \text{ V}} \right) \quad (2.15)$$

Die Punkte, an denen die einzelnen Verstärker in die Sättigung gehen, können somit durch einen Logarithmus zur Basis V beschrieben werden.

In Abbildung 2.6 ist das Ausgangssignal als Funktion des Eingangssignals der beschriebenen Verstärkeranordnung dargestellt. Dazu wurde das beschriebene Verhalten mittels MATLAB simuliert. Der entsprechende Quellcode befindet sich in Anhang D.2.1. Für

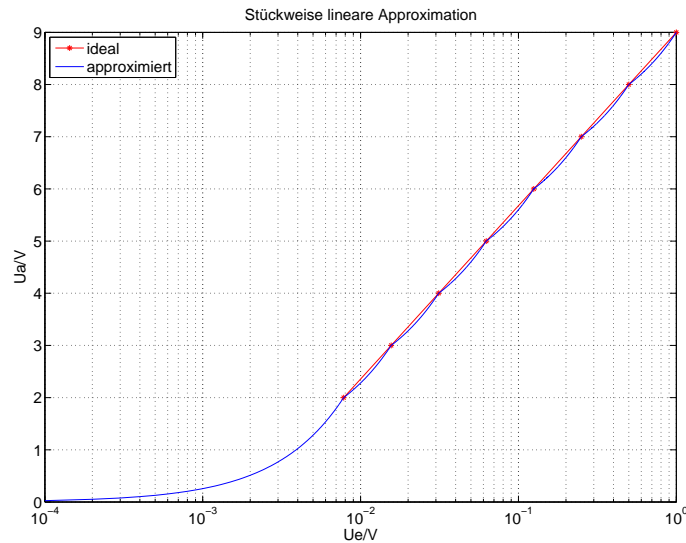


Abbildung 2.6: Stückweise lineare Approximation, eigene Simulation nach [14]

die Simulation wurde eine Verstärkung von $V = 2$ bei insgesamt 8 Verstärkerstufen und $U_{Limit} = 1$ V gewählt.

Zudem sind die mit Gl. 2.15 berechneten Ausgangssignale in Abhängigkeit der Eingangssignale dargestellt, an denen die einzelnen Stufen in die Begrenzung gehen. Da diese in der logarithmischen Darstellung eine Gerade bildet, stellt sie eine logarithmische Funktion dar. Die Approximation durch die Verstärkerkette, welche entlang der Geraden verläuft und diese stellenweise berührt bildet somit eine gute Näherung der logarithmischen Funktion. Für Signale oberhalb des ersten Knickpunktes können die Ausgangssignale somit mit Gl. 2.16 berechnet werden.

$$U_a = U_{Limit} \cdot \log_V \left(V^\alpha \cdot \frac{U_e}{1 \text{ V}} \right) \quad (2.16)$$

Die Näherung gilt allerdings nur, wie in Abbildung 2.6 zu sehen ist, für Bereiche oberhalb des ersten Knickpunktes. Unterhalb dieses Punktes wird das System durch einen linearen Zusammenhang beschrieben, welcher der maximalen Verstärkung des Systems entspricht und dafür sorgt, dass die Kennlinie durch den Ursprung läuft. In Abbildung 2.7 wird zudem eine weitere Eigenschaft der Approximation deutlich. Da die Verstärker nicht nur für positive Eingangssignale in die Begrenzung gehen, sondern auch für negative, ist die Kennlinie des Logarithmierers punktsymmetrisch. Somit ist dieses Verfahren auch für Wechselspannungssignale geeignet.

Für die Verarbeitung von bipolaren Signalen ist jedoch auch eine bipolare Versorgung notwendig. In einem Kraftfahrzeug steht nur eine unipolare Spannungsversorgung zur Verfügung, welches ein generelles Problem bei der Verarbeitung von negativen Signalen darstellt.

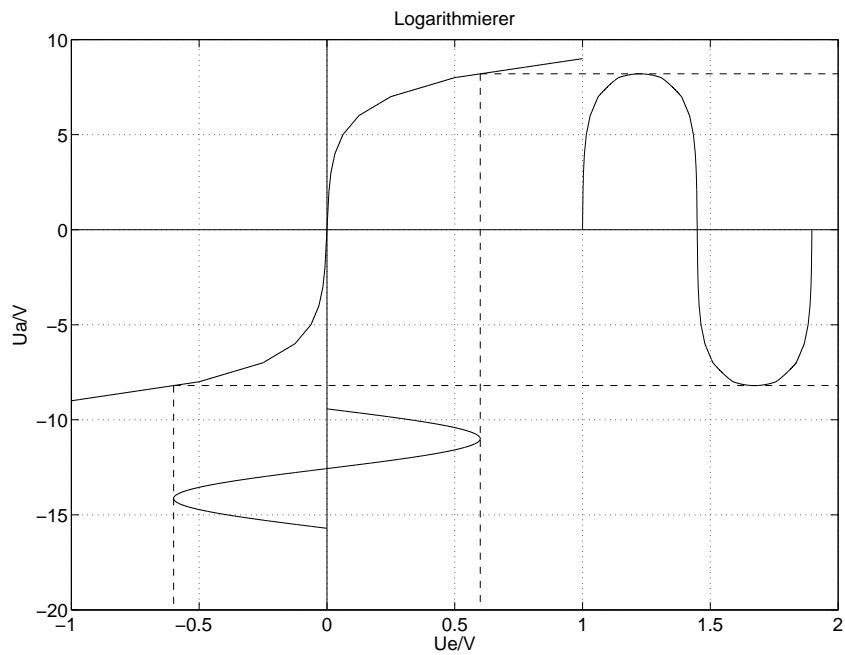


Abbildung 2.7: Logarithmierer Kennlinie

Eine Lösung dieses Problems ist die Verschiebung der Funktion in den ersten Quadranten. Dies bietet sich zudem an, da das Signal der AMR-Messbrücke auf der halben Betriebsspannung der Brücke liegt. Die Verschiebung kann dadurch erfolgen, dass das Bezugspotential der Verstärker beim Schaltungsentwurf auf eine virtuelle Masse (halbe Brückenspannung) gelegt wird. Der Logarithmierer arbeitet dann wie in [Abbildung 2.8](#) dargestellt.

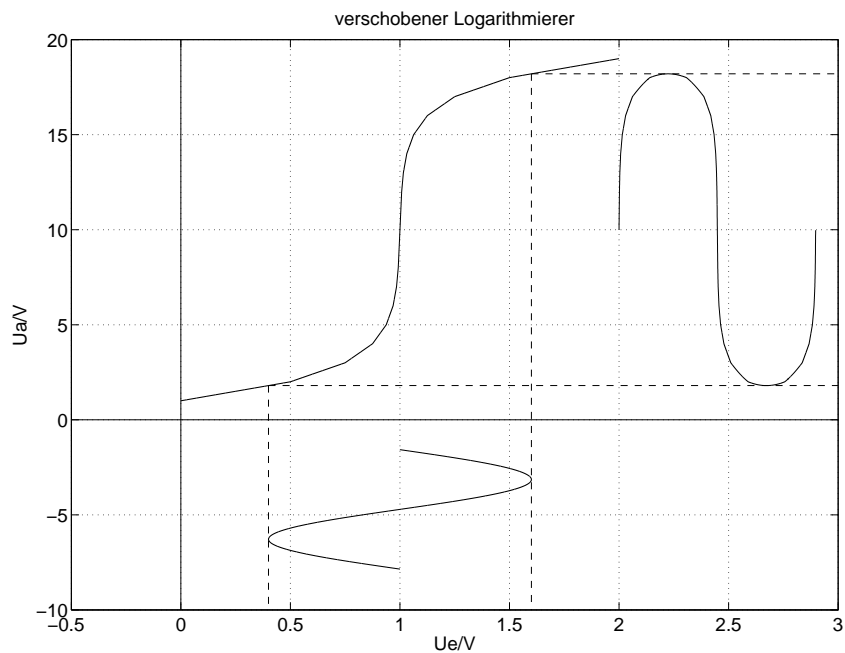


Abbildung 2.8: Kennlinie verschobener Logarithmierer

2.2 Delogarithmieren

In diesem Kapitel werden Möglichkeiten untersucht, um aus dem logarithmierten Signal die Eingangsgröße zurück zu gewinnen. Dabei wird zum einen eine analytische Methode und zum anderen die Speicherung der Umkehrfunktion in Form einer Lookup-Tabelle untersucht.

2.2.1 Analytische Umkehrfunktion

Unter der Annahme, dass durch die stückweise lineare Approximation ein Logarithmus beschrieben wird, kann das System, wie in Abbildung 2.9 zu sehen ist, vereinfacht dargestellt werden. Dabei dient V_V der Verstärkung des Signals und V_N der Anpassung des logarithmischen Signals an den nachfolgenden ADC.

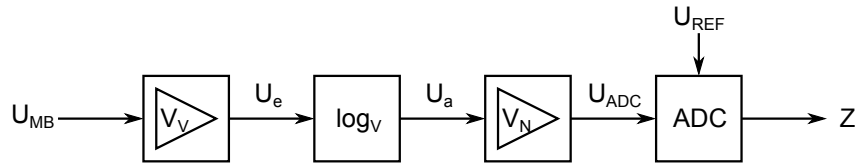


Abbildung 2.9: Schematische Systemdarstellung

Der digitalisierte Wert Z lässt sich dann für gleichspannungsfreie positive Messbrückensignale U_{MB} durch folgende Formel beschreiben:

$$Z = \text{round} \left(\frac{U_{ADC}}{U_{LSB}} \right) = \frac{U_{ADC}}{U_{LSB}} + q \quad (2.17)$$

Wird der Logarithmierer durch Gl. 2.16 beschrieben, kann Z , wie in Gl. 2.18 bzw. Gl. 2.19 dargestellt, gebildet werden.

$$Z = \frac{1}{U_{LSB}} \cdot V_N \cdot U_{Limit} \cdot \log_V \left(V_V \cdot V^\alpha \cdot \frac{U_{MB}}{1 \text{ V}} \right) + q \quad (2.18)$$

$$Z = \frac{2^n}{U_{Ref}} \cdot V_N \cdot U_{Limit} \cdot \log_V \left(V_V \cdot V^\alpha \cdot \frac{U_{MB}}{1 \text{ V}} \right) + q \quad (2.19)$$

Nach Gl. 2.20 kann, unter Vernachlässigung des Quantisierungsfehler q , das Eingangssignal aus dem digitalisierten Wert Z zurück gewonnen werden.

$$U_{MB} = \frac{1 \text{ V}}{V_V \cdot V^\alpha} \cdot V^{\left(\frac{U_{Ref}}{2^n \cdot V_N \cdot U_{Limit}} \cdot Z \right)} \quad (2.20)$$

Findet die weitere Verarbeitung auf einem Mikrocontroller statt, so bietet sich ein Logarithmus zur Basis zwei an. Dadurch wird die Delogarithmierung zu einer 2^x Funktion, welche auf einem binären Rechensystem durch eine einfache Schiebeoperation gelöst werden kann.

$$x = \frac{U_{Ref}}{2^n \cdot V_N \cdot U_{Limit}} \cdot Z \quad (2.21)$$

Dies gilt allerdings nur, wenn x ganzzahlig ist. Da x im vorliegenden Fall von mehreren Parametern abhängig ist, müssen diese passend gewählt werden. Am einfachsten kann dabei die Verstärkung V_N verändert werden. Dann ist allerdings nicht gewährleistet, dass der ADC optimal angesteuert wird. Eine Änderung der Referenzspannung hat den selben Effekt. Idealerweise wird die Spannung U_{Limit} angepasst; da diese allerdings, wie später gezeigt,

ebenfalls nicht frei gewählt werden kann, stellt auch diese Möglichkeit eine unzureichende Lösung dar.

Ist x nicht ganzzahlig kann die Delogarithmierung in die zwei Terme $2^{x_a+x_b} = 2^{x_a} \cdot 2^{x_b}$ geteilt werden. Dabei repräsentiert x_a die Vorkommastelle und x_b die Nachkommastelle. Der erste Teil des Terms, welcher somit ganzzahlig ist, lässt sich dann durch eine Schiebeoperation auf dem Mikrocontroller lösen. Da der zweite Term 2^{x_b} mit $x_b < 1$ eine Wurzelfunktion darstellt und die Lösung einer entsprechenden Funktion auf einem Mikrocontroller sehr aufwendig ist, bietet sich als Alternative an dieser Stelle die Verwendung einer Lookup-Tabelle an.

2.2.2 Delogarithmieren durch Lookup-Tabelle

Eine weitere Möglichkeit, um aus dem logarithmierten Signal auf das Eingangssignal U_e zu schließen ist, die Funktion des System zu messen und die Umkehrfunktion in Form einer Lookup-Tabelle auf dem Regelcontroller zu speichern. Dazu wird das System mit einem Signal gespeist, welches am Ausgang U_{ADC} den gesamten Spannungsbereich des ADCs von 0 bis 2,5 V abdeckt. Die beiden Signale U_e und U_{ADC} werden dabei in digitaler Form gespeichert. Zusätzlich werden die theoretischen Spannungswerte berechnet, welche der ADC digitalisieren kann $\{0, U_{LSB}, 2 \cdot U_{LSB}, \dots, (2^n - 1) \cdot U_{LSB}\}$. Anschließend wird die Differenz zwischen den gemessenen Eingangswerten des ADCs am Ende des Systems und einem theoretischem Wert ermittelt. Für das Minimum des Betrags der Differenz wird der entsprechende Eingangswert des Systems ermittelt und als Wert in einer Lookup-Tabelle gespeichert. Dieser Vorgang wird für alle theoretischen Werte wiederholt. Für die Erstellung der Lookup-Tabelle wurde ein MATLAB Skript entwickelt, welches diesen Vorgang automatisiert. Der entsprechende Quellcode ist in Anhang D.2.4 beigefügt. Diese Methode hat zudem den Vorteil, dass auch im unteren Spannungsbereich, in denen das System linear arbeitet, auf die richtigen Eingangswerte geschlossen werden kann.

2.3 Offsetkompensation

Die Wheatstonsche Messbrücke besteht, wie in Abbildung 1.1 dargestellt, aus vier Widerständen. Mithilfe dieser Anordnung können Widerstandsänderungen in Spannungsänderungen überführt werden. Der Zusammenhang zwischen Widerstand und Spannung lässt sich durch 2.22 beschreiben.

$$U_{diff} = U_B \cdot \left(\frac{R_2}{R_1 + R_2} - \frac{R_4}{R_3 + R_4} \right) \quad (2.22)$$

Sind die Widerstände $R_1 \dots R_4$ gleich gewählt, so ist die Differenzspannung der Brücke $U_{diff} = 0 \text{ V}$. Ändert sich einer der Widerstände, so ändert sich gemäß 2.22 auch die Brückenspannung.

Der AMR-Sensor besteht aus vier vom Magnetfeld abhängigen Widerständen. Dabei sind diese, wie in [17] beschrieben, so entworfen, dass die Widerstände R_1 und R_4 als auch R_2 und R_3 in gleicher Weise vom Magnetfeld abhängen. Durch diese Eigenschaft wird die Aussteuerung von U_{diff} verdoppelt.

Der Einsatz einer Messbrücke hat zudem den Vorteil, dass die Temperaturempfindlichkeit des Sensors reduziert wird. Da sich die einzelnen Widerstände relativ nahe beieinander befinden, kann davon ausgegangen werden, dass diese thermisch gekoppelt sind. Das heißt, wenn die Widerstände exakt gleich groß sind, wirkt sich eine temperaturbedingte Widerstandsänderung auf alle vier Widerstände gleich aus. Somit ist die Abgleichbedingung der Messbrücke nach Gl. 2.23 weiterhin erfüllt.

$$\frac{R_1}{R_2} = \frac{R_3}{R_4} \quad (2.23)$$

Da die vier Widerstände des Sensors nicht beliebig genau produziert werden können, existieren, wie in [12] beschrieben, innerhalb des Sensors zwei Trimmstrukturen, um die Messbrücke abzugleichen. Mithilfe der Trimmstrukturen kann der elektrische Offset der Messbrücke minimiert werden. Dieser kann allerdings nicht vollständig durch die Trimmung eliminiert werden. Daher ist auch die Gl. 2.23 nicht erfüllt, wodurch sich eine temperaturbedingte Widerstandsänderung als Offset auswirkt.

Zu dem elektrischen Offset kommt nach [12] weiterhin ein magnetischer Offset. In unmittelbarer Nähe der Messbrücke ist ein Stützmaget montiert, welcher ein Magnetfeld hervorruft. Dieses Feld durchflutet die Messbrücke und stellt den Arbeitspunkt der vom Magnetfeld abhängigen Widerstände ein. Wird durch den Magneten ein ungleichmäßiges Magnetfeld hervorgerufen, bzw. die vier Brückenwiderstände ungleich von dem Magnetfeld durchflutet, sorgt dies dafür, dass die Widerstände leicht unterschiedliche Werte haben. Nach 2.22 führt dies ebenfalls zu einem unerwünschten Gleichanteil der Brückendifferenzspannung U_{diff} .

2.3.1 Offsetkompensation durch Wechselstromkopplung

Eine Möglichkeit um ein, von Gleichspannung freies Signal zu erzeugen ist, den Gleichanteil herauszufiltern. Dies kann mithilfe eines RC-Hochpasses geschehen. Da der Widerstand des Kondensators von der Frequenz abhängig ist und mit steigender Frequenz abnimmt, werden niederfrequente Signale praktisch nicht durchgelassen. Hochfrequente Signale werden dagegen verhältnismäßig gering beeinflusst.

Die Sensoren sind nach [15] für einen Frequenzbereich von 0 Hz bis 2,5 kHz spezifiziert. Das heißt, dass diese Signale vom Hochpass nicht beeinflusst werden dürfen. Da bereits die Entwicklung eines Hochpasses mit einer Grenzfrequenz von $f_g = 1$ Hz große Kapazitäten benötigt, welche auf Chipebene nicht realisierbar sind, kommt auch eine Realisierung eines Hochpasses mit einer Grenzfrequenz von $f_g < 1$ Hz nicht infrage.

2.3.2 Offsetkompensation mittels Duty-Cycle

In den Arbeiten [10] und [19] wurde gezeigt, dass sich die Offsetkompensation anhand des Duty-Cycle als Verfahren gut eignet. Gerade in Hinblick auf einen Chipentwurf hat dieses Verfahren Vorteile, da es digital arbeitet und somit eine Integration vereinfacht.

Der Duty-Cycle δ beschreibt das Verhältnis zwischen Impulsdauer t_p und Periodendauer T . Bei einem sinusförmigen Signal (vgl. Abbildung 2.10) werden diese beiden Parameter anhand der Nulldurchgänge bestimmt. Die Zeit vom ersten positiven Nulldurchgang bis zum darauffolgenden Nulldurchgang wird dabei als Impulsdauer gewertet. Die Zeit zwischen zwei positiven Nulldurchgängen beschreibt die Periodendauer.

$$\delta = \frac{t_p}{T} \cdot 100\% \quad (2.24)$$

Sind die zeitlichen Abstände zwischen den einzelnen Nulldurchgängen gleich, so beträgt das Tastverhältnis des Signals $t_p = 50\%$ und das Signal ist offsetfrei. Ist der Abstand ungleich, so weist das Signal einen Gleichanteil auf und das Tastverhältnis ist entsprechend $t_p \neq 50\%$.

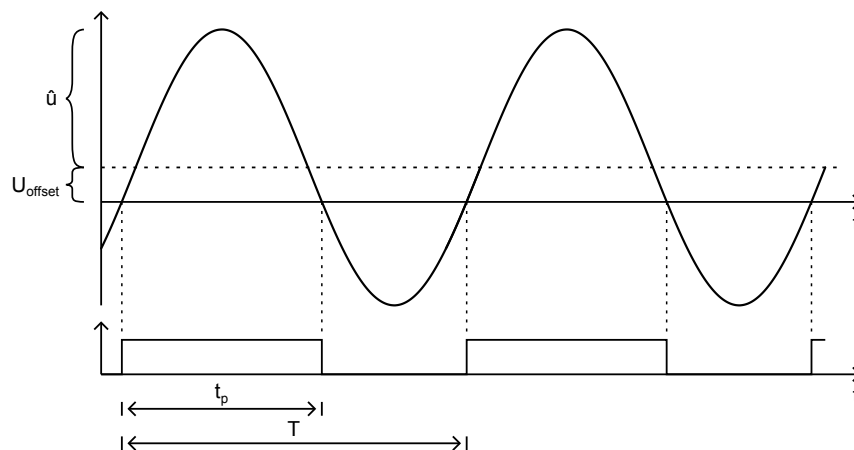


Abbildung 2.10: Ermittlung des Tastverhältnisses, schematisch nach [10]

Für sinusförmige Signale kann mithilfe der Sinusfunktion aus dem Tastgrad direkt der Offset bestimmt werden:

$$U_{offset} = \sin\left(\pi \frac{\delta}{100\%} - \frac{\pi}{2}\right) \quad (2.25)$$

Durch die Näherung wird die Logarithmus Funktion im Ursprung durch eine Gerade beschrieben:

$$f(x) = m \cdot x \quad (2.26)$$

Wodurch $f(x) = 0$ für $x = 0$ ist. D.h., dass die logarithmierte Funktion zu denselben Zeitpunkten die Zeitachse schneidet wie die nicht logarithmierte Funktion. Für die Ermittlung des Tastverhältnisses δ wird, wie beschrieben, die verstrichene Zeit zwischen den Nulldurchgängen ausgewertet. Da die Zeitpunkte der Nulldurchgänge durch das Logarithmieren nicht beeinflusst werden, wird auch das Tastverhältnis nicht beeinflusst.

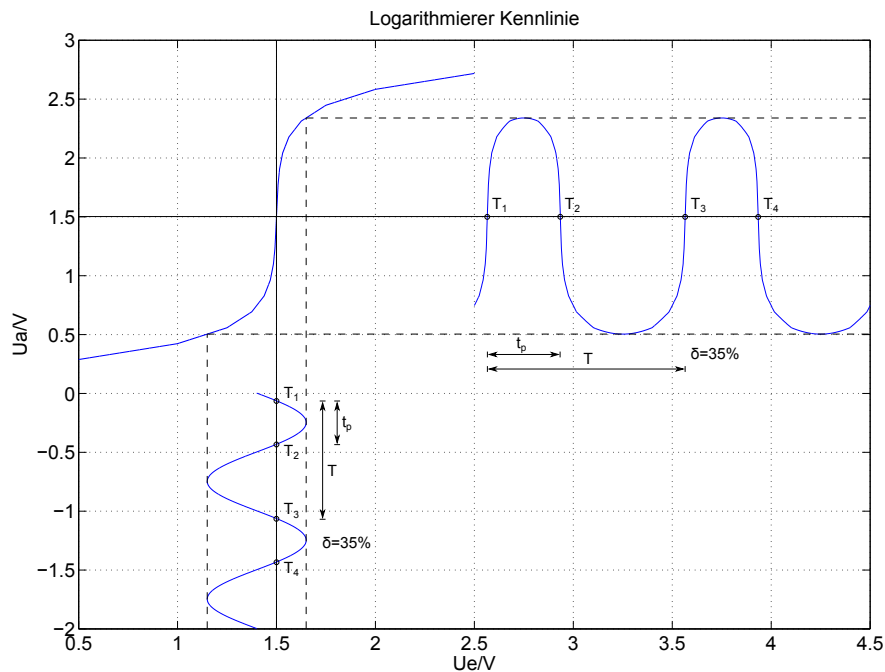


Abbildung 2.11: Logarithmierer mit Duty-Cycle erhaltendes Zeitverhalten

Da der Offset, wie in Kapitel 3.7 beschrieben korrigiert wird, bevor das Signal verstärkt wird, muss aus dem logarithmierten Signal der Gleichspannungsanteil des Eingangssignals bestimmt werden. Aus dem Tastverhältnis des logarithmierten Signals kann allerdings nicht direkt auf den Offset des Eingangssignals geschlossen werden. Dazu muss zusätzlich die Amplitude des Eingangssignals bekannt sein. Stehen beide Informationen zur Verfügung, kann der Offset gemäß Gl. 2.27 berechnet werden. Dabei kann die Amplitude anhand des

Minimums und Maximums bestimmt werden, welche sich am einfachsten detektieren lassen.

$$U_{offset} = \frac{U_{max} - U_{min}}{2} \cdot \sin\left(\pi \frac{\delta}{100\%} - \frac{\pi}{2}\right) \quad (2.27)$$

2.4 Verstärkungsauswahl

Die Widerstandsänderung der AMR-Messbrücke ist von der Richtung und der Stärke des Magnetfelds abhängig, welches den Sensor durchdringt. Dabei wird das Feld stärker beeinflusst, wenn sich das Encoderrad unmittelbar vor dem Sensor befindet. Wird die Entfernung größer, nimmt der Einfluss des Encoders auf das Magnetfeld ab und die Widerstandsänderung wird geringer. Die Amplitude des Ausgangssignals der AMR-Messbrücke ist also direkt abhängig von der Entfernung zwischen Sensor und Encoder. In [10] wurde gezeigt, dass sich die Änderung des Signals bei einer Distanz zwischen 0 und 6 mm über drei Dekaden erstreckt. Somit ist es unerlässlich, die Verstärkung des Eingangssignals an den Aussteuerungsbereich des ADCs anzupassen.

2.4.1 Verstärkungsregelung bei linearer Verstärkung

In [19] wurde eine Verstärkungsregelung für einen linearen Verstärker implementiert. Dazu wurden für die obere und untere Halbwelle jeweils zwei Schwellwerte festgelegt, innerhalb denen sich die Maxima bzw. Minima des Signals bewegen müssen. Zusätzlich wird das Signal durch einen freilaufenden ADC ständig abgetastet und am Ende einer Periode überprüft, wie oft die einzelnen Schwellen innerhalb einer Periode überschritten wurden. Wurde keine der Schwellen überschritten, so ist das Signal nicht ausreichend verstärkt. Bei Überschreitung der unteren Schwelle und keiner Überschreitung der oberen Schwelle ist das Signal optimal ausgesteuert. Wird allerdings zusätzlich zu der unteren auch die obere Schwelle überschritten, so ist das Signal übersteuert und die Verstärkung muss verringert werden. Bei dieser Art der Regelung muss die Abtastfrequenz allerdings deutlich höher gewählt werden als es nach dem Abtasttheorem $f_{sample} > 2 \cdot f_{sig,max}$ nötig wäre. Würden nur zwei Abtastwerte pro Periode aufgenommen, so ist nicht sichergestellt, dass das Minimum bzw. Maximum detektiert und beispielsweise ein Übersteuern festgestellt wird.

2.4.2 Verstärkerauswahl durch schnelle Abtastung

Stehen durch eine Verstärkerbank mehrere linear verstärkte Signale zur Verfügung, kann anhand der Aussteuerung der einzelnen Signale die optimale Verstärkung ausgewählt werden. Dazu werden alle Signale abgetastet und digital ausgewertet. Ist das Signal zu groß, so

führt dies zu einem Übersteuern des ADCs bzw. zu einem Überschreiten eines definierten Schwellwertes und das Signal ist für die weitere Signalanalyse ungeeignet. Das Signal mit der größten Aussteuerung, welches nicht zum Übersteuern des ADCs geführt hat, stellt das optimale Signal zur weiteren Verarbeitung dar.

Wie in [19] gezeigt, ist bei einer maximalen Signalfrequenz von 2,5 kHz eine minimale Abtastfrequenz von 17,4 kHz notwendig, wenn Überschreitungen von 90 % der maximal zulässigen Spannung detektiert werden sollen. Steht zur Digitalisierung nur ein ADC zur Verfügung, wie es im MSP430F1611, welcher als Regelcontroller dient, der Fall ist, so muss die Abtastfrequenz für jeden zusätzlichen Kanal, der abgetastet werden soll, um 17,4 kHz erhöht werden. Sollen also beispielsweise acht Signale detektiert werden, so ist eine Abtastfrequenz von $f_{sample} = 139,2$ kHz notwendig. Die maximale Abtastfrequenz bei Verwendung des internen Oszillators des MSPs wurde in [19] zu $f_{sample,max} = 77,1$ kHz bestimmt und ist somit nicht schnell genug, um acht Kanäle mit der notwendigen Abtastfrequenz abzutasten.

2.4.3 Verstärkerauswahl durch Delogarithmierung

Ein anderer Ansatz die optimale Verstärkung auszuwählen ist, aus dem logarithmierten Signal die Amplitude des Eingangssignals zu ermitteln. Ist weiterhin bekannt, bei welcher Eingangsspannung die einzelnen Verstärkerstufen in die Begrenzung gehen und somit das Signal verzerren, kann aus diesen beiden Parametern die maximal zulässige Verstärkung des Eingangssignals bestimmt werden, ohne dass dieses durch die Verstärker verzerrt wird.

3 Schaltungsentwurf und Simulation

Im Folgenden wird auf die Umsetzung der geforderten Verstärkerschaltung eingegangen. Dabei werden insbesondere Reihen- und Parallelschaltung von Verstärkern zur Realisierung der linearen Approximation näher betrachtet und gegenübergestellt.

3.1 Logarithmischer Verstärker

Um die in Kapitel [2.1.2](#) beschriebene stückweise lineare Approximation zu realisieren, gibt es zwei Möglichkeiten. Zum einen kann die Verstärkerkette aus hintereinander geschalteten Verstärkern mit der gleichen Verstärkung realisiert werden. Zum anderen können mehrere Verstärkerstufen parallel geschaltet werden und die Verstärkung jeweils um den Faktor V vergrößert werden.

3.1.1 Begrenzungsverzerrung von Operationsverstärkern

Um die Verstärkerstufen zu realisieren bieten sich Operationsverstärker an. Diese zählen zu den Standardbauelementen und sind in vielen Ausführungen und Variationen auf dem Markt erhältlich. Zudem können sie durch äußere Beschaltung in ihren Funktionen beeinflusst werden, weshalb sie sich gut für einen experimentellen Aufbau eignen.

Wichtig für die Approximation der logarithmischen Kennlinie sind die Eigenschaften der Verstärker, wenn diese in die Sättigung gehen, da diese Eigenschaft der Approximation zu Grunde liegt.

Um eine Aussage über die Begrenzungsverzerrung von Operationsverstärkern zu machen, wurden mehrere Typen untersucht, die den Anforderungen entsprechen. Dabei ist entscheidend, dass die OPs mit einer unipolaren Spannungsversorgung arbeiten, da in Kraftfahrzeugen nur eine positive Versorgungsspannung zur Verfügung steht. Des Weiteren müssen die Verstärker ein ausreichendes Verstärkungs-Bandbreite-Produkt aufweisen, damit höherfrequente Signalanteile nicht durch den Verstärker gedämpft werden. Dies würde zu einer Verfälschung des THD bei der späteren Signalanalyse führen. Eine weitere wichtige Eigenschaft ist ein geringer Gleichspannungs-Offset der Verstärker. Da das gesamte System empfindlich

Bezeichnung	Offset	GBW	Slew Rate
AD4051	$15\mu V$	$125kHz$	$0.06V/\mu s$
AD4528	$2,5\mu V$	$4MHz$	$0.45V/\mu s$

Tabelle 3.1: Liste der untersuchten Verstärker

auf Offsets reagiert, sind zusätzliche Gleichspannungsanteile zu vermeiden. Eine Liste der untersuchten Verstärker ist in Tabelle 3.1 aufgelistet.

Für die Untersuchung der Begrenzungsverzerrung wurden die Operationsverstärker in nicht-invertierender Schaltung betrieben. Dabei wurde eine Verstärkung von Zwei und als Betriebsspannung $3V$ gewählt. Zudem wurde eine virtuelle Masse bei der halben Betriebsspannung festgelegt. Als Eingangssignal diente ein Sinussignal mit $\hat{u} = 0.9V$ Amplitude bei einer Signalfrequenz von $f = 1kHz$.

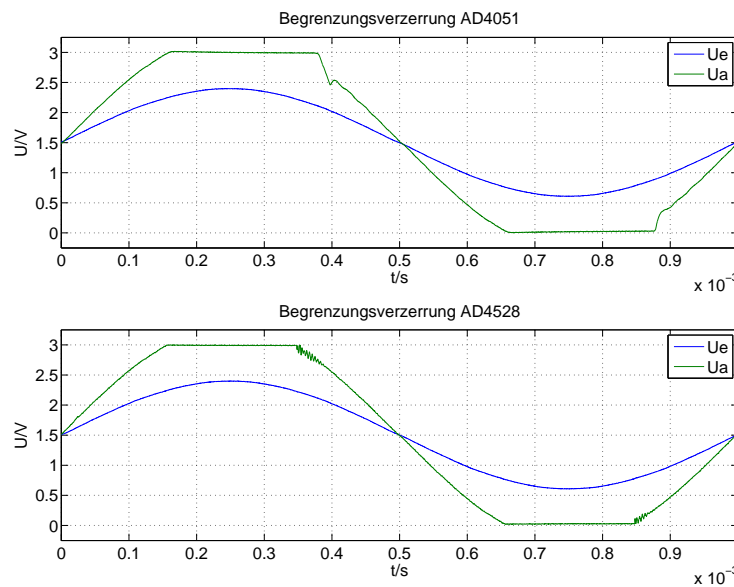


Abbildung 3.1: OP Begrenzungsverzerrung

Wie in Abbildung 3.1 zu sehen, verzerren die Operationsverstärker das Signal deutlich, wenn es aus der Sättigung zurückkommt. Mit steigender Bandbreite der OPs wird dieses Phänomen zwar kleiner, ist für die Approximation allerdings nicht zu vernachlässigen. Zudem neigen Verstärker mit großer Bandbreite eher zum Schwingen.

3.1.2 Reihenschaltung von Verstärkern

Eine Möglichkeit die Verstärkerkette für die stückweise lineare Approximation zu realisieren, ist die Reihenschaltung von Verstärkern. Dabei werden die einzelnen Verstärker so zusammenschaltet, dass der Ausgang des Vorherigen, den Eingang des darauf Folgenden speist. Die Ausgänge der einzelnen Stufen, sowie das Eingangssignal selbst, werden durch Addition zu dem Ausgangssignal zusammengefasst. Der Aufbau ist schematisch in Abbildung 3.2 dargestellt.

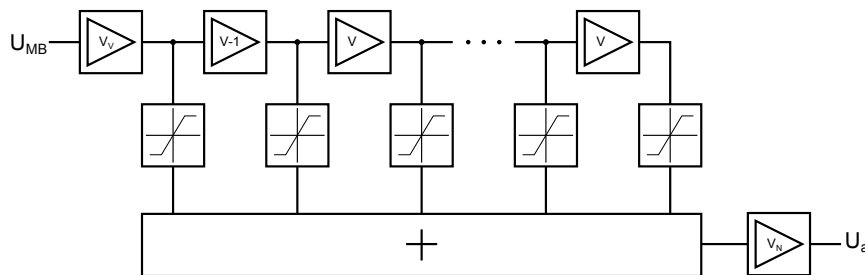


Abbildung 3.2: Approximation durch Reihenschaltung

Damit alle Signale, die aufsummiert werden, die gleiche Phasenlage haben, müssen die Verstärkerstufen nicht invertierend sein. Das beschriebene Problem der Begrenzungsverzerrung kann, bei nicht invertierenden Verstärkern, durch das Begrenzen des Eingangssignals mittels Dioden, umgangen werden. Somit findet das Abknicken der Kennlinie nicht durch den eigentlichen Verstärker sondern bereits davor statt. In Abbildung 3.3 ist die verwendete Schaltung dargestellt. Hierbei ist die Verstärkung allerdings so zu wählen, dass das maximale Eingangssignal des Verstärkers nicht zu dessen Übersteuerung führt. Hat der Verstärker beispielweise eine maximale Betriebsspannung von 3 V, eine Verstärkung von 2 und eine virtuelle Masse bei 1,5 V, so darf das maximale Eingangssignal $\pm 0,75$ V zur virtuellen Masse nicht überschreiten. Wird das Eingangssignal durch eine Diode mit $U_f = 0,7$ V begrenzt, wird diese Bedingung erfüllt.

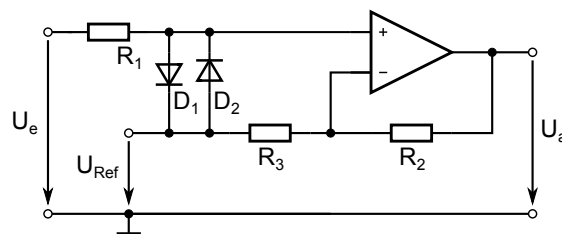


Abbildung 3.3: Nichtinvertierender Verstärker mit Begrenzung der OP Eingangsspannung

Diese Anordnung hat den Vorteil, dass alle Verstärkerstufen exakt gleich aufgebaut werden können. In Hinblick auf eine Chipintegration muss somit nur eine Verstärkerstufe entworfen werden, welche dann mehrfach auf dem Chip integriert werden kann. Ein Nachteil dieser Anordnung ist, dass das Signal durch jede Stufe ggf. zeitlich verzögert wird. Dies kann, wie in Kapitel 3.1.6 beschrieben, zu einer Verzerrung des Signals führen.

3.1.3 Parallelschaltung von Verstärkern

Die Reihenschaltung der Verstärkerkette kann in eine Parallelschaltung überführt werden. Dabei werden, wie in Abbildung 3.4 illustriert, mehrere Stufen mit unterschiedlicher Verstärkung verwendet. Die Verstärkung der einzelnen Stufen, mit Ausnahme der ersten Stufe, ist dabei um den Faktor V gestaffelt. Die einzelnen Stufen werden alle mit demselben Eingangssignal gespeist und die Summe der Ausgangssignale zusammen mit dem Eingangssignal bilden den Logarithmus des Eingangssignals.

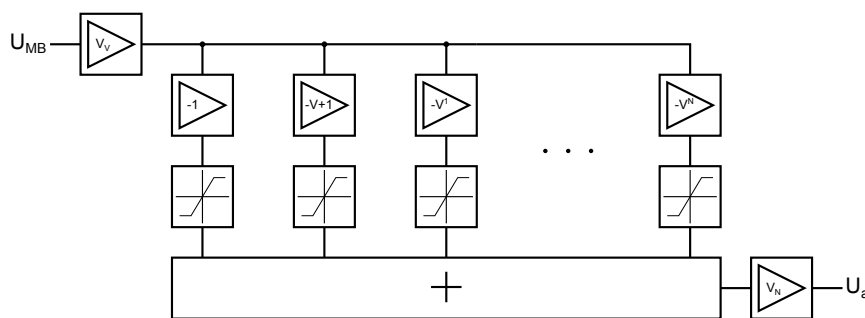


Abbildung 3.4: Approximation durch Parallelschaltung

Vorteil dieser Variante ist, dass das Signal nicht durch eine vorherige Stufe zeitlich verzögert wird, sondern dass alle Stufen mit demselben Signal gespeist werden. Ein Nachteil dieser Anordnung ist allerdings, dass alle Stufen eine unterschiedliche Verstärkung aufweisen und somit mehrere Verstärker realisiert werden müssen, da nicht auf einen Einzelnen zurück gegriffen werden kann.

Zudem wächst die Verstärkung der einzelnen Stufen sehr schnell an. Wird beispielsweise ein Logarithmierer zur Basis zwei mit acht Stufen entworfen, so ist die Verstärkung der letzten Stufe gegenüber der ersten bereits um den Faktor 128 größer.

Da in diesem Fall alle Verstärker eine unterschiedliche Verstärkung haben, kann die Begrenzungsverzerrung der Operationsverstärker nicht dadurch umgangen werden, dass das Eingangssignal mittels Dioden beschränkt wird. Hat der Verstärker eine Verstärkung von beispielsweise 128 und arbeitet mit einer Betriebsspannung von 3 V, so darf das Eingangssignal maximal $\pm 11,7 \text{ mV}$ relativ zur virtuellen Masse nicht überschreiten. Dioden haben

allerdings eine Flussspannung von einigen Hundert Millivolt und sind somit ungeeignet für diesen Anwendungsfall.

Eine weitere Möglichkeit sicherzustellen, dass der Verstärker nicht in die Sättigung geht, ist, dessen Verstärkung bei großen Eingangssignalen zu reduzieren. Dazu kommt ein invertierender Verstärker zu Einsatz, zu dessen Rückkopplungswiderstand eine Diode parallel geschaltet wird. Steigt die Spannung am Ausgang des Verstärkers nun soweit an, dass die Diode zu leiten beginnt, wird der Rückkopplungswiderstand kleiner. Dadurch sinkt die Verstärkung und der Verstärker geht nicht in die Sättigung. Der Aufbau ist in Abbildung 3.5 dargestellt.

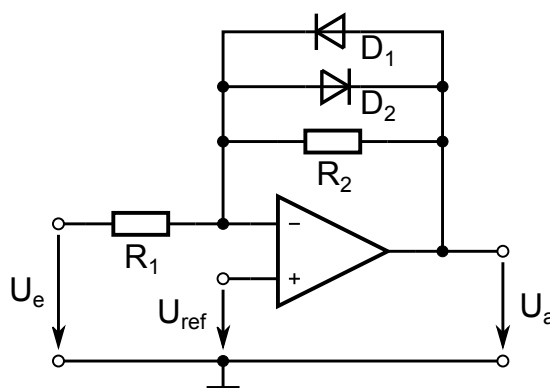


Abbildung 3.5: Invertierender Verstärker mit sanfter Begrenzung

Hierbei ist allerdings zu beachten, dass durch die Verwendung eines invertierenden Verstärkers die verstärkten Signale eine andere Phasenlage haben als das Eingangssignal. Sollen anschließend alle Signale aufsummiert werden, so muss das Eingangssignal ebenfalls invertiert werden, bevor es der Summe zugeführt wird. Alternativ kann bei einem Logarithmus zur Basis 2 das Ausgangssignal der ersten Stufe doppelt aufaddiert werden, da dies eine Verstärkung von eins aufweist und somit dem Eingangssignal entspricht.

3.1.4 Analoger Addierer

Um den Logarithmus des Eingangssignals zu bilden, müssen die unterschiedlich verstärkten Signale aufsummiert werden. Dabei kann nach [20] ein Addierer zum Einsatz kommen. Die Eingangssignale werden dabei über Widerstände an den negativen Eingang eines Operationsverstärkers gelegt. Der Ausgang ist ebenfalls durch einen Widerstand an den Knoten zurückgekoppelt, so dass sich die Ausgangsspannung nach 3.1 berechnen lässt.

$$U_a = -\frac{R_N}{R_1}U_1 - \frac{R_N}{R_2}U_2 - \dots - \frac{R_N}{R_n}U_n \quad (3.1)$$

Da die Verstärker eine von 0 V verschobene Mittellage haben, muss dies bei dem Addierer ebenfalls beachtet werden. Dazu kann der positive Eingang des Operationsverstärkers auf die virtuelle Masse der Verstärker gelegt werden. Somit befindet sich die Ruhelage des Addierers, wie gewünscht, ebenfalls auf der virtuellen Masse. Die Gl. 3.1 kann weiterhin verwendet werden, wenn die Signale relativ zu der virtuellen Masse betrachtet werden. Außerdem ist zu beachten, dass die Summe schaltungsbedingt mit minus eins multipliziert wird. Dies stellt allerdings kein Problem dar, da es sich bei dem Eingangssignal um ein Wechsellspannungssignal handelt. Ein weiterer Vorteil dieser Schaltung ist, dass durch das Widerstandsverhältnis R_N zu R_n bestimmt werden kann, mit welchem Faktor die Eingangsspannungen in die Addition eingehen. Hierdurch kann das Ausgangssignal für die darauffolgende Schaltung angepasst werden.

3.1.5 Simulation der logarithmischen Verstärker

Es wurden zwei unterschiedliche Möglichkeiten zur Realisierung des logarithmischen Verstärkers erläutert. Mittels PSpice sollen beide Varianten näher untersucht und in ihrer Funktionsweise miteinander verglichen werden.

Für die Simulation wurde das PSpice-Model des Operationsverstärkers AD8608 von Analog Devices verwendet. Dieser hat, wie in [5] angegeben, einen geringen Offset von maximal $65 \mu\text{V}$ und eine unipolare Spannungsversorgung von $2,7 \text{ V} \dots 5,5 \text{ V}$. Außerdem hat er ein Verstärker-Bandbreite-Produkt von 10 MHz, wodurch auch bei einer Verstärkung von maximal 128 noch eine ausreichende Bandbreite von 78,125 kHz zur Verfügung steht. Eine weitere Besonderheit dieses Operationsverstärkers ist, dass er in einem 14-Pin-TSSOP Gehäuse zur Verfügung steht, welches vier Verstärker beinhaltet. Dies vereinfacht eine spätere Hardware Realisation.

Das System nach [10] besteht aus einem Vorverstärker, gefolgt von einem DVGA mit Verstärkungen von $V \in \{1, 2, 4, 8, 16, 32, 64, 128\}$. Durch den gewählten Logarithmus zur Basis zwei in Kombination mit den acht Stufen, decken beide Systeme eine Verstärkung von 25 bis 3200 ab. Somit stehen dieselben linear verstärkten Signale für die weitere Signalverarbeitung zur Verfügung und können entsprechend miteinander verglichen werden.

Anhand der Simulation wurde die Ausgangsspannung U_e als Funktion der Eingangsspannung U_{MB} , als auch das Frequenzverhalten, der beiden Schaltungen untersucht. Bei der Simulation des Frequenzverhalten wird der negative Eingang des Differenzverstärkers auf ein festes Potenzial von 1,5 V gelegt. Der positive Eingang wird mit einer Wechsellspannung plus einem Offset von 1,5 V gespeist. Die Amplitude der Wechsellspannung beträgt $100 \mu\text{V}$, damit auch bei einer maximalen Verstärkung von 3200 alle Verstärker im linearen Bereich arbeiten und das Signal durch keine der Verstärkerstufen begrenzt und somit verzerrt wird.

Wie in den Simulationsergebnissen, in Anhang A.3, zu sehen ist, nehmen die Amplitudengänge bei beiden Designs wie erwartet mit steigender Frequenz ab. Dieses Verhalten wird in beiden Fällen maßgeblich vom vorgeschalteten Tiefpassfilter bestimmt. Bei der Parallelschaltung ist außerdem zu sehen, dass mit steigender Verstärkung der Amplitudengang eher anfängt abzunehmen. Dies lässt sich dadurch begründen, dass die Bandbreite der Verstärker mit zunehmender Verstärkung abnimmt.

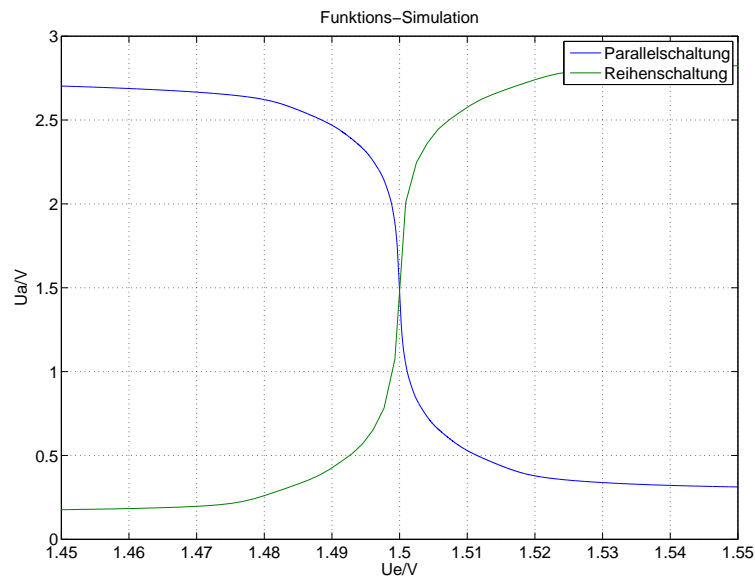


Abbildung 3.6: Funktion der Logarithmierer; Parallelschaltung ist bedingt durch den Aufbau invertiert

Der Phasengang, dargestellt in Anhang A.3 und Abbildung 3.7, verhält sich äquivalent zum Amplitudengang. Mit steigender Frequenz wird die Phasenverschiebung zwischen Eingangssignal und Ausgangssignal größer. Da bei der Parallelschaltung invertierende Verstärker eingesetzt werden, ist das Signal ebenfalls entsprechend invertiert. Dies macht sich im Phasengang dadurch bemerkbar, dass die Phase bei niedrigen Frequenzen 180° beträgt, anstatt wie erwartet 0° . Die Phasenverschiebung der Parallelschaltung nimmt mit steigender Verstärkung früher zu. Dies ist bedingt durch die geringere Bandbreite der Verstärker bei hoher Verstärkung. Wie ursprünglich erwartet, tritt bei der Reihenschaltung keine signifikante Phasenverschiebung durch das hintereinanderschalten der einzelnen Stufen auf. Hierbei ist allerdings auch zu beachten, dass in der Simulation keine realen Dioden verwendet wurden. In der Realität wirkt sich die Kapazität der Diode, welche in Kombination mit dem Vorwiderstand, Tiefpassverhalten aufweist ggf. stärker auf die Phase aus.

In Abbildung 3.6 ist die Ausgangsspannung der simulierten Schaltungen als Funktion der Eingangsspannung dargestellt. Dabei wurde das Eingangssignal zwischen 1,45 V und

1,55 V variiert, was einem Spitze-Spitze-Wert von 100 mV entspricht. Auffällig beim Vergleich der beiden Funktionen ist, dass sie invertiert zueinander sind, was durch die invertierenden Verstärker der Parallelschaltung zu erklären ist. Bei der Reihenschaltung wird das Signal nicht zusätzlich invertiert, da nicht-invertierende Verstärker zum Einsatz kommen.

Zudem fällt auf, dass das Ausgangssignal der Reihenschaltung einen größeren Spannungsbereich abdeckt als das der Parallelschaltung. Da bei beiden Schaltungen die Begrenzung unterschiedlich realisiert wurde und somit auch nicht exakt gleich arbeitet, kommt es zu unterschiedlichen Spannungen U_{Limit} bei denen die Verstärker in die Begrenzung gehen. In der Summe machen sich diese als Streckung bzw. Stauchung der Funktion bemerkbar. Durch einen nachgeschalteten Verstärker können die beiden Funktionen allerdings aneinander angepasst werden.

3.1.6 Phasengangkorrektur

Die Simulation zeigt, wie in Abbildung 3.7 dargestellt, dass die verstärkten Signale im Falle der Parallelschaltung unterschiedlich stark in ihrer Phase beeinflusst werden.

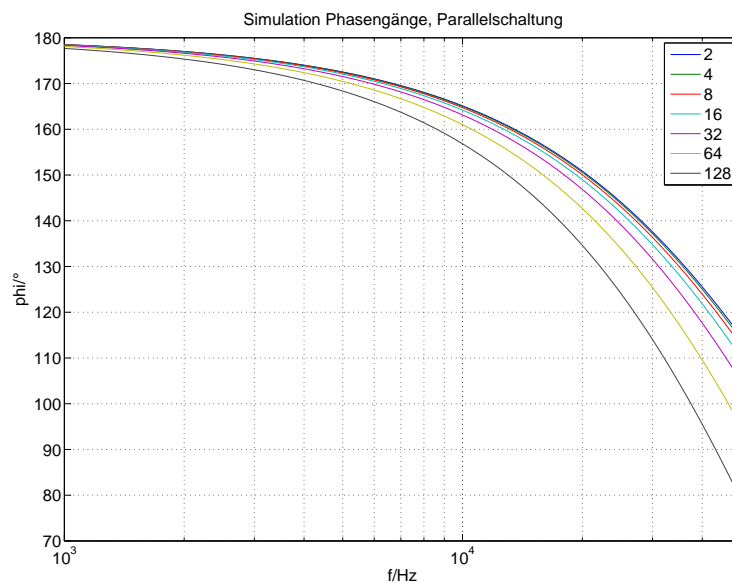


Abbildung 3.7: Simulierter Phasengang bei parallel aufgebauten Verstärkerstufen

Werden mehrere phasenverschobene sinusförmige Schwingungen gleicher Frequenz addiert, ist das Ergebnis nach [7] ebenfalls eine sinusförmige Schwingung. Gl. 3.2 verdeutlicht

diesen Zusammenhang.

$$A_1 \sin(\omega t + \varphi_1) + A_2 \sin(\omega t + \varphi_2) = A \sin(\omega t + \varphi) \quad (3.2)$$

Dieser Zusammenhang kann allerdings nicht angenommen werden, wenn die Schwingungen begrenzt werden, wie es bei der linearen Approximation der Fall ist, da durch die Begrenzung zusätzliche höherfrequente Schwingungen hinzukommen. In Abbildung 3.8 wurden exemplarisch fünf Signale mit gleicher Frequenz und unterschiedlicher Amplitude begrenzt und aufsummiert. Dabei haben die Signale im ersten Fall die gleiche Phasenlage, im Zweiten sind sie um einige Grad zueinander verschoben, d.h. Signale mit einer größeren Amplitude haben einen größeren Phasenwinkel. Dabei wird ersichtlich, dass sich die Formen der beiden Signale deutlich unterscheiden. So nimmt die Summe der phasenverschobenen Signale annähernd die Form einer Haifischflosse an.

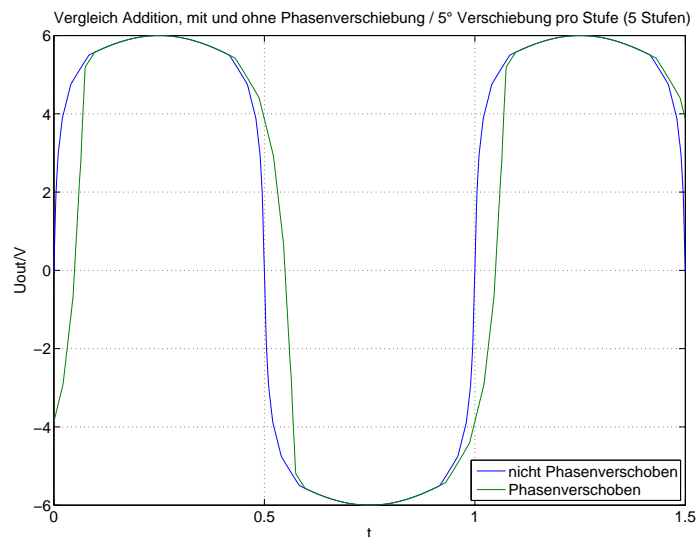


Abbildung 3.8: Vergleich Addition mit und ohne verschobener Phase

Um dieses Phänomen zu verhindern, müssen alle Signale, die aufsummiert werden, dieselbe Phasenlage haben. Zur Korrektur des Phasengangs aus Abbildung 3.7 kann parallel zu den Dioden, welche die sanfte Begrenzung ermöglichen, eine Kapazität geschaltet werden. Diese sorgt dafür, dass die Verstärkerstufen ein zusätzliches Tiefpassverhalten bekommen. Dadurch können die Verstärker so entworfen werden, dass alle den gleichen Phasengang haben. Mittels PSpice-Simulation wurden die optimalen Werte für die Kondensatoren bestimmt, welche zwischen 10 pF und 24 pF liegen. Der korrigierte Phasengang der Simulation ist in Abbildung 3.9 abgebildet. Bei der Reihenschaltung kann dies so nicht realisiert werden, da sich eine Veränderung der Phase durch die gesamte Kette fortsetzt.

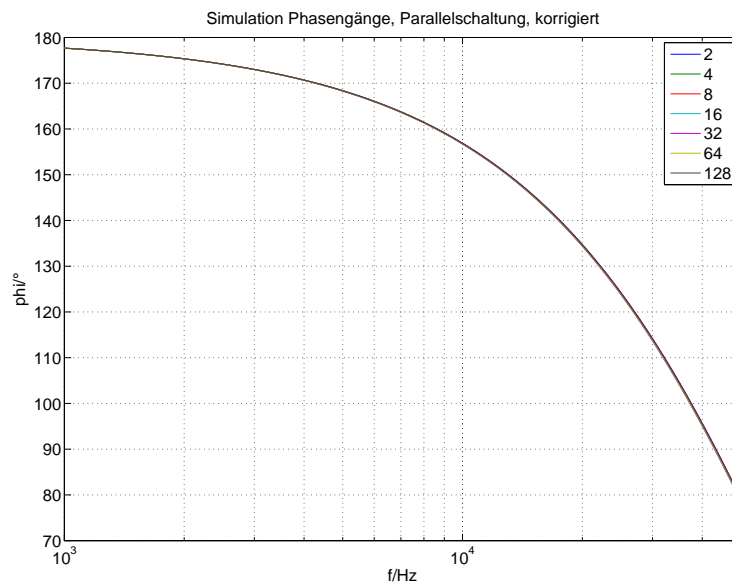


Abbildung 3.9: Simulierter korrigierter Phasengang bei parallel aufgebauten Verstärkerstufen

3.2 Zusammenfassung Reihen- und Parallelschaltung

Sowohl die Parallelschaltung als auch die Reihenschaltung eignen sich für die Approximation der logarithmischen Funktion. Dabei haben allerdings beide Varianten Vor- und Nachteile auf die im folgenden näher eingegangen wird.

3.2.1 Theoretische Gegenüberstellung

Theoretisch betrachtet hat die Parallelschaltung den Vorteil, dass die Verstärkung der einzelnen Stufen frei gewählt werden kann und somit auch ein Logarithmus zu einer beliebigen Basis gebildet werden kann. Zudem ist durch die Schaltungsanordnung der Verstärker keine sich fortsetzende Laufzeitverzögerung zu erwarten. Sie hat allerdings den Nachteil, dass die einzelnen Stufen jeweils eine unterschiedliche Verstärkung aufweisen müssen, wodurch diese entsprechend unterschiedlich ausgelegt werden müssen. Außerdem ist durch die höhere Verstärkung, welche die einzelnen Stufen erbringen müssen, die benötigte Bandbreite größer.

Die Reihenschaltung zeichnet sich hingegen dadurch aus, dass die Verstärkung der einzelnen Stufen, mit einer Ausnahme, gleich ist. Dadurch können die gleichen Verstärker verwendet werden, was den Aufbau vereinfacht. Durch diese Anordnung kann es aber zu

	Parallelschaltung	Reihenschaltung
Vorteile	<ul style="list-style-type: none"> • geringe Laufzeitverzögerung • Phasengang abgleichbar • wählbare Verstärkung • invertierende und nicht-invertierende Verstärker einsetzbar 	<ul style="list-style-type: none"> • konstante Verstärkung jeder Stufe • gleicher Aufbau • niedriges GBWP
Nachteile	<ul style="list-style-type: none"> • hohe und unterschiedliche Verstärkung • ungleicher Aufbau • OP mit großer Bandbreite benötigt 	<ul style="list-style-type: none"> • kompliziert zu beeinflussender Phasengang • feste Verstärkung • Laufzeitverzögerung

Tabelle 3.2: Gegenüberstellung Parallel- und Reihenschaltung

Laufzeitverzögerungen durch den Verstärker kommen, was zu einer Verzerrung des logarithmierten Signals führt, wie in Kapitel 3.1.6 beschrieben. Ein weiterer Nachteil der Reihenschaltung ist, dass die Verstärkung der einzelnen Stufen nicht frei gewählt werden kann, sondern abhängig von den zur Begrenzung verwendeten Dioden ist. Dadurch kann kein beliebiger Logarithmus gebildet werden. In Tabelle 3.2 sind die beschriebenen Vor- und Nachteile aufgelistet.

3.2.2 Praktische Gegenüberstellung

Versuchsaufbauten haben gezeigt, dass sich beide Varianten unterschiedlich gut für den praktischen Einsatz eignen. Wird das System beispielsweise mit einem Eingangssignal mit einer Frequenz von $f = 0,5 \text{ kHz}$ und einer Amplitude von $U_{MB} = 5 \text{ mV}$ gespeist, neigt die Reihenschaltung der Verstärker, wie in Abbildung 3.10 dargestellt, zu starkem Rauschen in den Amplituden des Signals. Das Signal wurde dabei nach der ersten Verstärkerstufe gemessen und hat somit eine Verstärkung von $V = 50$ erfahren. Da das Signal durch die Reihenschaltung weiter verstärkt wird, wird auch das Rauschen entsprechend weiter verstärkt. Dadurch eignet es sich nicht für die weitere Verarbeitung. Da die Ursache für dieses Verhalten nicht ermittelt werden konnte und die Parallelschaltung kein solches Verhalten aufweist, wird im Weiteren nur noch die Parallelschaltung betrachtet.

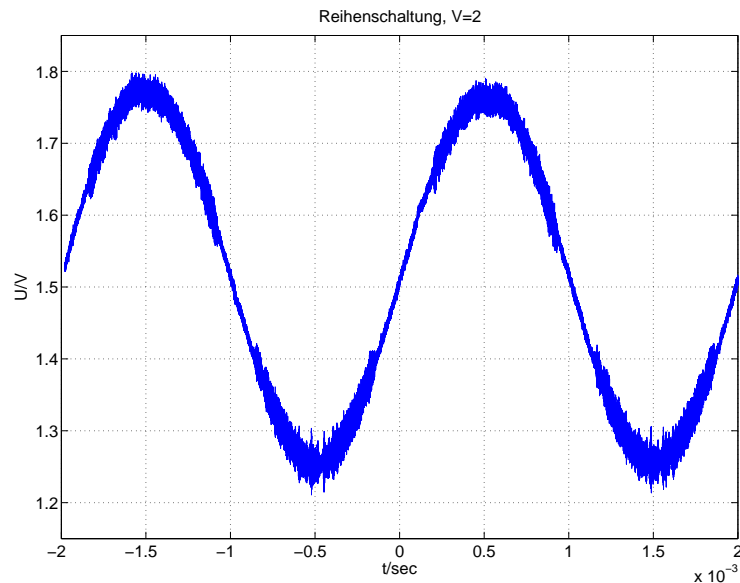


Abbildung 3.10: Reihenschaltung nach erster Verstärkerstufe, $V = 50$

3.3 Lineare Verstärkung

Der Logarithmierer besteht aus mehreren linearen Verstärkerstufen. Werden die Signale der einzelnen Stufen zusätzlich abgegriffen, so stehen neben dem logarithmierten Signal auch linear verstärkte Signale, wie in Abbildung 3.11 bzw. 3.12 dargestellt, zur Verfügung. Diese Signale sind allerdings nur solange linear, bis die einzelnen Stufen in die Begrenzung gehen. Da der nachfolgende Signal- bzw. Regelcontroller nur eine begrenzte Anzahl an analogen Eingänge besitzt, werden die linearen Signale über einen Analogmultiplexer bereitgestellt. So können durch Umschalten des Multiplexers die einzelnen Signale für die Weiterverarbeitung schnell ausgewählt werden.

Als Multiplexer wurde der ADG708 [3] von Analog Devices ausgewählt. Dieser bietet die Möglichkeit, aus acht Kanälen einen auszuwählen. Die Auswahl des Kanals erfolgt über ein 3-Bit breites paralleles Interface, wodurch die Umschaltung durch den Regelcontroller sehr schnell erfolgen kann. Typischerweise benötigt die Umschaltung zwischen zwei Kanälen 18 ns [3], womit diese deutlich schneller ist als das Sensorsignal, welches im ms-Bereich liegt. Zudem kann er mit einer unipolaren Versorgungsspannung zwischen 1,8 V und 5,5 V versorgt werden.

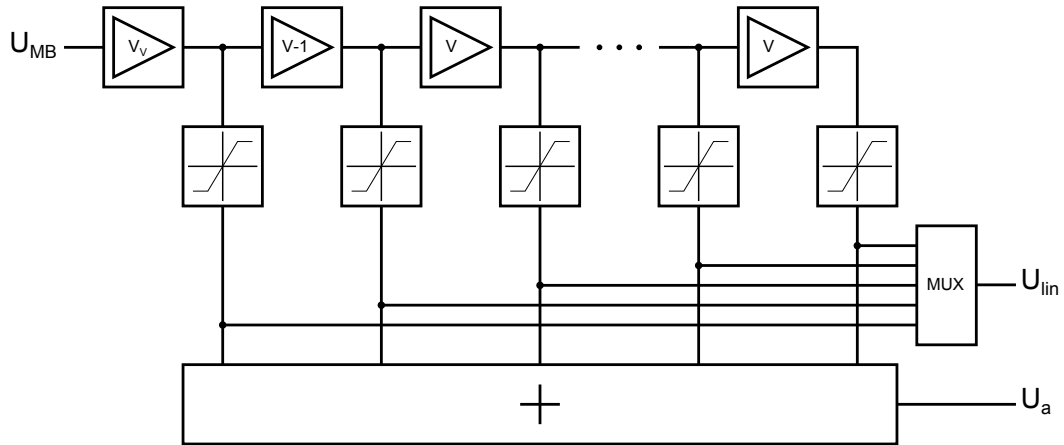


Abbildung 3.11: Signalpfad der linearen Signale bei der Reihenschaltung

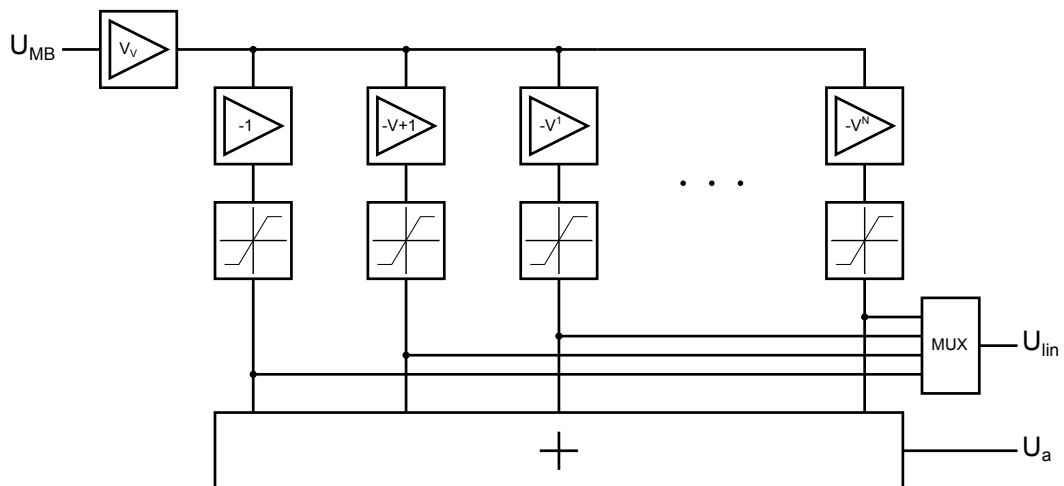


Abbildung 3.12: Signalpfad der linearen Signale bei der Parallelschaltung

3.4 Energieversorgung der Messbrücke

Bisher wird die Messbrücke extern mit Spannung versorgt. Eine Versorgung über den Demonstrator ist somit nicht vorgesehen. Um dem Messaufbau zu vereinfachen und das System zu vereinheitlichen, soll die Brücke über den Demonstrator mitversorgt werden.

Dazu soll zum einen die Möglichkeit geschaffen werden die Brücke, wie bisher, mit einer konstanten Spannung zu versorgen. Hierzu kann die positive 3 V Spannungsversorgung des Regelcontrollers genutzt werden. Um nicht nur eine feste Spannung einstellen zu können, kann das Spannungslevel zudem durch einen Digital-Analog-Umsetzer des Regelcontrollers gestellt werden. Das Signal des DAC wird dabei durch einen nicht-invertierenden Verstärker aufbereitet, um zum einen den nötigen Strom liefern zu können und zum anderen um die maximalen 2,5 V des DACs, bedingt durch die Referenzspannung, auf mindestens 3 V anzuheben.

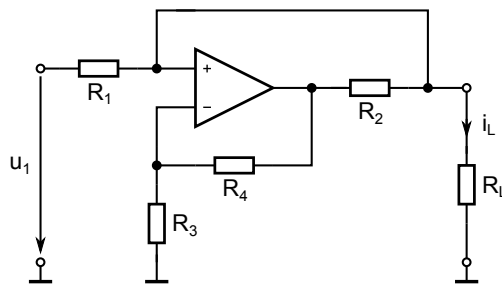


Abbildung 3.13: Spannung-Strom-Wandler, Quelle: [13]

Wie in [17] beschrieben kann die Messbrücke auch durch eine Stromquelle versorgt werden. Die Versorgung mittels Stromquelle hat den Vorteil, dass die Temperaturabhängigkeit der Brückenempfindlichkeit um den Faktor zwei gegenüber der Spannungsversorgung abnimmt. Hierbei ist allerdings auch zu beachten, dass die Versorgungsspannung entsprechend größer gewählt werden muss, da über die Stromquelle selbst eine Spannung abfällt.

Als Stromquelle kann dem nicht-invertierenden Verstärker der Spannungsversorgung ein Spannungs-Strom-Wandler nachgeschaltet werden. Dadurch ist zusätzlich die Möglichkeit gegeben, den Strom durch den Regelcontroller zu steuern. Als Spannungs-Strom-Wandler kommt eine Schaltung nach [13] zum Einsatz. Unter der Voraussetzung, dass das Widerstandsverhältnis R_2 zu R_1 gleich dem Verhältnis von R_4 zu R_3 gewählt wird, kann der Ausgangsstrom wie folgt berechnet werden.

$$i_L = \frac{u_1}{R_1} \quad (3.3)$$

Die in Abbildung 3.13 dargestellte Schaltung hat zudem den Vorteil, dass sie massebezogen ist. Dadurch wird der Wechsel zwischen den verschiedenen Versorgungsmöglichkeiten vereinfacht, da nur Änderungen im positiven Versorgungspfad durchgeführt werden müssen. Außerdem sind die Halbbrückensignale der Messbrücke somit immer massebezogen.

3.5 Vorverstärker

Bevor die Sensorsignale weiter verarbeitet werden können, müssen sie vorverstärkt werden. Dazu wird, wie bereits in [10], der Instrumentenverstärker AD8226 [4] verwendet. Instrumentenverstärker eignen sich besonders um die Differenz zweier Signale, wie im vorliegenden Fall die Halbbrückensignale des AMR-Sensors, zu verstärken. Des Weiteren haben sie geringe Eingangs-Offsets und eine gute Gleichtaktunterdrückung, weshalb sie sich für den gegebenen Anwendungsfall gut eignen.

Der Eingangstiefpassfilter, welcher in [10] vorgesehen wurde, wird ebenfalls übernommen. Dieser unterdrückt hochfrequente Störanteile, die auf den Signalleitungen zwischen Sensor und Verstärkerplatine eingestreut werden können. Die Grenzfrequenz des Filters wurde zu $f_g = 56,6$ kHz gewählt, sodass die ersten fünf Harmonischen nicht beeinträchtigt werden.

3.6 Verstärkung der Halbbrückensignale

Eine Signalaufbereitung in Form von Offsetkompensation und Verstärkungsreglung fand, wie in [10] und [19] beschrieben, bisher nur für die Brückendifferenzspannung U_{diff} statt. Da die beiden Halbbrückensignale für Funktionen wie z.B. die Drehrichtungserkennung nicht minder von Bedeutung sind, sollen diese auch entsprechend aufbereitet werden. Dazu wird die kombinierte logarithmisch und lineare Verstärkerbank so gestaltet, dass sie sowohl für die beiden Halbbrückensignale als auch für die Differenz der beiden Signale eingesetzt werden kann. Infolgedessen werden drei äquivalente Verstärker, wie in Abbildung 3.14 dargestellt, für die Verstärkung der Halbbrückensignale als auch für die Verstärkung des Differenzsignals der Messbrücke verwendet.

Für die Offsetkompensation wird das Tastverhältnis des logarithmierten Signals mit Hilfe eines Smart-Comparators, beschrieben in [19], ermittelt. Da der MSP430F1611, welcher als Regelcontroller eingesetzt wird, allerdings nur über einen Komparator verfügt, ist die Offsetkompensation aller drei Signale nicht möglich. Der Gleichanteil der beiden Halbbrückensignale kann somit nicht geregelt werden und muss manuell abgeglichen werden. Für die Verstärkung der Halbbrückensignale kann dieselbe Verstärkung wie für das Differenzsignal ausgewählt werden, da diese eine geringere maximale Aussteuerung als die Differenzspannung U_{diff} aufweisen.

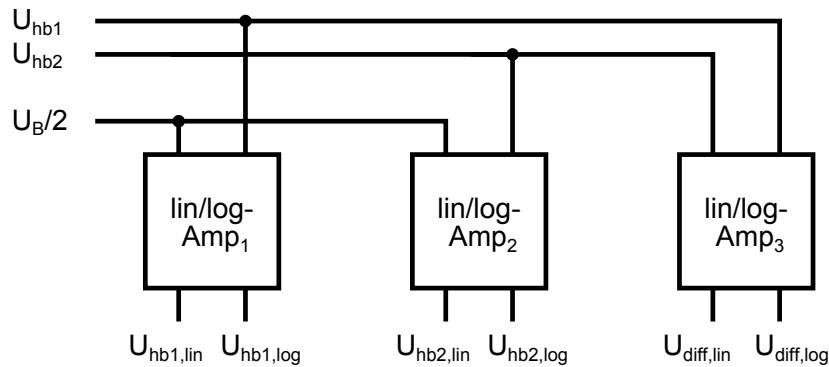


Abbildung 3.14: Parallel angeordnete Verstärker für Halbbrückensignale und Differenzsignal

3.7 Offset-Stellglied

Wie in Kapitel 2.3 bereits erläutert, ist eine Offsetregelung des Systems unerlässlich. Dazu muss an mindestens einer Stelle des Systems der Offset gestellt werden. Bisher wurde dazu der negative Eingang des DVGA genutzt. Da dieser Verstärker durch einen logarithmischen Verstärker ersetzt werden soll, muss die Stellgröße an einer anderen Stelle dem System zugeführt werden. Der Vorverstärker AD8226 besitzt einen extra Eingang, der die Nulllage des Ausgangssignals festlegt. Dieser eignet sich somit optimal, um den Offset zu stellen. Des Weiteren ist es möglich bei der Verstärkung der Halbbrückensignale den Offset am Eingang des Differenzverstärkers zu stellen. Dazu wird auf einen Eingang das Halbbrückensignal gegeben und auf den zweiten Eingang die Stellgröße geführt. Somit wird zudem eine grobe und feine Einstellung des Offsets ermöglicht.

Wenn die Stellgröße allerdings so früh dem System zugeführt wird, ist eine sehr feine Auflösung erforderlich. Eine an dieser Stelle auftretende Abweichung von zum bsp. 1 mV, führt bei einer Verstärkung von maximal 3200 zu einem Fehler von 3,2 V. Da der ADC des Signalcontrollers maximal 2,5 V verarbeiten kann, ist der Fehler unzulässig hoch. Aus diesem Grund wurde für die Einstellung des Offsets der 16-Bit Digital-Analog-Umsetzer AD5667 [2] ausgewählt.

$$U_{LSB} = \frac{U_{Ref}}{2^n} = \frac{3V}{2^{16}} = 45,78\mu V \quad (3.4)$$

Bei einer Referenzspannung von 3 V führt dies nach 3.4 zu einer Auflösung von ca. 0,05 mV. Ein daraus anzunehmender Stellfehler von 25 μV führt bei der maximalen Verstärkung zu einem Offsetfehler von 80 mV am Ende der Verstärkung.

4 Systemintegration

Soll der neu entworfene Verstärker mit dem bestehenden System aus Controllerplatine, Regelplatine zusammenarbeiten, müssen sowohl die Hardware als auch die Software aufeinander abgestimmt werden. An dieser Stelle wird dabei auf die zu beachtenden Punkte näher eingegangen.

4.1 Hardwareintegration

Der bisherige Verstärker besteht aus einer einzelnen Platine, welche die Verstärkerstufen für alle drei relevanten Signale: U_{diff} , U_{hb1} und U_{hb2} enthält. Dabei erfahren die beiden Halbbrückensignale allerdings nur eine fest eingestellte Verstärkung von 25 und nur die Differenzspannung wird durch den DVGA weiter verstärkt. Bei dem Neuentwurf des Verstärkers sollen auch die Halbbrückensignale weiter verstärkt werden. Um diese Möglichkeit zu schaffen, wurde die logarithmisch und lineare Verstärkerbank auf ein steckbares Modul gebaut, welche sowohl für die Verstärkung der Halbbrückensignale als auch für die der Differenzspannung eingesetzt werden kann.

Damit derselbe Verstärker für alle drei Signale eingesetzt werden kann, wurde eine Hauptplatine entwickelt, welche drei Verstärker-Module aufnehmen kann. Auf der Hauptplatine, befindet sich die Energieversorgung der Messbrücke. Zudem wird die Hauptplatine mit dem Signal- bzw. Regelcontroller verbunden und stellt die Anschlüsse für die AMR-Messbrücke zur Verfügung.

4.2 Signalführung

Damit die einzelnen Verstärker ihre Funktionen erfüllen können, müssen ihnen sowohl digitale als auch analoge Signale zur Verfügung stehen. Insgesamt werden die im folgenden aufgeführten Signale benötigt:

- 2 x analoge Eingangssignale U_{hb1} und U_{hb2}
- 2 x analoge Ausgangssignale: linear und logarithmisch verstärktes Signal

- 3 x digitale Kanäle zur Ansteuerung des Multiplexers
- 2 x digitale Kanäle (I^2C) zur Ansteuerung des DACs
- 1 x digitaler Kanal zur Ansteuerung des Wechselschalters
- Masse und positive Spannungsversorgung

Die Hauptplatine muss die Signale der einzelnen Verstärker-Module aufnehmen und diese an die Platine des Regelcontrollers weiterleiten. Außerdem muss sie die Anschlüsse für die Halbbrückensignale bereitstellen und die Messbrücke mit Energie versorgen. Für die Energieversorgung wird zusätzlich ein analoger Ausgang des Regelcontrollers benötigt und einen zusätzlicher Anschluss, für die Messbrücke. In der nachfolgenden Abbildung 4.1 ist eine Übersicht der Signalführung dargestellt.

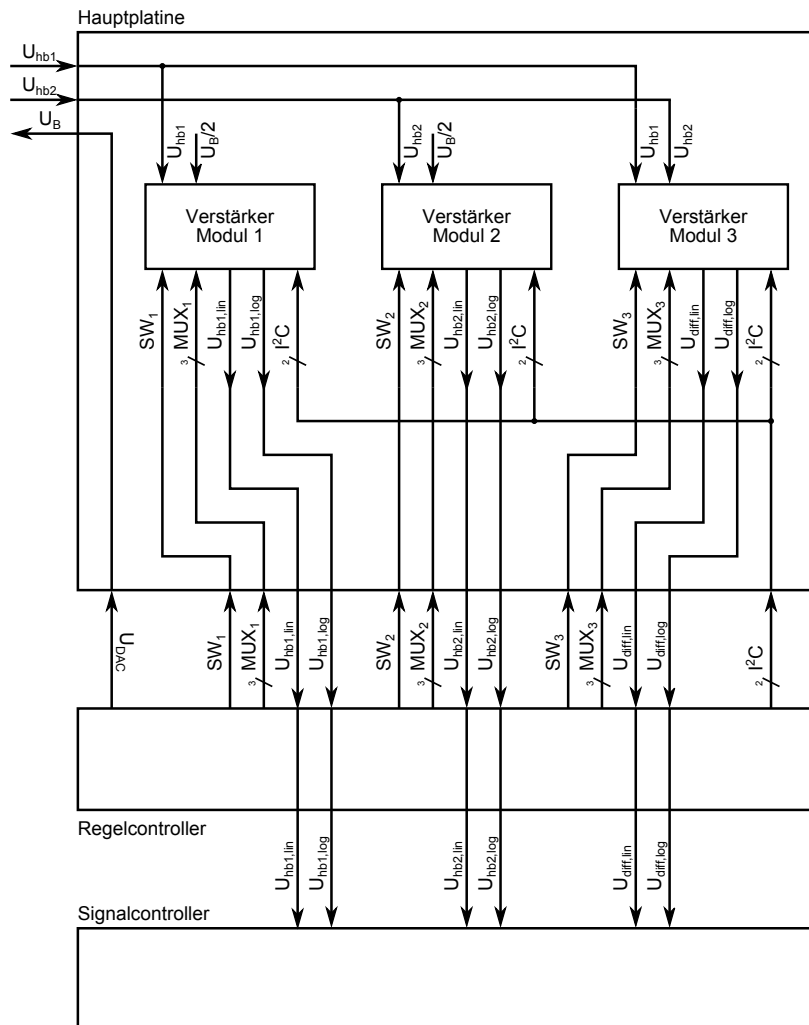


Abbildung 4.1: Signalführung auf der Hauptplatine

4.3 Softwareintegration

Für das neue Verstärkerkonzept muss die Software des bestehenden Systems und insbesondere die des Regelcontrollers an die neue Hardware angepasst werden. Im Folgenden werden die vorgenommenen Änderungen beschrieben.

4.3.1 Regelcontroller Software

Die Software für den Regelcontroller nach [19] besteht im Wesentlichen, wie in Abbildung 4.2 dargestellt, aus einem Zustandsautomaten mit den drei Zuständen *Initial_0Hz*, *Initial_1Hz* und *Active*. Im Zustand *Initial_0Hz* befindet sich das System nach dem Start und verharrt hier solange, bis eine Drehung des Rades erkannt wird. Wird eine Drehung erkannt, wird in den Zustand *Initial_1Hz* gewechselt. Hier werden abwechselnd Verstärkung und Offset des Systems geregelt, bis das Signal optimal verstärkt und gleichspannungsfrei ist. Anschließend wechselt das System in den Zustand *Active*, wo die Diagnose des Signals freigegeben und eine langsame Regelung zum Einsatz kommt, welche Offset- und Amplituden- Drifts ausgleicht.

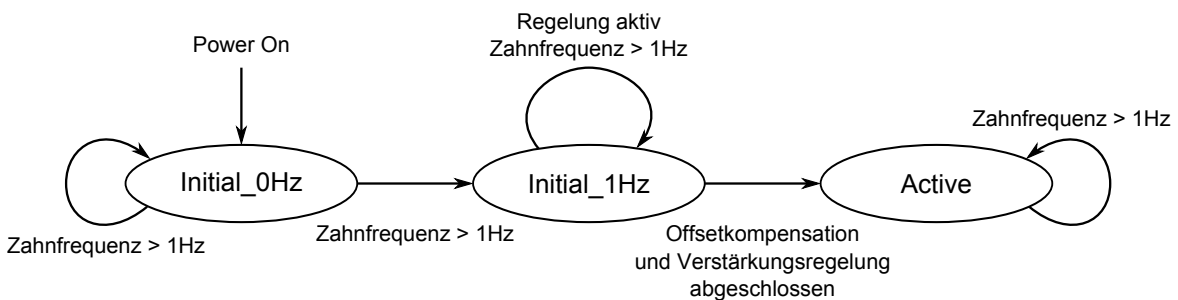


Abbildung 4.2: übergeordneter Zustandsautomat, nach [19]

Der Zustände *Initial_1Hz* ist in weitere sechs Zustände unterteilt (vgl. linker Teil Abbildung 4.3). Im Zustand *Search_S1* wird auf einen positiven Nulldurchgang des Differenzsignals U_{diff} gewartet, der Zählerstand von Timer A für die Berechnung des Duty-Cycle gespeichert und der Timer zurück gesetzt. Der Zustand *Search_S2* ist für die Behandlung eines negativen Nulldurchgangs zuständig und sichert ebenfalls den Wert von Timer A. Wurden die beiden Zustände durchlaufen, wird in den Zustand *Search_S1_Calc* gewechselt. Hier wird zudem das Tastverhältnis bestimmt und die Funktion `calc_offset()` aufgerufen, in der ein Offsetkorrekturfaktor bestimmt wird. Danach wechselt der Automat in den Zustand *Search_S2_Pre*, von wo aus er am Ende einer Periode wieder in den Zustand *Search_S1* übergeht. Wurde die Offsetkompensation abgeschlossen, geht der Automat in den Zustand *Search_S2_Check_Gain*, in dem die obere Halbwelle des Signals abgetastet

wird und anschließend in *Search_S1_Check_Gain*, in welcher die untere Halbwelle behandelt wird. Im letzteren Zustand wird die Funktion `check_gain()` aufgerufen, in der, wie in Kapitel 2.4.1 beschrieben, ggf. auftretende Überschreitungen der Schwellwerte ausgewertet werden und die Verstärkung entsprechend gestellt wird. Anschließend geht der Automat wieder in den Zustand *Search_S2_Pre*.

Ist die Offsetkompensation abgeschlossen und die Verstärkung richtig eingestellt, geht der übergeordnete Automat in den Zustand *Active* über, welcher die gleichen Subzustände enthält (vgl. Abbildung 4.3, rechter Teil). Der wesentliche Unterschied zum Zustand *Initial_1Hz* ist, dass hier das Tastverhältnis und die Verstärkung überwacht werden und nur, wenn sich einer der beiden Werte unzulässig ändert, in das System eingegriffen wird.

4.3.2 Initialisierung

Damit das bestehende System mit dem neuen Verstärkerkonzept zusammenarbeitet, müssen an der Regelcontroller-Software einige Änderungen vorgenommen werden. Dazu zählt als Erstes die Initialisierungsphase des Controllers. Da der Controller mehrere Multiplexer und Schalter ansteuern muss, müssen die verwendeten Port-Pins entsprechend konfiguriert werden.

Des Weiteren wurde der ADC neu konfiguriert. Da das logarithmierte Signal auf einem anderen Eingang an dem Controller anliegt, muss dieser entsprechend umkonfiguriert werden. Bisher wurde der ADC zudem nur bei Bedarf eingeschaltet und nach Abtasten einer Periode wieder abgeschaltet. Da für mehrere Aufgaben im System Angaben über die Amplitude des Signals unmittelbar zur Verfügung stehen müssen, wurde der ADC so konfiguriert, dass ständig eine Abtastung stattfindet. Die Abtastfrequenz wurde dabei nicht verändert.

Außerdem muss für die Ansteuerung der einzelnen Digital-Analog-Umsetzer die I^2C -Schnittstelle des Controllers initialisiert und konfiguriert werden. Ist die Schnittstelle funktionsfähig müssen über diese die externen DACs initialisiert werden.

4.3.3 Abtastung

Da die Abtastung des Regelcontrollers und die weitere Verarbeitung der Samples an den logarithmischen Verstärker angepasst wurden, muss auch die entsprechende Interrupt Service Routine (ISR) angepasst werden. Die ISR wird nach jeder vollständig abgeschlossenen Analog-Digital-Umsetzung aufgerufen.

In der ISR, welche in Anhang D.1 aufgeführt ist, werden die digitalisierten Werte als Erstes delogarithmiert. Dazu wurde das System, wie in Abschnitt 2.2.2 beschrieben, vermessen und die Umkehrfunktion in Form einer Lookup-Tabelle gespeichert. Da dabei allerdings für jeden möglichen Abtastwert (0 - 4095) ein 16-Bit Wert in der Tabelle abgelegt wird,

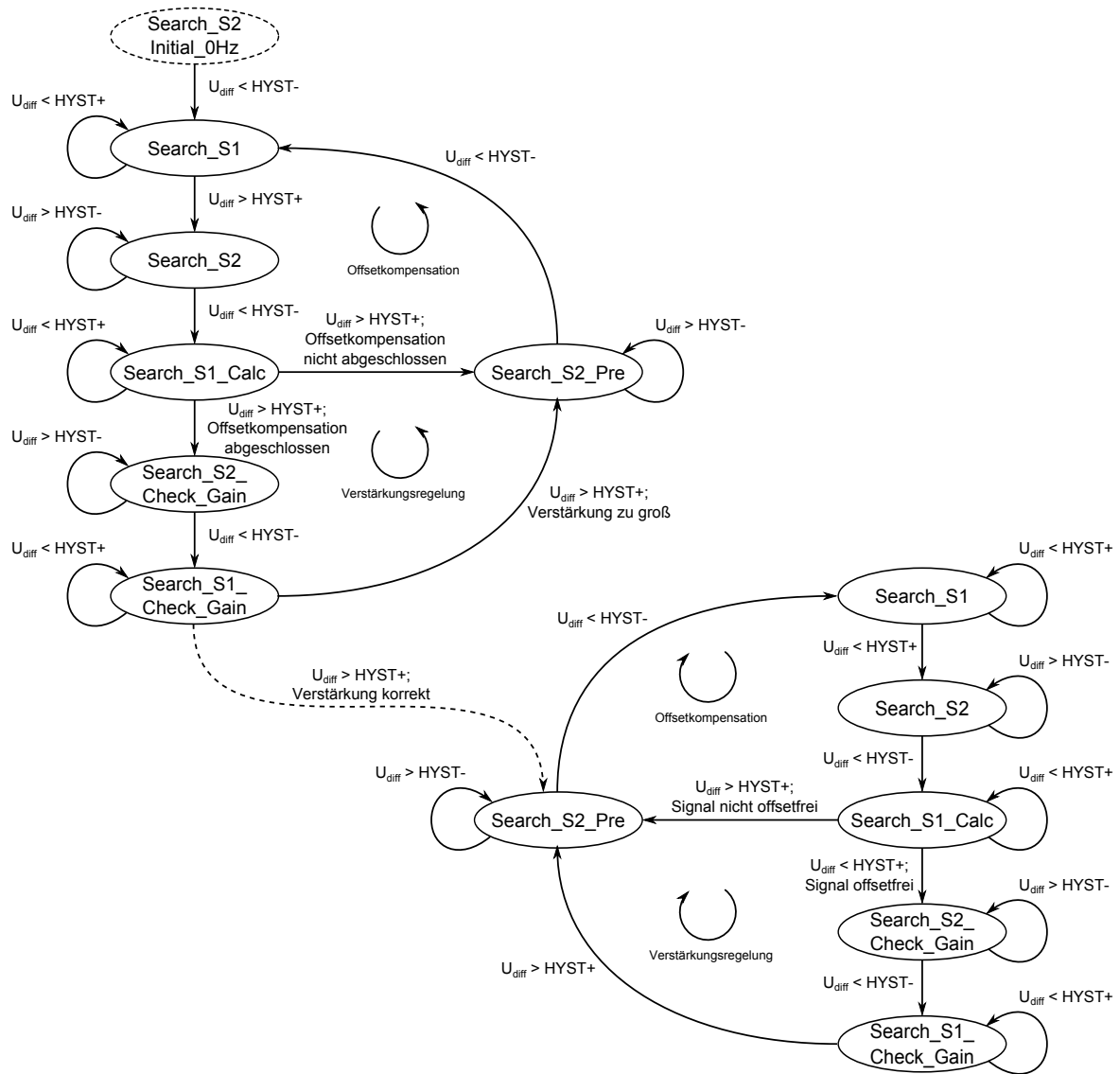


Abbildung 4.3: Zustandsautomat nach [19]

wird diese sehr groß. Im Gegenzug kann mit dem ermittelten Wert direkt auf ein Array zugegriffen werden und es ist keine weitere Berechnung notwendig.

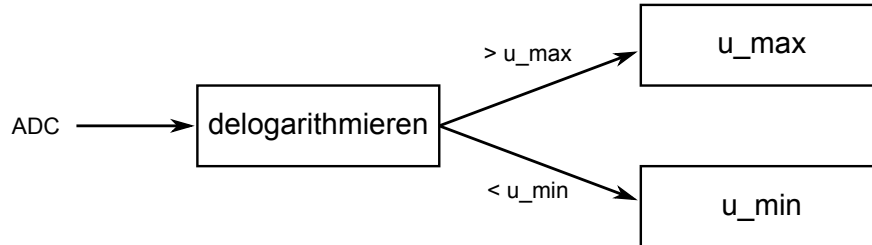


Abbildung 4.4: Ausschnitt der ADC Interrupt Service Routine

Anschließend wird der ermittelte Wert mit den Variablen `g_adc.u_min_offset` bzw. `g_adc.u_max_offset` verglichen und überprüft, ob er kleiner bzw. größer ist. Ist dies der Fall wird der Wert als neues Minimum bzw. Maximum in der entsprechenden Variablen gespeichert. Somit stehen nach einer Periode das Maximum und Minimum des Eingangssignals in den beiden Variablen zur weiteren Verarbeitung zur Verfügung. Wurden die Werte verarbeitet, müssen die Variablen zurückgesetzt werden, da sonst ein Kleinerwerden der Aussteuerung nicht detektiert werden würde. Da das Maximum und das Minimum sowohl für die Offsetkompensation, als auch für die Auswahl der Verstärkung benötigt werden, allerdings zu unterschiedlichen Zeitpunkten, werden diese zusätzlich noch in den Variablen `g_adc.u_min_gain` und `g_adc.u_max_gain` gespeichert.

4.3.4 Zustandsautomat

An dem Zustandsautomaten des Regelcontrollers nach Abbildung 4.3, müssen ebenfalls einige Änderungen vorgenommen werden, damit dieser weiterhin verwendet werden kann. Der Zustandsautomat führt, unter Berücksichtigung seines Zustandes, beim Erkennen eines Nulldurchgangs unterschiedliche Aktionen aus. Dazu gehört das Ein- bzw. Ausschalten des ADCs, welche aus allen Zuständen entfernt wurde, da der ADC dauerhaft sampeln soll. In allen Zuständen, die einen positiven Nulldurchgang behandeln, wurde zudem implementiert, dass das letzte detektierte Minimum für die Offsetkompensation zu der Variablen `g_adc.u_min_middle` hinzu addiert wird. Außerdem wird das Minimum zurückgesetzt und ein entsprechender Zähler inkrementiert, der die Anzahl der Additionen speichert. In allen Zuständen, die einen negativen Nulldurchgang behandeln, wird zusätzlich die Addition des Maximums zur Variablen `g_sig.u_max_middle` implementiert. Hierbei wird ebenfalls das letzte Maximum entsprechend zurückgesetzt und eine Variable inkrementiert, in der die Anzahl der Additionen gespeichert wird.

4.3.5 Offsetkompensation

Mittels der Funktion `calc_offset()` wird der Gleichanteil des Signals bestimmt. Dafür wurde bei sinusförmigen Signalen bislang nur das Tastverhältnis und eine Angabe über die Verstärkung benötigt. Da aus dem logarithmierten Signal mit Hilfe des Tastverhältnisses nicht direkt auf den Gleichanteil geschlossen werden kann, muss diese Funktion entsprechend angepasst werden.

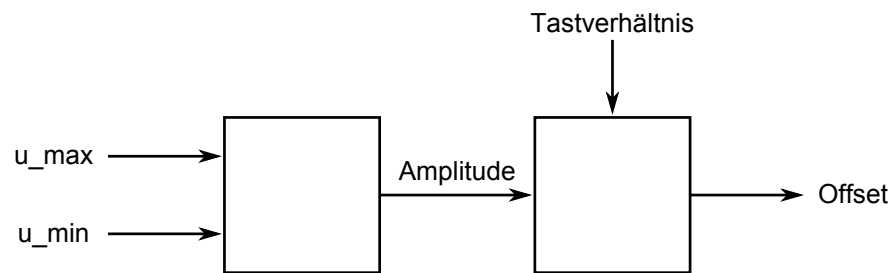
Durch den logarithmischen Verstärker wird das Tastverhältnis des Eingangssignals, wie in Kapitel 2.3 beschrieben, nicht verändert. Dadurch kann dies weiterhin für die Berechnung des Gleichanteils genutzt werden. Wird weiterhin davon ausgegangen, dass das Eingangssignal sinusförmig ist und dessen Amplitude bekannt ist kann der Offset mit der Formel 2.27 berechnet werden.

Da das Minimum und Maximum des Eingangssignals in den beiden Variablen `g_adc.u_min_middle` und `g_adc.u_max_middle` gespeichert ist, kann aus diesen beiden Angaben die Amplitude des Signals direkt bestimmt werden. Der Duty-Cycle des Signals ist in der Variablen `g_sig.duty` in Prozent gespeichert. Der Wert ist zudem auf 128 skaliert: $100\% \hat{=} 128$.

Der Vorverstärker wird mit einer Betriebsspannung von 3V betrieben, womit sich für den darauffolgenden logarithmischen Verstärker ein maximaler Eingangsspannungshub von 0 V bis 3 V ergibt. In der Lookup-Tabelle, mit deren Hilfe die Eingangswerte des logarithmischen Verstärkers zurückgewonnen werden, werden die Werte in 0,1 mV Schritten gespeichert. Für die Amplitude kann somit ein maximaler Wert von 30000 ermittelt werden. Für die Berechnung des Gleichanteils muss die Amplitude mit einer Sinusfunktion multipliziert werden. Das Ergebnis der Sinusfunktion ist vom Tastverhältnis des Signals abhängig. Für eine einfachere Implementierung wurde die Sinusfunktion ebenfalls in einer Lookup-Tabelle abgelegt. Da die Funktion, wie in [10] gezeigt, punktsymmetrisch ist, ist es ausreichend nur Werte für ein Tastverhältnis zwischen 0% und 50% in der Tabelle abzulegen. Für Tastverhältnisse größer 50% können diese aufgrund der Punktsymmetrie entsprechend berechnet werden.

$$D = \frac{U_{out} \cdot 2^n}{U_{Ref}} = Offset \cdot \frac{2^{16} \cdot 0,1 \text{ mV}}{2^{15} \cdot 3V} = Offset \cdot \frac{1}{15000} \quad (4.1)$$

Mittels der Gl. 4.1, welche in [2] angegeben ist, kann berechnet werden welcher Wert im DAC gesetzt werden muss, damit eine bestimmte Spannung ausgegeben wird. Da die Sinusfunktion, die für die Berechnung des Offsets verwendet wird, auf 2^{15} skaliert ist und die Amplitude in 0,1 mV angegeben ist, müssen diese Faktoren zuvor wieder herausgerechnet werden. Zusätzlich ist die ausgegebene Spannung von der Referenzspannung U_{Ref} und der Auflösung 2^n des DACs abhängig. Diese vier Faktoren können zu einer Konstanten zusammengefasst werden. Ist der Offset ermittelt, wird dieser zu dem aktuellen hinzu addiert. Der dazugehörige Quellcode, befindet sich in Anhang D.1.

Abbildung 4.5: Schematische Darstellung `calc_offset()`

4.3.6 Verstärkungsauswahl

Wie bereits beschrieben, findet die Auswahl der Verstärkung in der Funktion `check_gain()` statt. Hierbei werden die Anzahl der Samples, die innerhalb einer Periode die vier Schwellwerte überschritten haben, ausgewertet und die Verstärkung entsprechend gestellt. Außerdem wird festgelegt, in welchen Zustand die beiden Zustandsautomaten wechseln.

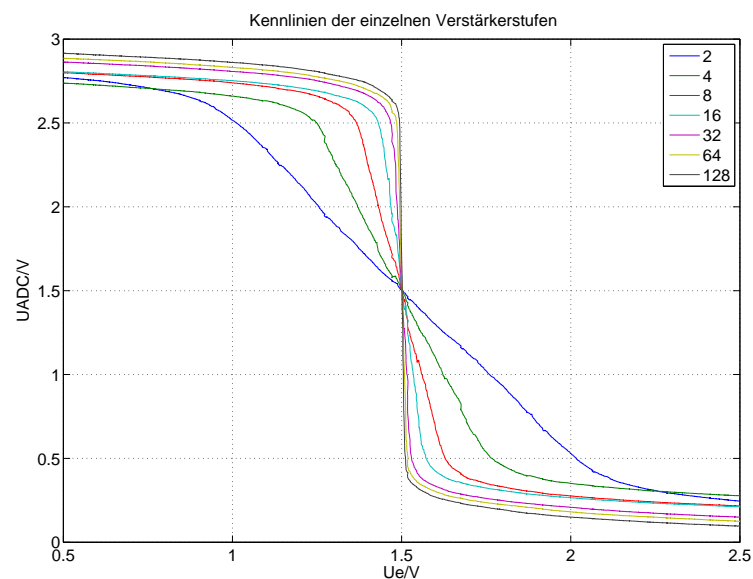


Abbildung 4.6: Kennlinien der einzelnen Verstärkerstufen

Für die Verstärkerbank bzw. logarithmische Verstärkung muss diese Funktion angepasst werden. Da der ADC so konfiguriert wurde, dass er dauerhaft sampelt, steht schon beim ersten Aufruf der Funktion das Minimum und Maximum des Eingangssignals zur Verfügung. Daraus kann unmittelbar die Amplitude des Eingangssignals bestimmt werden.

In Abbildung 4.6 sind die Kennlinien der einzelnen Verstärkerstufen aufgetragen. Daraus kann abgelesen werden, dass alle Stufen in einem Ausgangsspannungsbereich von 0,6 V bis 2,4 V linear arbeiten, also einem maximalen Spitze-Spitze-Wert von 1,8 V. Da weiterhin die Verstärkungsfaktoren bekannt sind, können daraus, wie in Tabelle 4.1 aufgelistet, die maximalen Eingangsspannungswerte für die einzelnen Verstärkerstufen berechnet werden.

Mittels mehrerer if-Bedingungen wird in der Funktion `check_gain()` daraufhin die Größe des Eingangssignals abgefragt und die passende Verstärkung ausgewählt.

Verstärkung	maximale Eingangsspannung U_{SS}
2	900 mV
4	450 mV
8	225 mV
16	112,5 mV
32	56,3 mV
64	28,1 mV
128	14,4 mV

Tabelle 4.1: Maximale Eingangsspannung bei gegebener Verstärkung

Zudem wird der Folgezustand des übergeordneten Zustandsautomaten auf *Active* gesetzt, wodurch das System die Signaldiagnose frei gibt. Eine Regelung der Verstärkung im Zustand *Initial_1Hz* entfällt somit, der vereinfachte Zustandsautomat ist in Abbildung 4.7 dargestellt. Am Ende der Funktion werden die Variablen `g_adc.u_min_gain` und `g_adc.u_max_gain` zurückgesetzt, damit innerhalb der nächsten Periode das Minimum und Maximum neu detektiert werden können. Der zugehörige Quellcode für den Regelcontroller befindet sich in Anhang D.1.

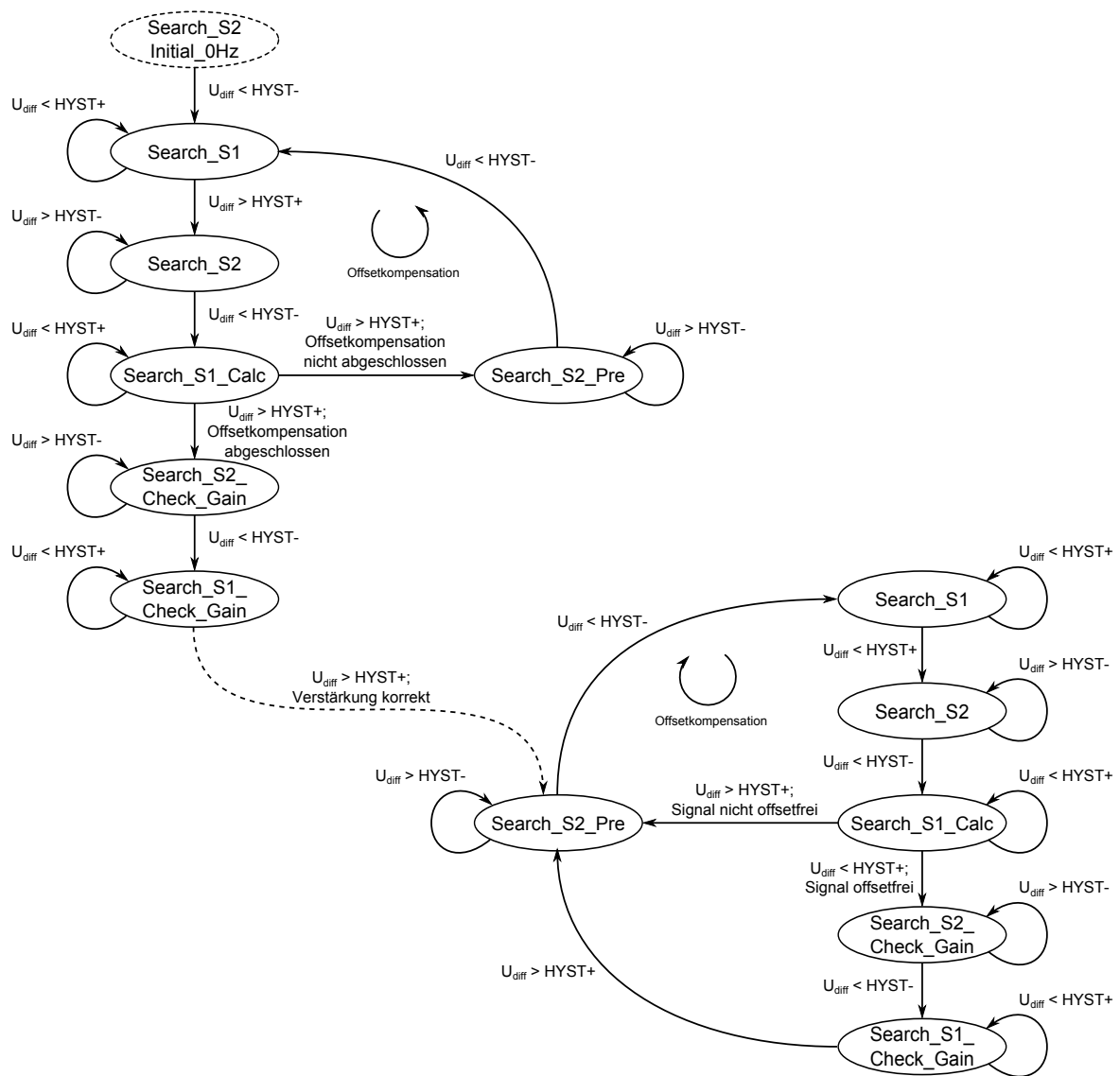


Abbildung 4.7: Zustandsautomat nach [19], hier vereinfacht nach Wegfall der initialen Verstärkungsregelung

5 Messungen und Funktionsnachweis

Anhand von Messergebnissen soll die ordnungsgemäße Funktion des Systems nachgewiesen werden. Dabei werden in erster Instanz die einzelnen Verstärker der in Abbildung 5.1 abgebildeten logarithmisch und linearen Verstärkerbank vermessen und mit den Simulationsergebnissen verglichen. Anschließend folgt eine Überprüfung der einzelnen Funktionen, wie Offsetkompensation und die Auswahl der Verstärkung. Abschließend werden THD-Kennfelder des bestehenden Systems dem neu Entworfenen gegenüber gestellt.

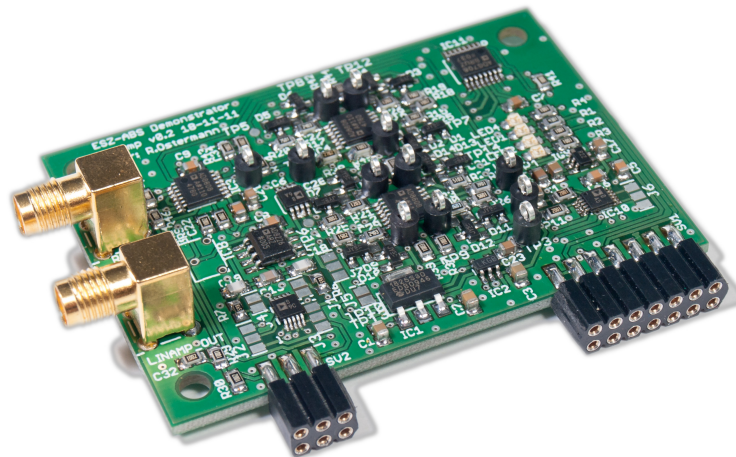


Abbildung 5.1: Kombinierte logarithmisch und lineare Verstärkerbank

5.1 Amplitudengang

Wie bereits in der Simulation wurde der Amplitudengang der einzelnen Verstärker gemessen. Dabei wurde eine einzelne logarithmisch und lineare Verstärkerbank so konfiguriert, dass sie das Halbbrückensignal U_{hb1} verstärkt. An Stelle des Halbbrückensignals wurde eine in der frequenzveränderliche Wechselspannung mit einem Effektivwert von $U_{eff} = 0,1 \text{ mV}$

und einem Gleichspannungsanteil von 1,5 V eingespeist. Die Amplitude des Wechselspannungssignals wurde dabei, wie bereits in der Simulation, so gewählt, dass keine der Verstärkerstufen in die Begrenzung geht. Als Messgerät wurde der UVP Audio Analyzer der Firma Rohde & Schwarz verwendet. Des Weiteren wurde für die Messung der Regelcontroller angehalten, sodass keine Offsetkompensation bzw. automatische Auswahl der Verstärkung statt fand. Diese wurden manuell eingestellt.

In Abbildung 5.2 sind die Messergebnisse dargestellt. Dabei wurden, um eine bessere Vergleichbarkeit zu erzielen, die unterschiedlich verstärkten Signale normiert. In der Abbildung ist, wie auch die Simulation gezeigt hat, gut zu erkennen, dass die Bandbreite mit steigender Verstärkung abnimmt. So wird das Signal mit der größten Verstärkung deutlich eher gedämpft als ein weniger stark verstärktes Signal. Dass sich die Bandbreite nicht mit Halbierung der Verstärkung verdoppelt, ist bedingt durch den Eingangsfiler, der sich bei den geringer verstärkten Signalen auswirkt.

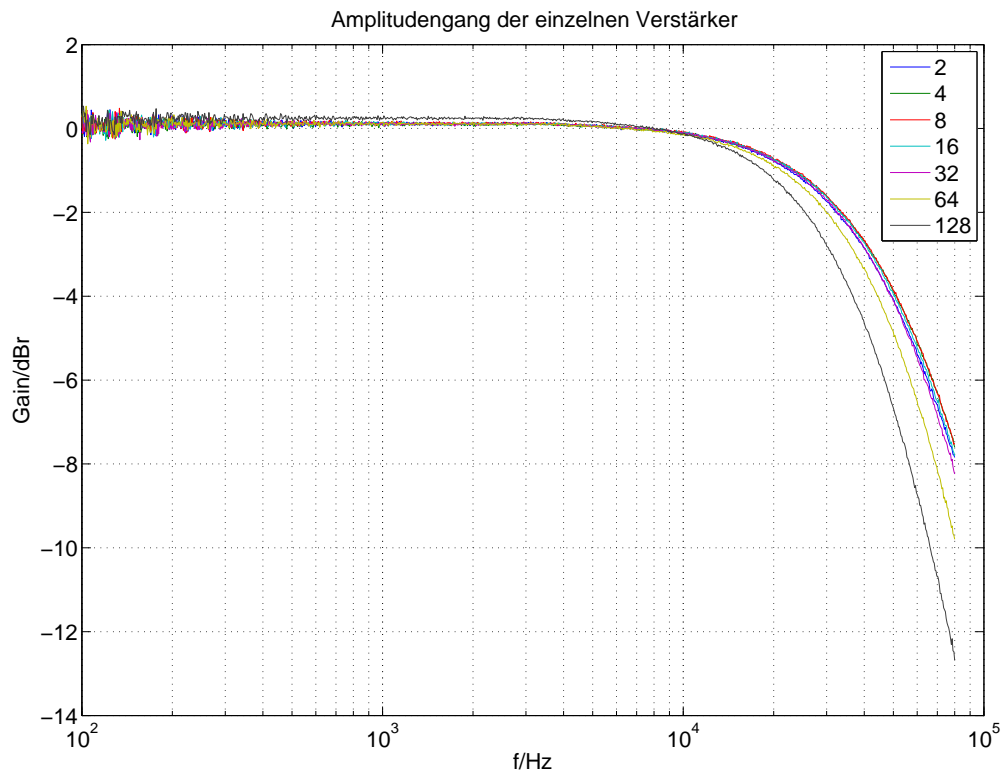


Abbildung 5.2: Gemessene Amplitudengänge

5.2 Phasengang

Neben dem Amplitudengang wurde auch der Phasengang der einzelnen Verstärkerstufen gemessen. Dieser entspricht im Verlauf ebenfalls der Simulation. Allerdings setzt eine spürbare Phasenverschiebung bei den gemessenen Signalen eher ein als in der Simulation. Dies kann durch parasitäre Effekte der Schaltung hervorgerufen werden, welche in der Simulation nicht berücksichtigt wurden. In der Simulation wurde gezeigt, dass eine zu den Dioden parallele geschaltete Kapazität im pF-Bereich bereits zu einer merklichen Veränderung des Phasengangs führt. Da die gewählten Dioden [8] eine Kapazität von 2 pF aufweisen, kann dies den ungleichen Phasengang erklären.

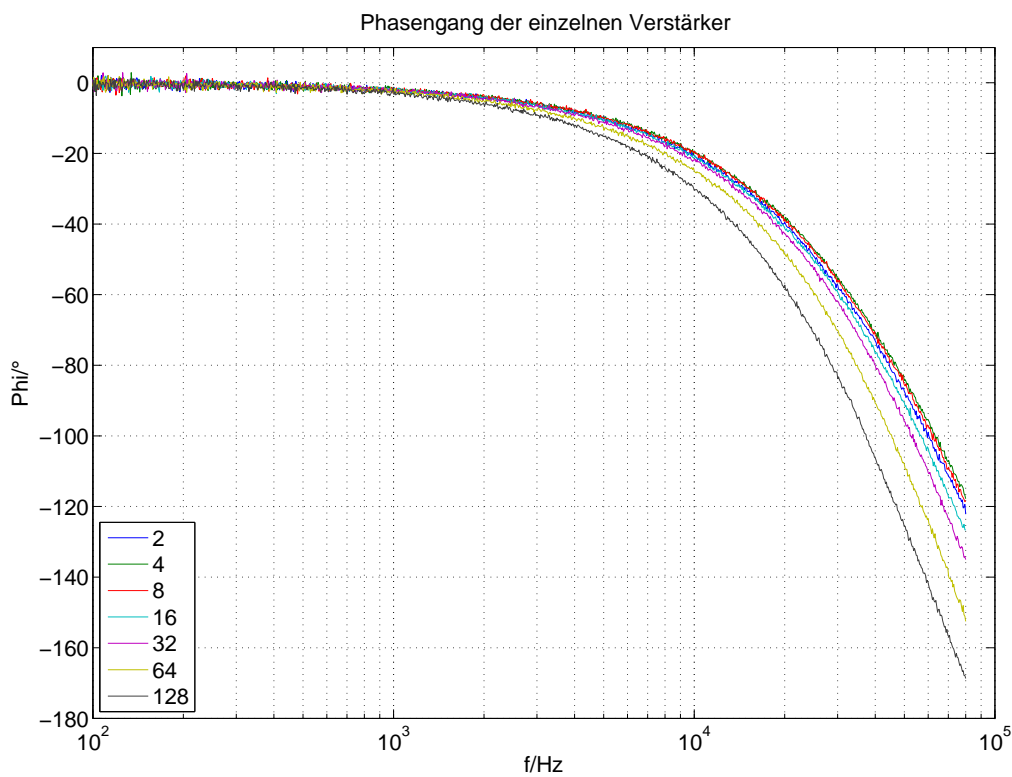


Abbildung 5.3: Gemessene Phasengänge

5.3 Verstärkungsauswahl

Für die nachfolgenden Messungen wurde der Versuchsaufbau nach Abbildung 5.4 verwendet. Das System wird dabei an dem Eingang U_{hb1} über den Funktionsgenerator AFG3022B der Firma Tektronix gespeist. Der zweite Eingang wurde für die Messungen auf ein festes Potenzial von $U_{hb2} = 1,5\text{ V}$ gelegt. Zur Aufnahme der Messergebnisse, wurde das Oszilloskop MSO3034 der Firma Tektronix eingesetzt. Mit diesem wurde sowohl das Eingangssignal U_{hb1} als auch das linear Verstärkte Ausgangssignal $U_{diff,lin}$ aufgezeichnet.

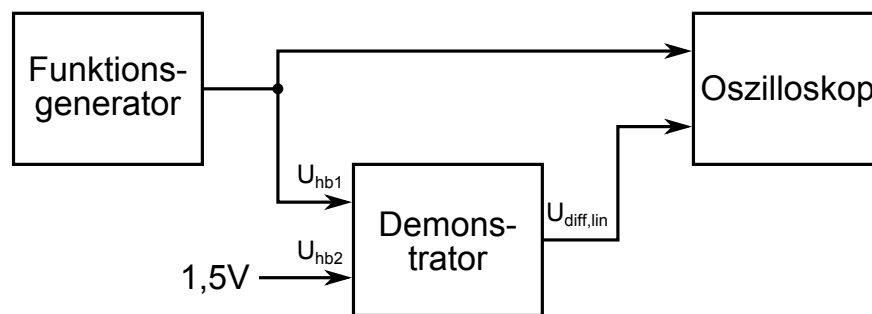


Abbildung 5.4: Versuchsaufbau

Für die weitere Signalverarbeitung ist die Auswahl der optimalen linearen Verstärkung entscheidend. Um die Funktionsfähigkeit des Systems zu verifizieren, wurde die Auswahl der optimalen Verstärkung in mehrere Fällen untersucht. Zum einen wurde der Systemstart näher betrachtet, zum anderen wurde ein, in der Signalamplitude kontinuierlich abnehmendes, Eingangssignal und eine sprunghafte Änderung der Amplitude untersucht.

In Abbildung 5.5 ist das Verhalten des Systems beim Start zu sehen. Im oberen Teil der Abbildung ist das Eingangssignal $U_{hb1,pp} = 50\text{ mV}$ und einer Frequenz von $f = 1\text{ kHz}$ abgebildet. Im unteren Graphen ist das linear verstärkte Signal beim Start des System dargestellt. Im linken Teil arbeitet der Regelcontroller noch nicht und seine Ausgänge sind dementsprechend hochohmig, es wird somit nicht kontrolliert beeinflusst, welches Signal der Multiplexer durchschaltet. Anschließend wird auf dem Controller die Initialisierungsphase durchgeführt. Dabei werden alle Ausgänge abgeschaltet, weshalb der Multiplexer ein Signal mit geringerer Verstärkung durchschaltet. Im Anschluss an die Initialisierung wird eine Offsetkompensation durchgeführt, welche mehrere Perioden andauert. Ist die Offsetkompensation abgeschlossen, wird die optimale lineare Verstärkung schnell ermittelt und direkt durch den Multiplexer gesetzt. Eine länger andauernde Regelung der Verstärkung entfällt an dieser Stelle.

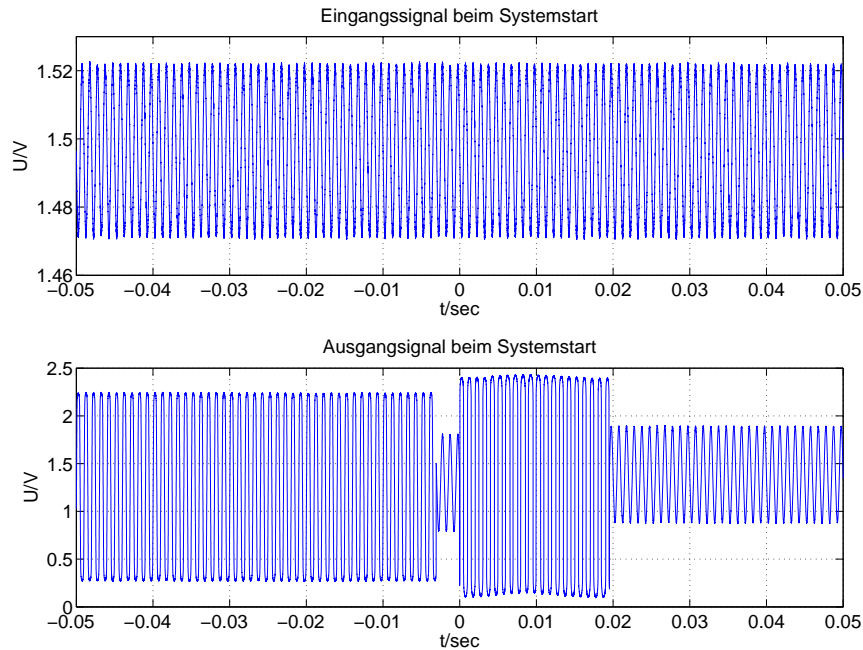


Abbildung 5.5: Verstärkungsauswahl bei Systemstart

Außerdem wurde die Auswahl der optimalen Verstärkung bei ab- und zunehmender Amplitude des Eingangssignals beobachtet. Dabei wurde der Spitzen-Spitzen-Wert des Eingangssignals zwischen $U_{hb1,pp} = 65 \text{ mV}$ und $U_{hb1,pp} = 5 \text{ mV}$, bei einer Signalfrequenz von $f = 107 \text{ Hz}$ variiert. In Abbildung 5.6 ist der entsprechende Spannungsverlauf abgebildet. Zudem ist in der Abbildung das linear verstärkte Ausgangssignal dargestellt. Dabei ist deutlich zu sehen, dass bei Veränderung der Signalamplitude entsprechend die beste Verstärkung ausgewählt wird.

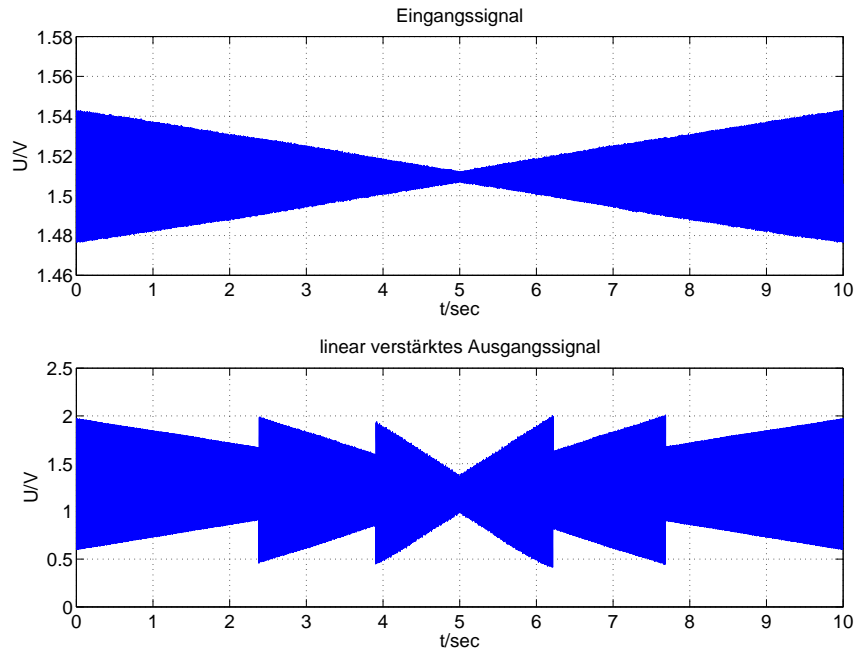


Abbildung 5.6: Verstärkungsauswahl bei kontinuierlicher Änderung der Signalamplitude

Zuletzt wurden untersucht, wie sich das System auf Sprünge der Signalamplitude verhält. Dazu wurde das System mit einem Sprung des Signals von $U_{hb1,pp} = 10 \text{ mV}$ auf $U_{hb1,pp} = 20 \text{ mV}$ bzw. von $U_{hb1,pp} = 20 \text{ mV}$ auf $U_{hb1,pp} = 10 \text{ mV}$ gespeist. In [Abbildung 5.7](#) ist zu sehen, dass das System bereits eine Periode nach dem Sprung die Verstärkung angepasst hat. Dabei ist allerdings nicht garantiert, dass dies immer unmittelbar passiert. Nach wie vielen Perioden die Verstärkung angepasst wird, ist davon abhängig in welchem Zustand sich der Zustandsautomat befindet. Wie in [Abbildung 5.8](#) zu sehen, kann die richtige Auswahl der Verstärkung somit einige Perioden dauern.

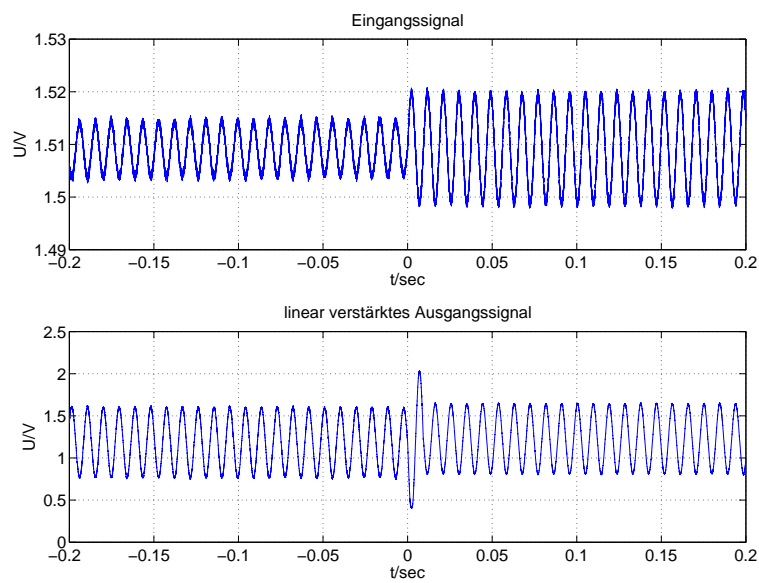


Abbildung 5.7: Messung positiver Amplitudensprung mit schneller Anpassung der Verstärkung

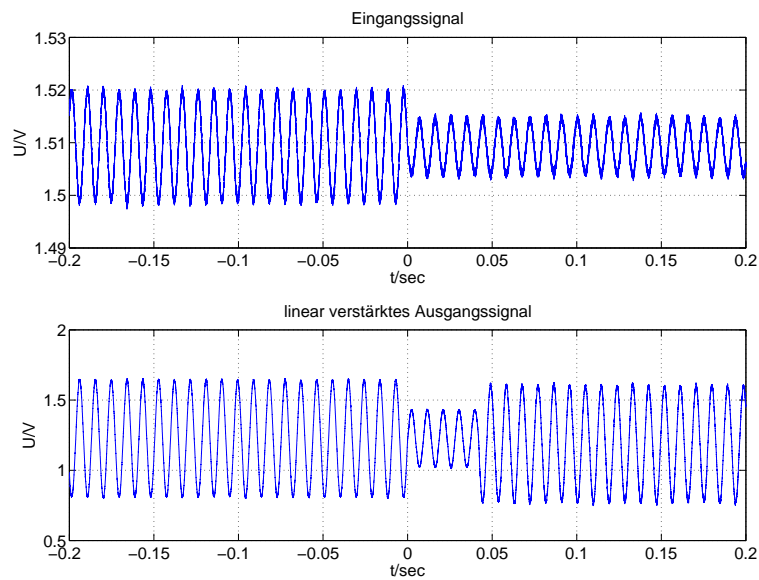


Abbildung 5.8: Messung negativer Amplitudensprung mit verzögerter Anpassung der Verstärkung

5.4 Offsetkompensation

Um die Funktionsweise der Offsetkompensation zu überprüfen, wurde das System mit einem Wechselspannungssignal gespeist, welches im oberen Graph in Abbildung 5.9 dargestellt ist. Die Spitzen-Spitzen-Spannung des Brückensignals betrug $U_{hb1,pp} = 25 \text{ mV}$ bei einer Signalfrequenz von $f = 107 \text{ Hz}$. Der Gleichanteil wurde über einen Zeitraum von 40 s um 40 mV variiert. Im zweiten Graphen der Abbildung ist das linear verstärkte Ausgangssignal dargestellt. Dabei sieht man deutlich, dass der Offset in regelmäßigen Abständen korrigiert wird. Die Abstände sind dadurch zu begründen, dass der Regelcontroller im Zustand *Active* eine Mittelung des Offsets über mehrere Perioden durchführt und erst anschließend korrigierend in das System eingreift.

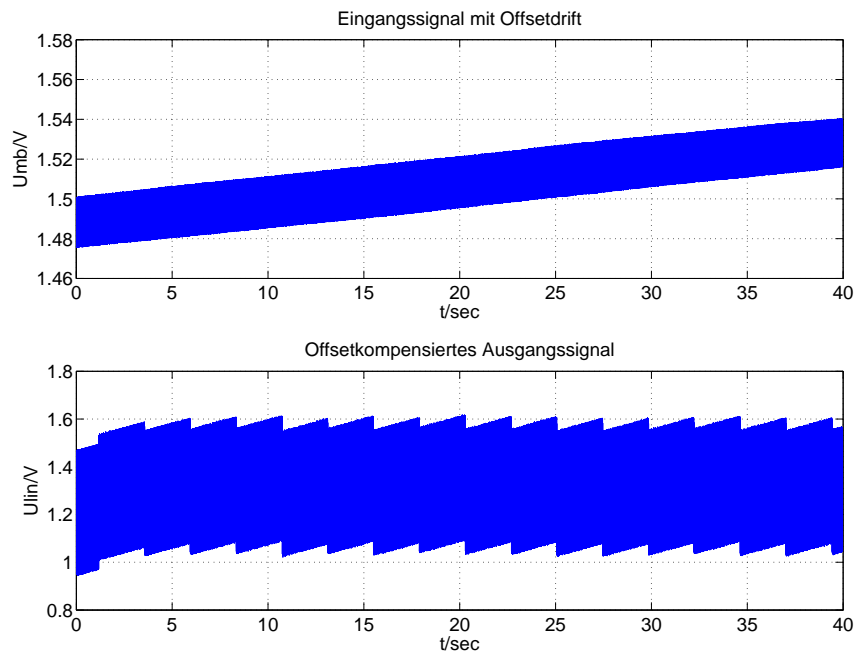


Abbildung 5.9: Offsetkompensation bei Offsetsweep (Die Signalfrequenz von $f = 107 \text{ Hz}$ ist hoch gegenüber Zeitbereichsdarstellung)

Des Weiteren wurde untersucht, wie sich das System verhält, wenn sich der Gleichanteil des Eingangssignals U_{hb1} schlagartig ändert. Dazu wurde das System wieder mit einem Wechselspannungssignal mit $f = 107 \text{ Hz}$ und einem Spitze-Spitze-Wert von $U_{hb1,pp} = 20 \text{ mV}$ gespeist. Der Gleichanteil wurde zudem um 5 mV verändert, was 50% der maximalen Aussteuerung des Signals entspricht. In Abbildung 5.10 ist zu sehen, dass das System die Änderung des Gleichanteils erkennt, kompensiert und das linear verstärkte Ausgangssignal somit zurück in den optimalen Mittellage bringt.

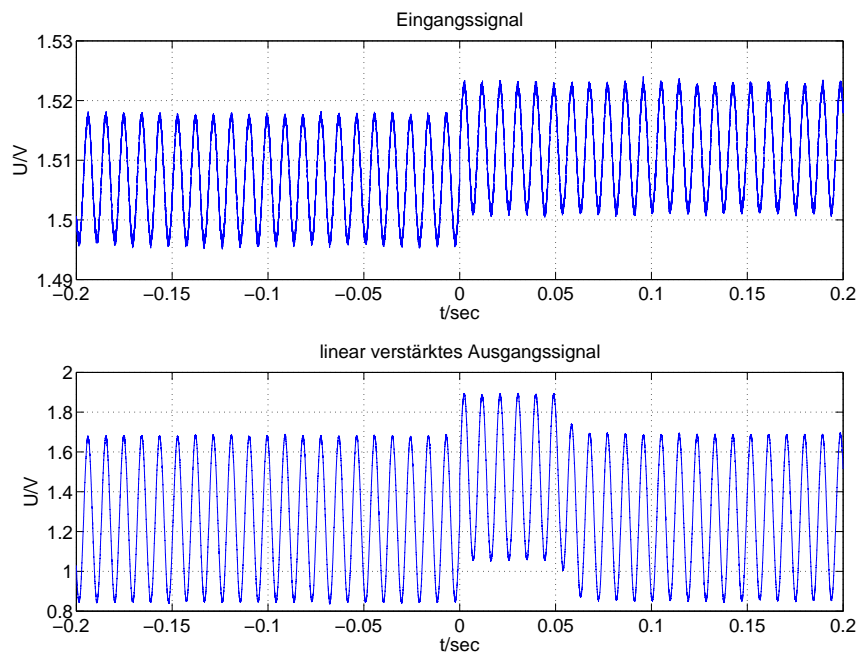


Abbildung 5.10: Offsetkompensation bei Offsetsprung

5.5 Brückenversorgung

Mit der entworfenen Hauptplatine besteht die Möglichkeit, die AMR-Messbrücke auf unterschiedliche Weise mit Energie zu versorgen. Zum einen kann die Messbrücke direkt mit einer konstanten Spannung von 3 V versorgt werden. Zum anderen besteht die Möglichkeit die Versorgungsspannung zwischen 0 V und maximal 5 V digital durch den Regelcontroller einzustellen. Eine dritte Möglichkeit ist die Verwendung einer Stromquelle anstatt einer Spannungsquelle.

Um die Funktion der Stromquelle zu verifizieren, wurde die Spannung am Ausgang des DACs zwischen 0 und 2,5 V variiert und der Strom am Ausgang des Spannungs-Strom-Wandlers gemessen. Dazu diente ein $100\ \Omega$ Widerstand als Messwiderstand. Wie in Abbildung 5.11 dargestellt, ist der Zusammenhang zwischen Brückenstrom und eingestellter Spannung linear. Der Brückenstrom kann somit sehr gut durch den Regelcontroller gesteuert werden.

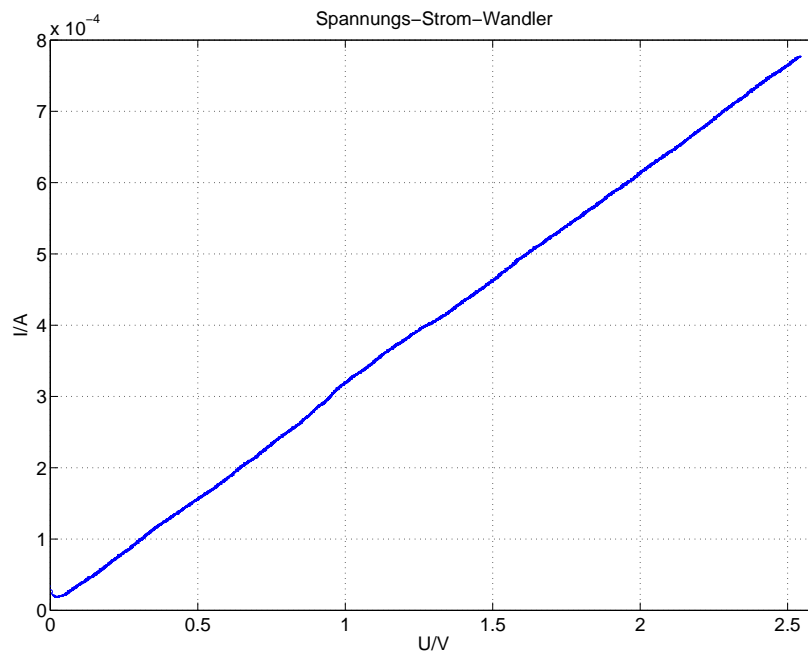


Abbildung 5.11: Kennlinie Spannungs-Strom-Wandler

5.6 Radmessplatz

Um eine Vergleichbarkeit des Demonstrators mit logarithmisch und linearer Verstärkerbank und Demonstrator mit der Verstärkerplatine nach [10] herzustellen, wurden mehrere Messungen mit beiden Systemen am Radmessplatz durchgeführt. Der Radmessplatz bietet die Möglichkeit eine AMR-Messbrücke in unterschiedlichen Distanzen und Verkipfungswinkeln zu einem Encoderrad zu platzieren. Somit können mit dem Radmessplatz der Reihe nach mehrere Positionen angefahren werden und verschiedene Messwerte des Demonstrators aufgenommen werden, welche anschließend visualisiert werden.

Im folgenden sind Messergebnisse abgebildet, die am Radmessplatz durchgeführt wurden. Dabei wurde der Sensor um einen Winkel von $\varphi = \pm 15^\circ$ in der y-Achse verkippt und auf der z-Achse in einem Abstand von 0 mm bis 0,9 mm zum Encoderrad verfahren. Zur besseren Vergleichbarkeit sind immer zwei Messungen gegenüber gestellt. Wobei die erste Messung mit dem Demonstrator mit kombinierter logarithmisch und linearer Verstärkerbank durchgeführt wurde und die Zweite mit dem System nach [9], welches die Verstärkungsregelung und Offsetkompensation aufwendig in MATLAB durchführt.

In den beiden Abbildung 5.12 und 5.13, ist der gemessene HDI aufgetragen. Dieser ist nach [11] und [18] vergleichbar mit dem THD, beruht allerdings auf einem anderen Verfahren. Ein Vergleich der beiden Bilder zeigt, dass der HDI in beiden Fällen nahezu identisch ist. Eine zusätzliche Verzerrung durch die kombinierte logarithmisch und lineare Verstärkerbank, kann somit ausgeschlossen werden. Auch die gewählte Verstärkung, welche in Abbildung 5.14 und 5.15 dargestellt ist, zeigt dass die Systeme in vielen Bereichen gleich arbeiten. Weitere Messungen sind in Anhang B beigefügt.

Auffallend in den Messungen sind, zum einen, die mit einem weißen Kreuz markierten Felder, welche eine Frequenzverdopplung markieren. Zum anderen die vollständig weißen Felder in der jeweils zweiten Abbildung. In diesen Fällen wurde kein gültiger Messwert aufgenommen. Das kein Messwert aufgenommen wurde, ist dadurch zu begründen, dass das System ständig den Offset nachgeregelt hat und somit der Zeitintervall für die HDI Ermittlung zu kurz war. Davon abgesehen, weisen die beiden Grafiken allerdings eine hohe Ähnlichkeit auf.

Um ein Gefühl dafür zu bekommen, wie der logarithmische Verstärker arbeitet, sind in Abbildung 5.16 und 5.17 zwei verstärkte Sensorsignal im Zeitbereich dargestellt. Dabei wurde im zweiten Bild der Sensor soweit auf der y-Achse verkippt, dass eine Frequenzverdopplung des Signals auftritt.

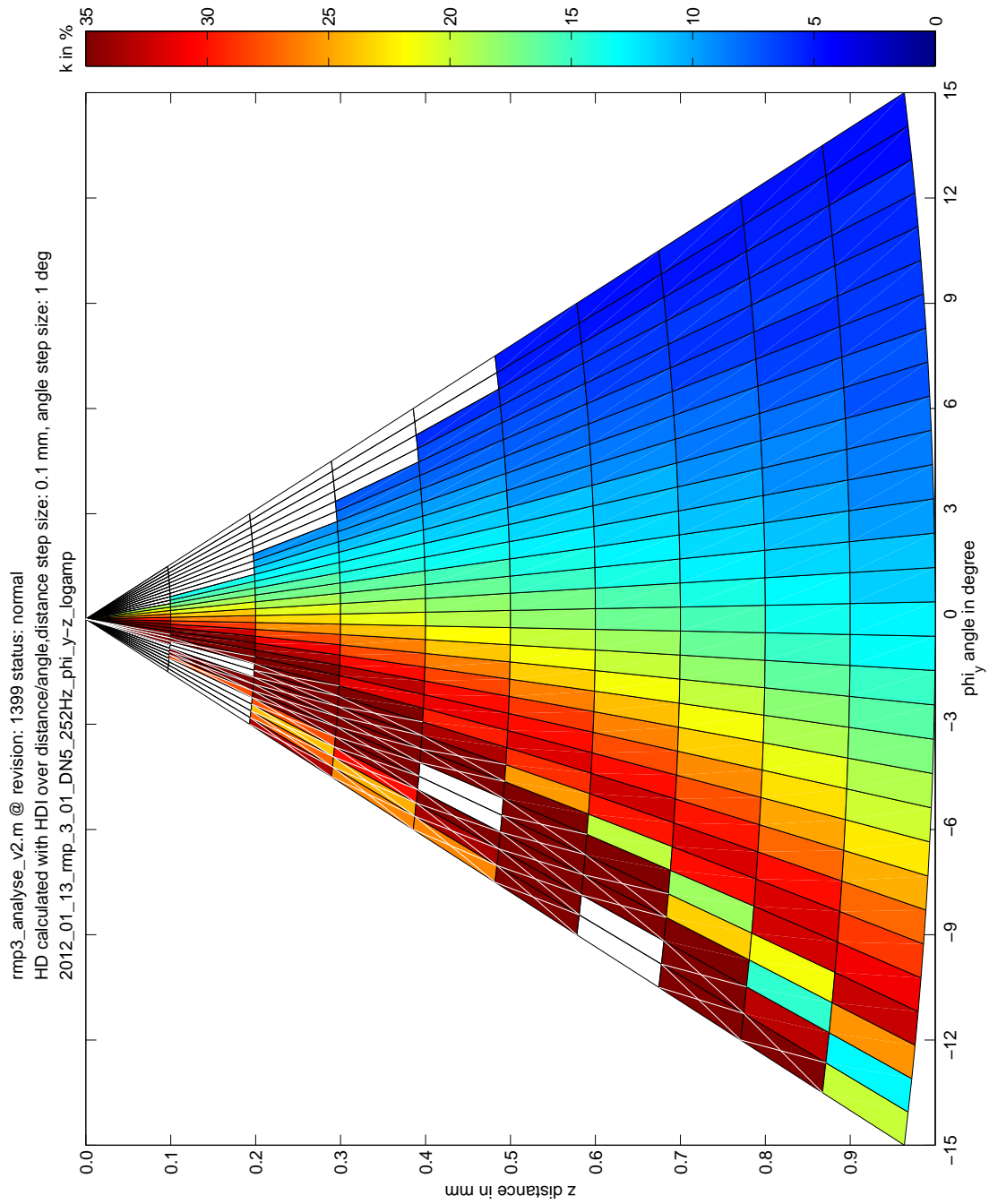


Abbildung 5.12: HDI mittels kombinierter logarithmisch und linearer Verstärkerbank

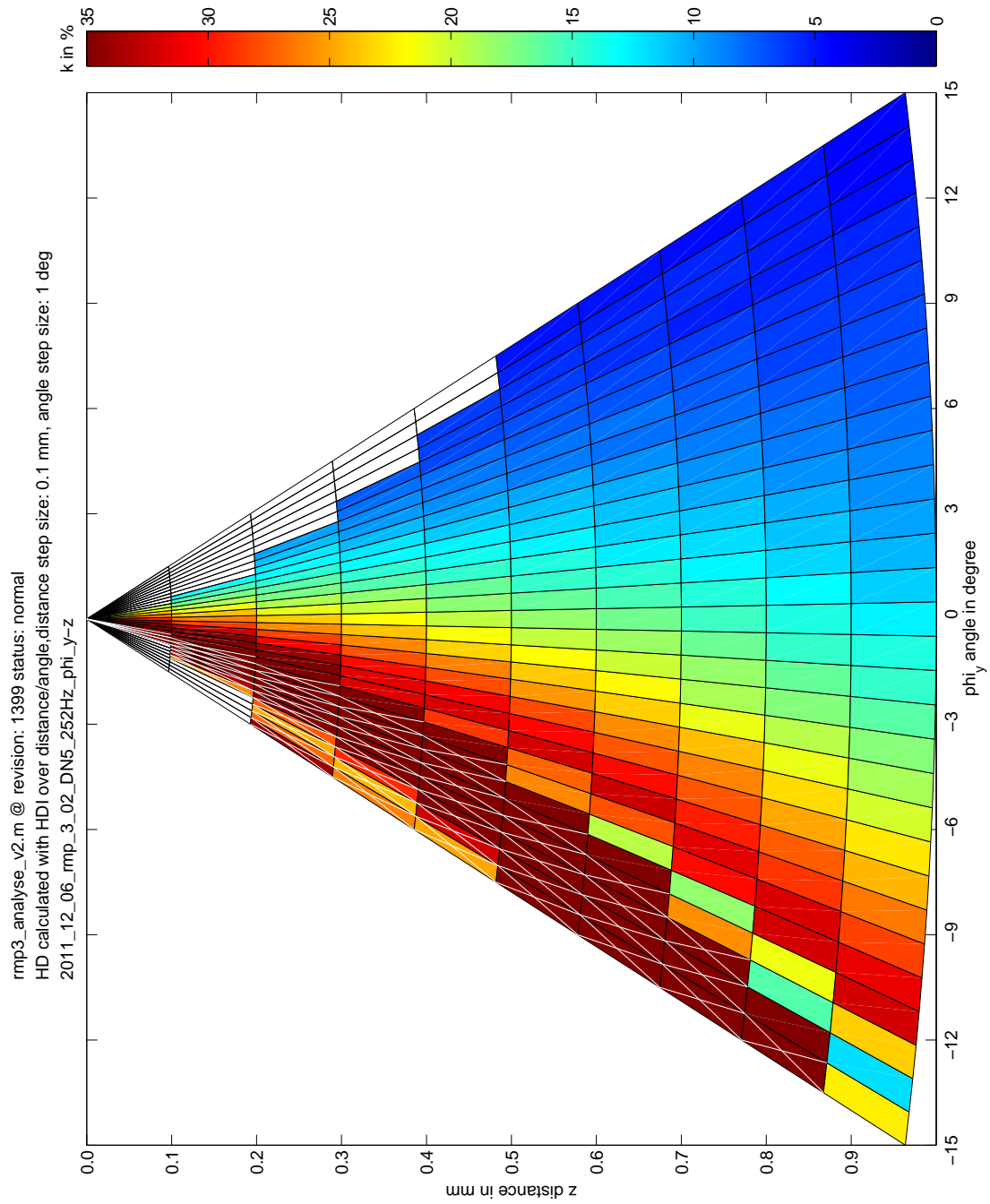


Abbildung 5.13: HDI mittels Verstärkerplatine nach [10]

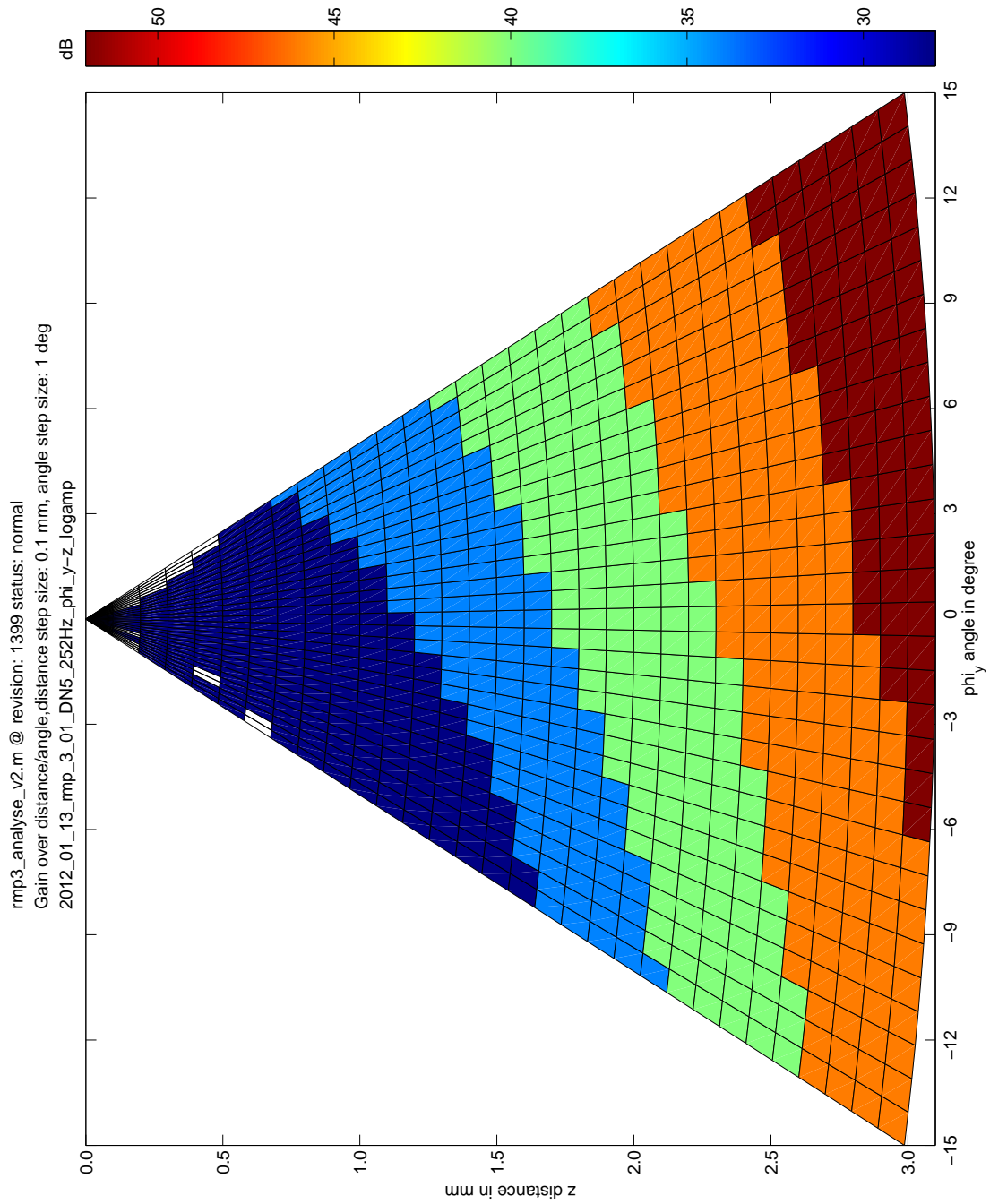


Abbildung 5.14: Verstärkung bei kombinierter logarithmisch und linearer Verstärkerbank

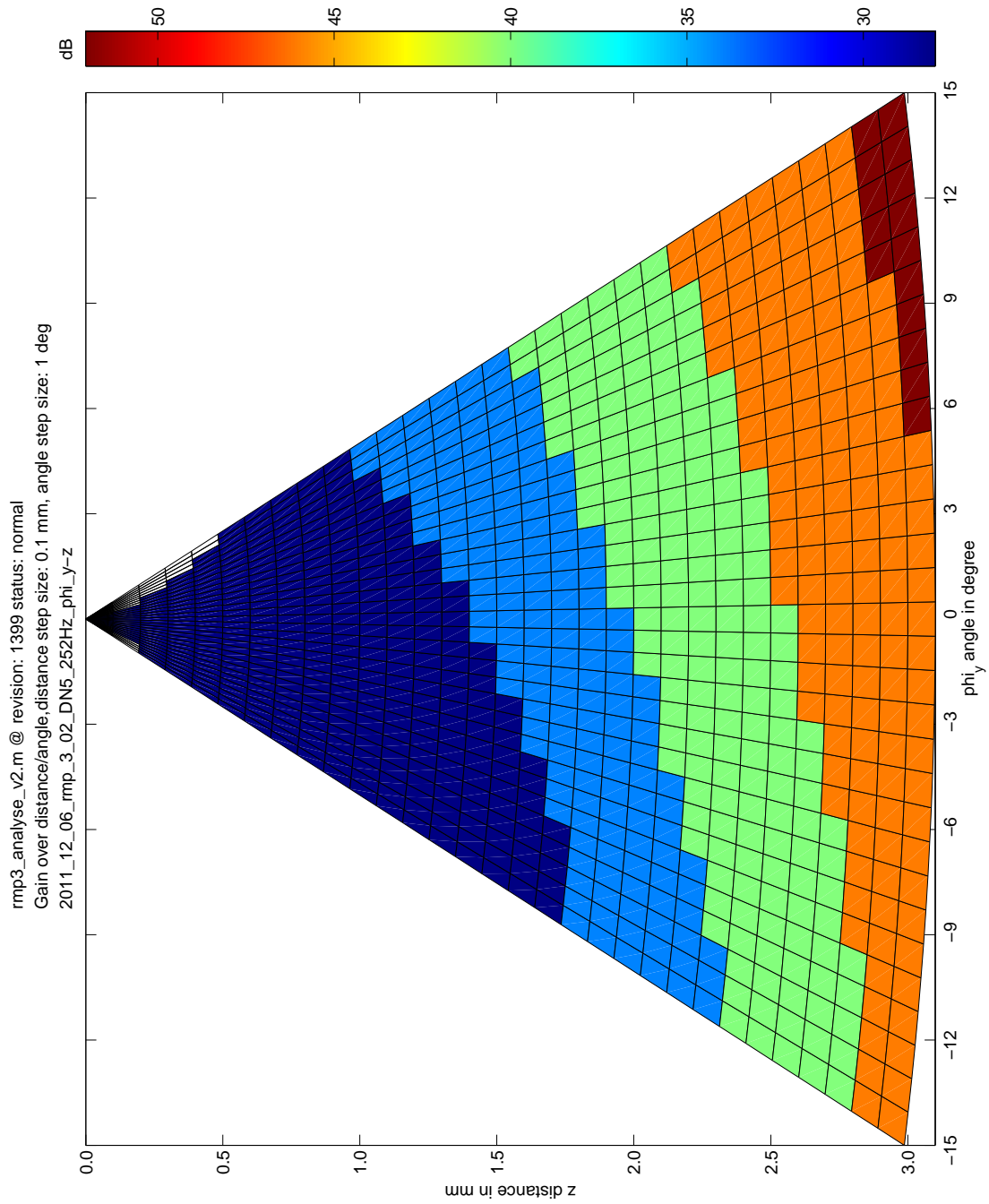


Abbildung 5.15: Verstärkung bei Verstärkerplatine nach [10]

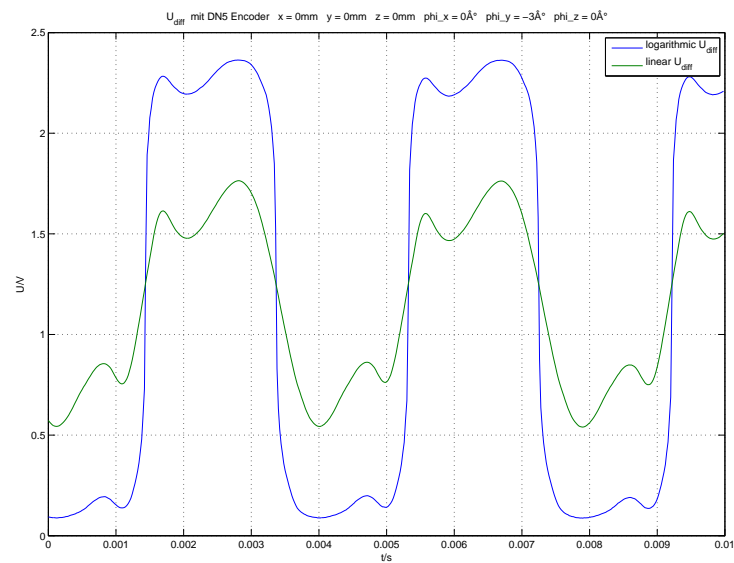


Abbildung 5.16: Linear und logarithmisch verstärktes und Sensorsignal im Zeitbereich

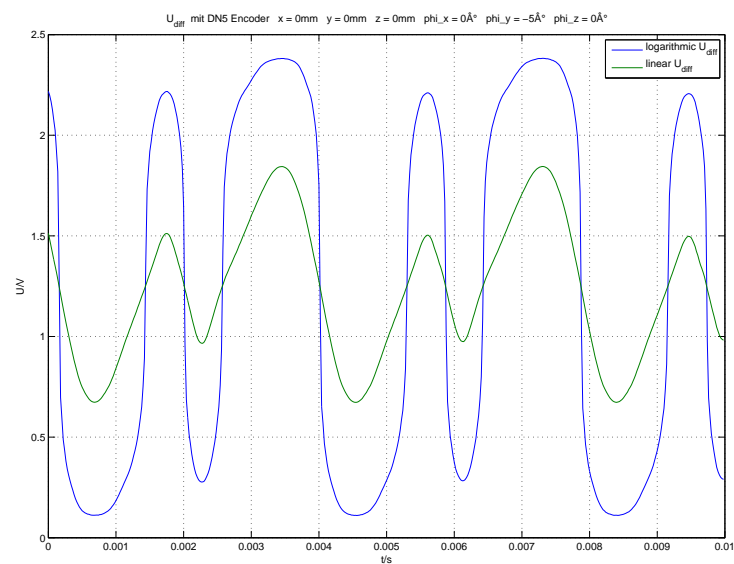


Abbildung 5.17: Linear und logarithmisch verstärktes und Sensorsignal im Zeitbereich, mit Frequenzverdopplung durch Verkippung

6 Bewertung und Ausblick

6.1 Bewertung

In dieser Arbeit wurde die Verstärkerplatine der bestehenden Demonstratorplattform erfolgreich durch eine kombinierte logarithmisch und lineare Verstärkerbank ersetzt. Die Verstärkerbank besteht dabei aus sieben parallel aufgebauten Verstärkerstufen, welche dieselbe Verstärkung des bestehenden Systems abdeckt. Durch die sanfte Begrenzung der einzelnen Verstärkerstufen und Aufsummieren aller Stufen wurde zudem erreicht, dass das Eingangssignal logarithmiert wird. Somit steht neben dem linear verstärkten Brückensignal auch das logarithmierte Signal zur Verfügung, welches den Vorteil hat, dass es immer im optimalen Aussteuerungsbereich des Analog-Digital-Umsetzers liegt und somit zu jedem Zeitpunkt auswertbar ist.

Für den Aufbau der kombinierten logarithmisch und linearen Verstärkerbank wurde sowohl eine Schaltung entwickelt, welche auf die Reihenschaltung von Verstärkern setzt, als auch eine Parallelschaltung der Verstärker. Die beiden Aufbauten wurden mit Hilfe des Simulationsprogramms PSpice simuliert und in ihren Eigenschaften untersucht. In der Praxis hat sich die Reihenschaltung der Verstärkerstufen allerdings als untauglich herausgestellt, da diese zum Schwingen neigt. Die Ursache hierfür konnte nicht lokalisiert werden.

Des Weiteren konnte die zweidimensionale Offset- und Verstärkungsregelung mit Hilfe der gleichzeitig zur Verfügung stehenden linear verstärkten Signale auf die Offsetkompensation reduziert werden. Hierbei wird das logarithmierte Eingangssignal auf dem Regelcontroller delogarithmiert und zur Auswahl der optimalen Verstärkung genutzt. Für die Auswahl der Verstärkung, als auch für die Offsetkompensation, mussten einige Änderungen am Regelcontroller vorgenommen werden, die die grundlegende Softwarestruktur allerdings nicht beeinflussen.

Auch stellt die Delogarithmierung mittels Lookup-Tabelle noch keine geeignete Methode dar, da diese in Form eines Speichers auf dem Sensorchip hinterlegt werden muss. Die hohen Anforderungen an den Sensor, gerade in Bezug auf Temperatur, erweisen sich hier als besonders kritisch.

Mit den Ergebnissen diese Arbeit konnte ein weiterer Beitrag zum Forschungsprojekt "Experimentelle digitale Signalverarbeitung und Zustandserkennung für ABS-Sensoren" (ESZ-ABS) geleistet werden. Außerdem erschließen sich mit der entwickelten kombinierten lo-

garithmisch und linearen Verstärkerbank neue Möglichkeiten, was die Auswertung der Brückensignale, als auch die weitere Signalverarbeitung betrifft.

6.2 Ausblick

Da der verwendete Mikrocontroller nur über einen Smart-Comparator verfügt, ist eine Offsetkompensation nur für das Brückendifferenzsignal möglich. Sollen die Halbbrückensignale mit in die Zustandserkennung des Sensors einbezogen werden, empfiehlt es sich auf einen Mikrocontroller umzusteigen, der die Offsetkompensation aller drei Signale ermöglicht.

Des Weiteren empfiehlt sich eine genauere Betrachtung des logarithmierten Signals in Bezug auf die Berechnung des Klirrfaktors, da sich dadurch ggf. die Abtastung der linear verstärkten Signale einsparen lässt.

Mit dieser Arbeit wurde gezeigt dass die Regelung des Sensorsignals durch den Einsatz einer kombinierten logarithmisch und linearen Verstärkerbank deutlich vereinfacht werden kann. Es bleibt allerdings offen, ob die gewonnenen Vorteile, den Mehraufwand rechtfertigen. Gerade in Hinblick auf eine Chipintegration, müssen diese beiden Faktoren gegeneinander abgewogen werden.

Literaturverzeichnis

- [1] AG, Daimler: *Requirement Specifications for Standardized Interface for Wheel Speed Sensors with Additional Information „AK-Protokoll“*. 4.0. Februar 2008
- [2] ANALOG DEVICES: *AD5627R/AD5647R/AD5667R, AD5627/AD5667 - Dual, 12-/14-/16-Bit nanoDACs with 5 ppm/°C On-Chip Reference, I²C Interface*. Version: 2007. http://www.analog.com/static/imported-files/data_sheets/AD5627R_5647R_5667R_5627_5667.pdf, Abruf: 17.01.2012
- [3] ANALOG DEVICES: *ADG708/ADG709 - CMOS, 1.8V to 5.5V±2.5V, 3Ω Low Voltage 4-/8-Channel Multiplexers*. Version: C, 2009. http://www.analog.com/static/imported-files/data_sheets/ADG708_709.pdf, Abruf: 26.01.2012
- [4] ANALOG DEVICES: *AD8226 - Wide Supply Range, Rail-to-Rail Output Instrumentation Amplifier*. Version: B, 2011. http://www.analog.com/static/imported-files/data_sheets/ADG884.pdf, Abruf: 26.01.2012
- [5] ANALOG DEVICES: *AD8605/AD8606/AD8608 - Precision, Low Noise, CMOS, Rail-to-Rail, Input/Output Operational Amplifiers*. Version: K, 2011. http://www.analog.com/static/imported-files/data_sheets/AD8605_8606_8608.pdf, Abruf: 02.12.2011
- [6] BOLL, R. ; OVERSHOTT, K. J.: Magnetic Sensors. In: GÖPEL, W. (Hrsg.) ; HESSE, J. (Hrsg.) ; ZEMEL, J. N. (Hrsg.): *Sensors a Comprehensive Survey* Bd. 5. Weinheim : VCH, 1989. – ISBN 3–527–26771–9. – insb. Kap. 9 von U. Dübbern
- [7] BRONSTEIN, I.N. ; SEMENDJAJEW, K.A. ; MUSIOL, G. ; MÜHLIG, H.: *Taschenbuch der Mathematik*. 7, Aufl. Frankfurt am Main : Harri Deutsch, 2008. – ISBN 978–3–8171–2017–8
- [8] INFINEON TECHNOLOGIES: *BAV199 Silicon Low Leakage Diode*. Version: 2004. <http://www.infineon.com/dgdl/bav199series.pdf?folderId=db3a30431400ef6801141c748874044e&fileId=db3a30431400ef6801141cba733104e5>, Abruf: 26.01.2012
- [9] IVANOV, Kalin: *Fehlersichere Automatisierung eines Encoder-Messplatzes zur Untersuchung von ABS-Sensoren*, Hochschule für Angewandte Wissenschaften Hamburg, laufende Diplomarbeit

- [10] JEGENHORST, N.: *Entwicklung eines Controllersystems zur Zustandserkennung von ABS-Sensoren*, Hamburg, Hochschule für Angewandte Wissenschaften, Diplomarbeit, 2009
- [11] KOCH, Lennart: *Aufwandsminimierte Schätzung von Harmonischen zur Zustandsbestimmung von ABS-Sensoren*, Hochschule für Angewandte Wissenschaften Hamburg, Diplomarbeit, April 2010
- [12] KREY, Martin ; RIEMSCHEIDER, Karl-Ragnar: Signalverarbeitung zur Funktionsdiagnose bei magnetischen Sensoren. In: *E-Forum Magazin des Departments Informations- und Elektrotechnik* (2011). – und pers. Kommunikation. Hamburg, Hochschule für Angewandte Wissenschaften
- [13] KRUCKER, G.: *Analoge Systeme 2 (ELA5)*. Version: August 2004. <http://www.krucker.ch/skripten-uebungen/AnSys/ELA5-OpAmp.pdf>
- [14] M. BIEGERT: *Learning How Electronic Parts Work*. Version: 2011. <http://mathscinotes.wordpress.com/2011/04/28/learning-how-electronic-parts-work/>, Abruf: 30.12.2011
- [15] PHILIPS: *KMI22/1 Rotational speed sensor for extended air gap application and direction detection*. 2000
- [16] PHILIPS SEMICONDUCTORS: *General Rotational speed measurement*. 1998
- [17] PHILIPS SEMICONDUCTORS: *General Magnetoresistive sensors for magnetic field measurement*. 2000
- [18] POPPINGA, Heiko: *Controller-Implementation und messtechnische Erprobung der Signalverarbeitung für die Diagnosefunktion von ABS-Sensoren*, Hochschule für Angewandte Wissenschaften Hamburg, Bachelorarbeit, Mai 2011
- [19] STAHL, M.: *Controllersystem zur Verstärkungsregelung und Offsetkompensation für ABS-Sensoren mit Diagnosefunktion*. Hamburg, Hochschule für Angewandte Wissenschaften, Bachelorthesis, 2010
- [20] TIETZE, U. ; SCHENK, Ch. ; GAMM, E.: *Halbleiter-Schaltungstechnik*. 13. Aufl. Heidelberg : Springer, 2010. – ISBN 978-3-642-01621-9

A Simulation

A.1 Parallelschaltung

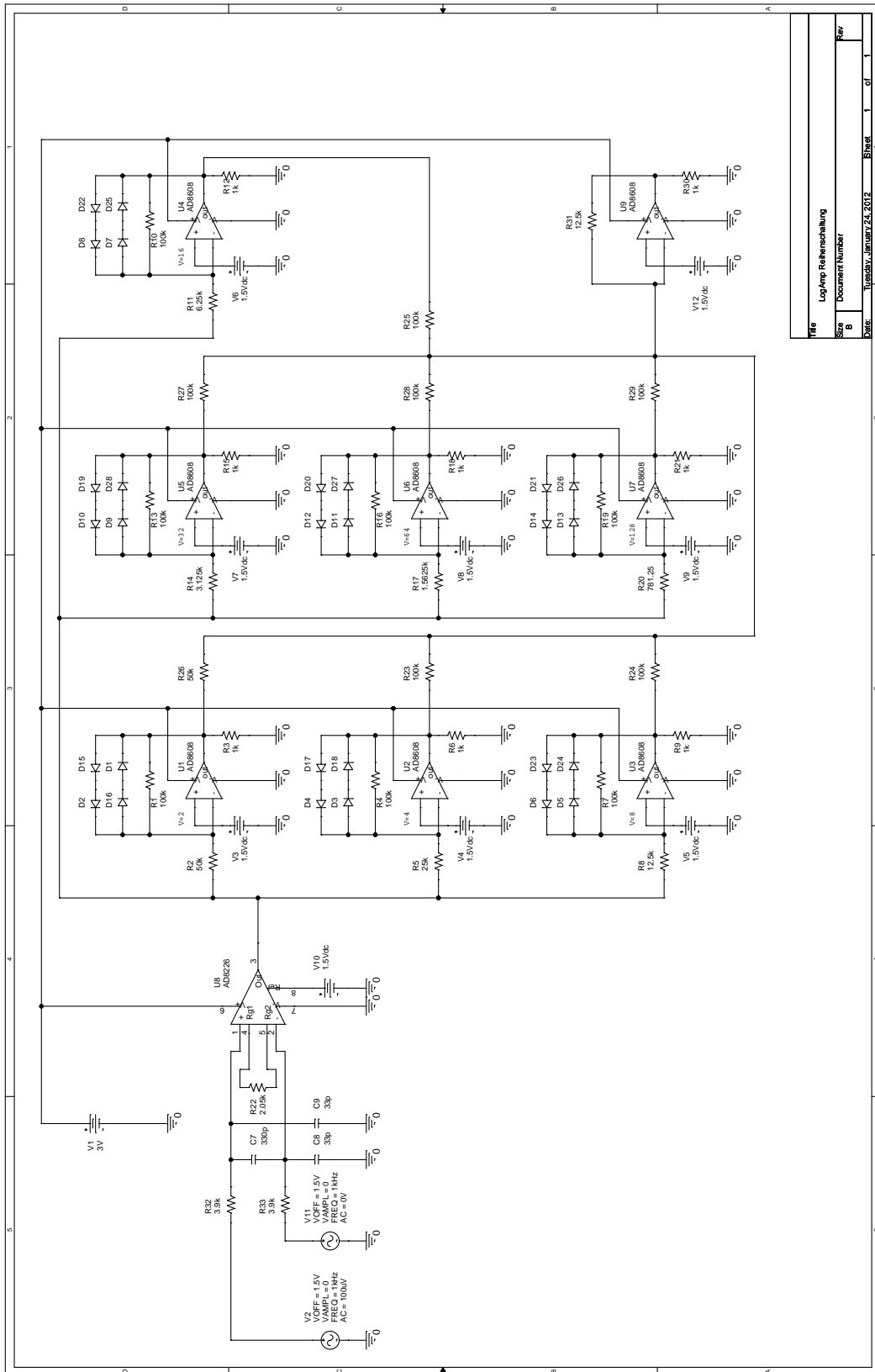


Abbildung A.1: PSpice Schaltbild Parallelschaltung

A.2 Reihenschaltung

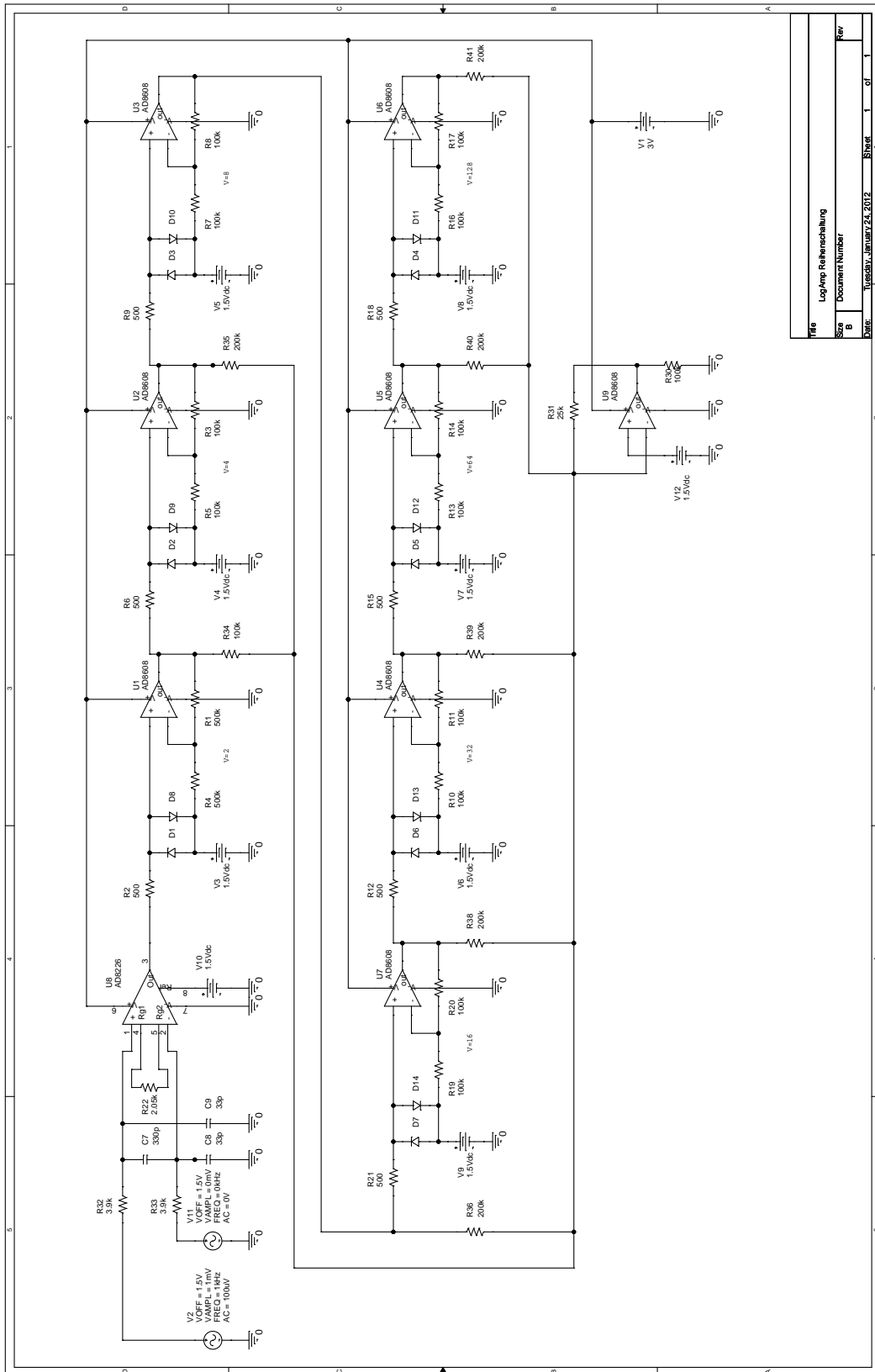


Abbildung A.2: PSpice Schaltbild Reihenschaltung

A.3 Simulationsergebnisse

A.3.1 Amplituden- und Phasengang Reihenschaltung

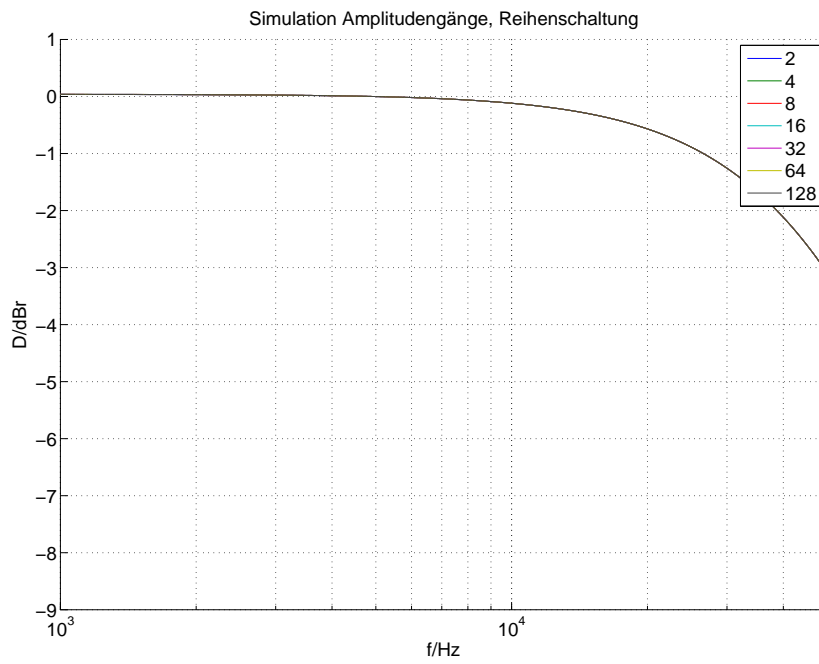


Abbildung A.3: PSpice Simulation Amplitudengang Reihenschaltung

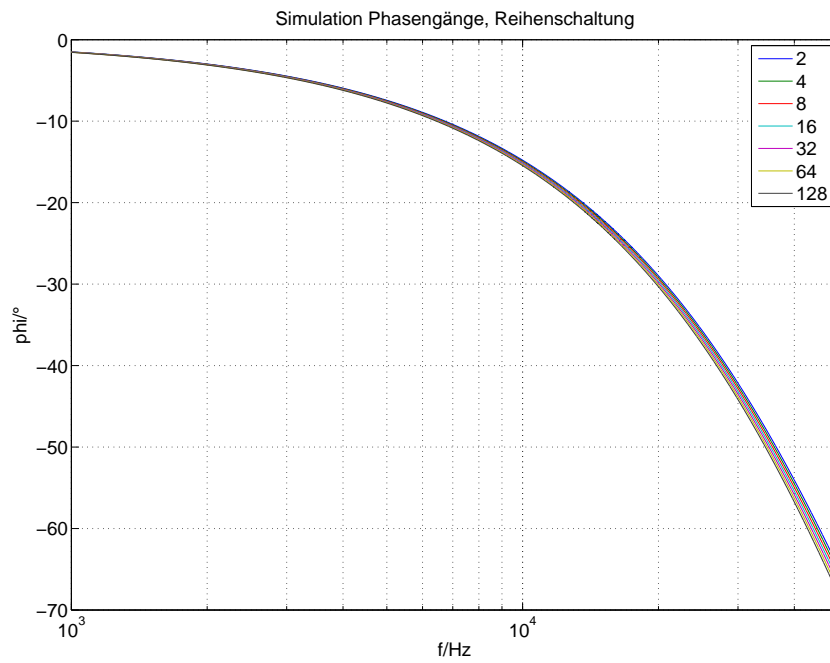


Abbildung A.4: PSpice Simulation Phasengang Reihenschaltung

A.3.2 Amplituden- und Phasengang Parallelschaltung

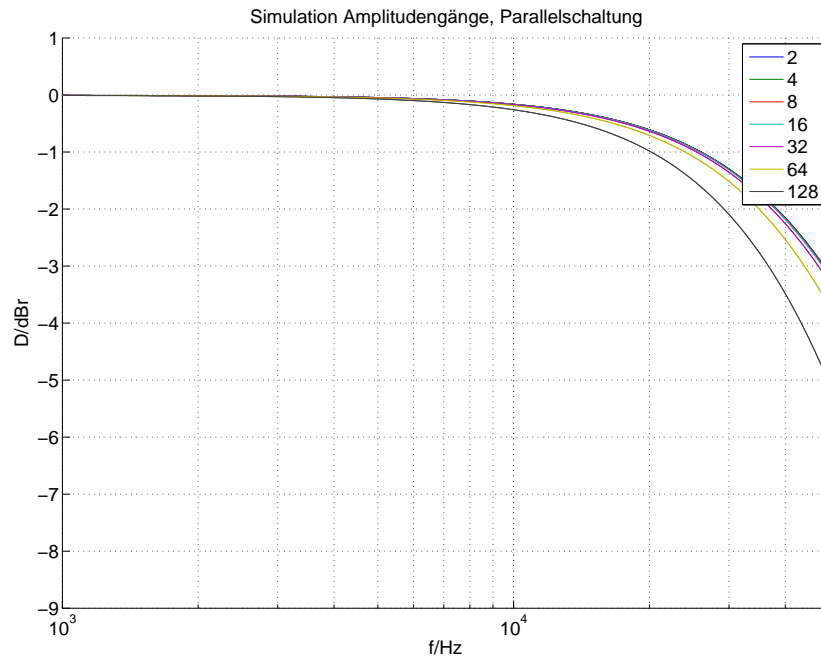


Abbildung A.5: PSpice Simulation Amplitudengang Parallelschaltung

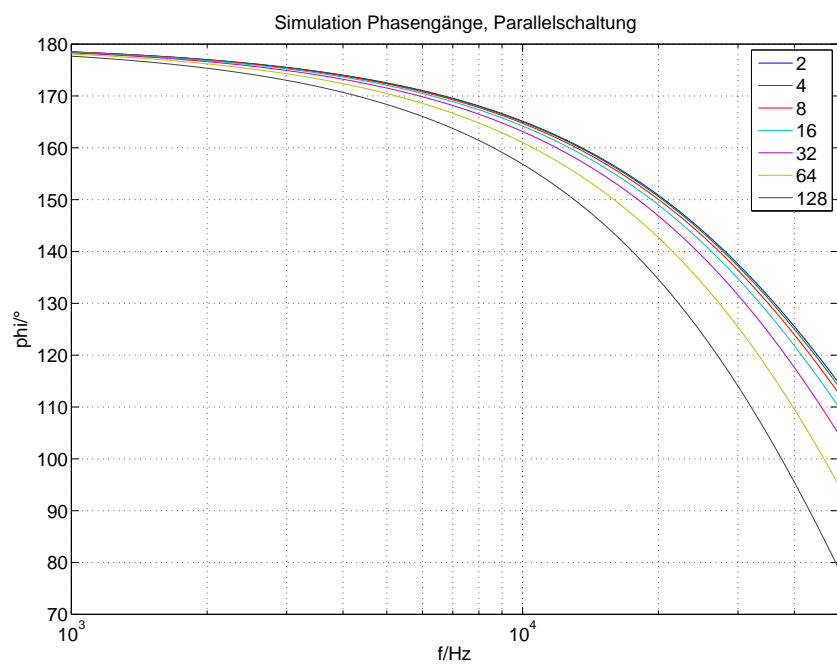


Abbildung A.6: PSpice Simulation Phasengang Parallelschaltung

B Weitere Messungen

B.1 Radmessplatz

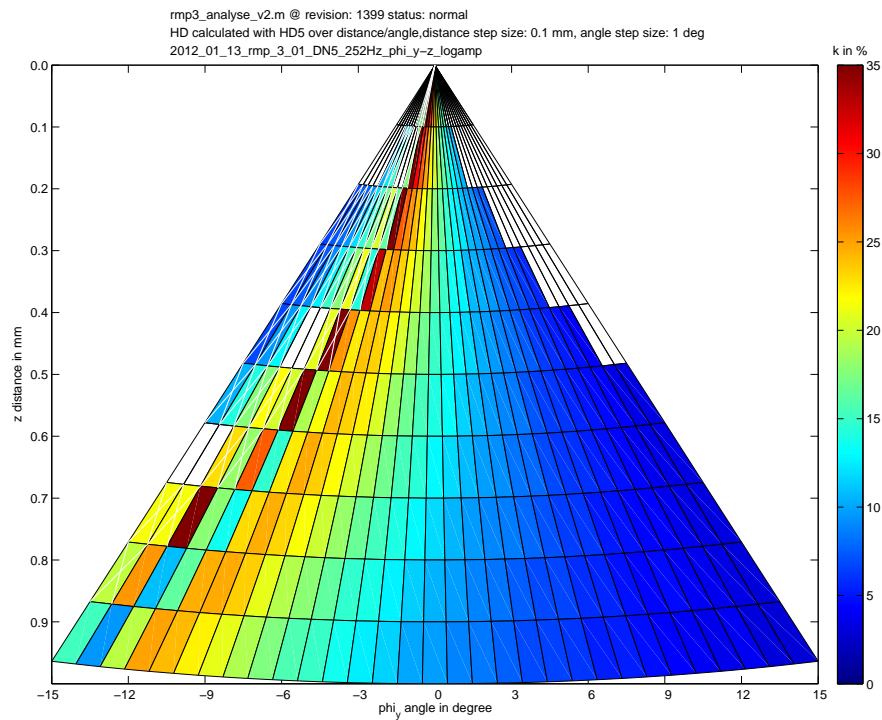


Abbildung B.1: HD5 bei kombinierter logarithmisch und linearen Verstärkerbank

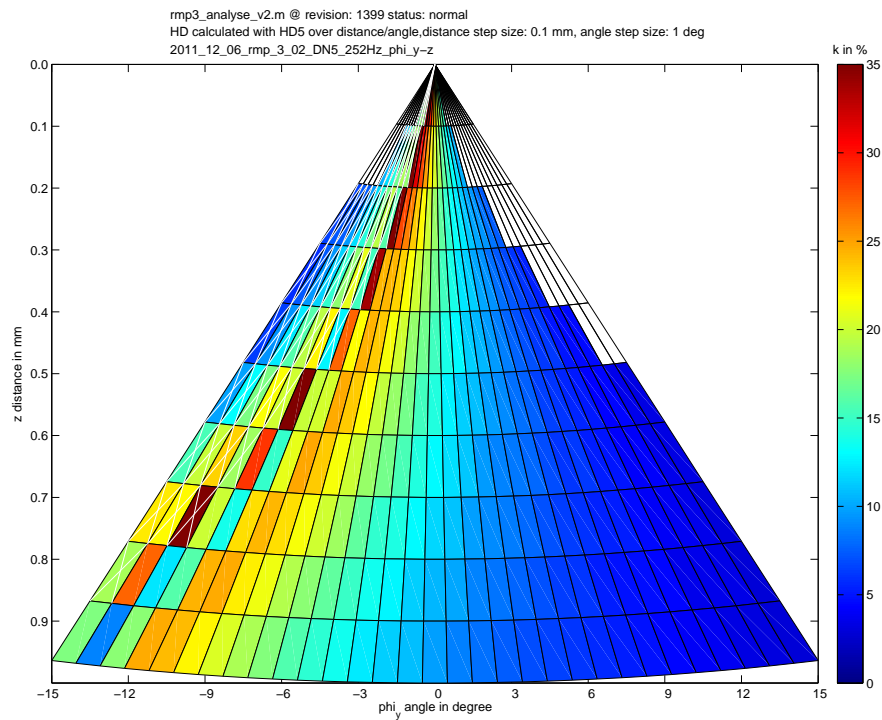


Abbildung B.2: HD5 bei Verstärkerplatine nach [10]

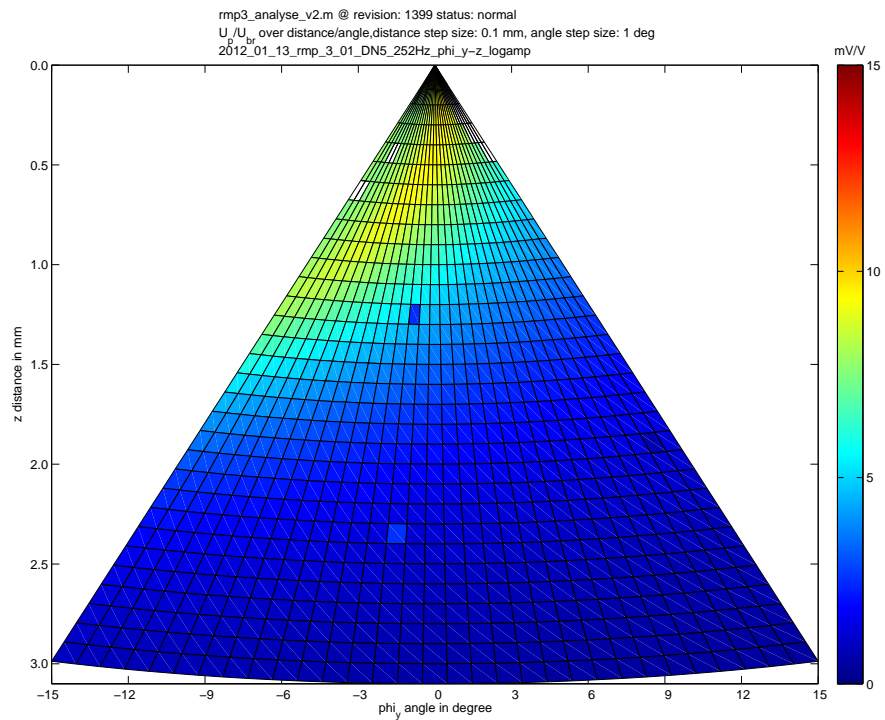


Abbildung B.3: U-Peak bei kombinierter logarithmisch und linearen Verstärkerbank

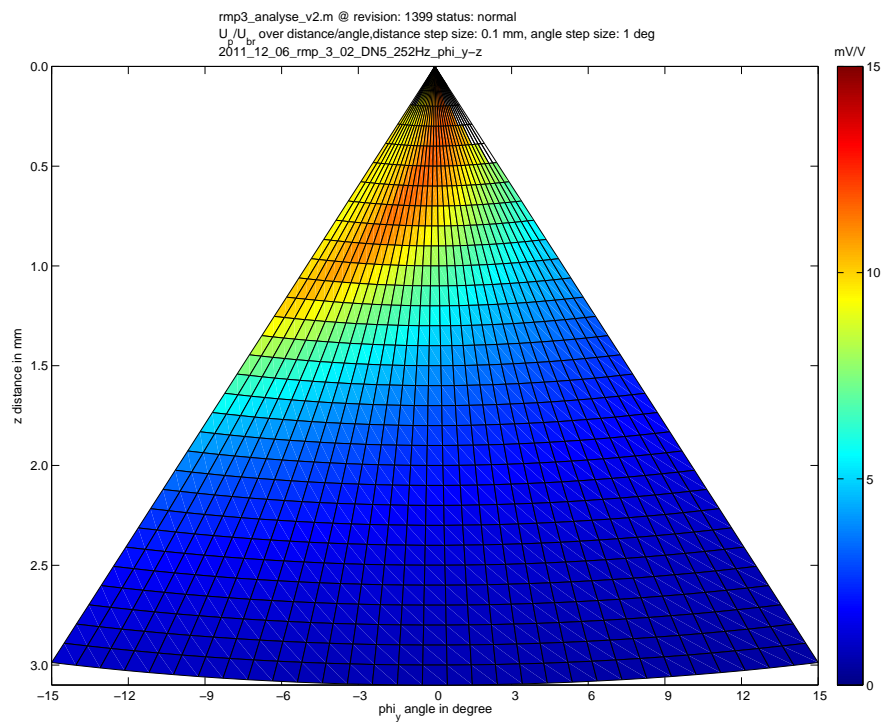


Abbildung B.4: U-Peak bei Verstärkerplatine nach [10]

C Schaltpläne

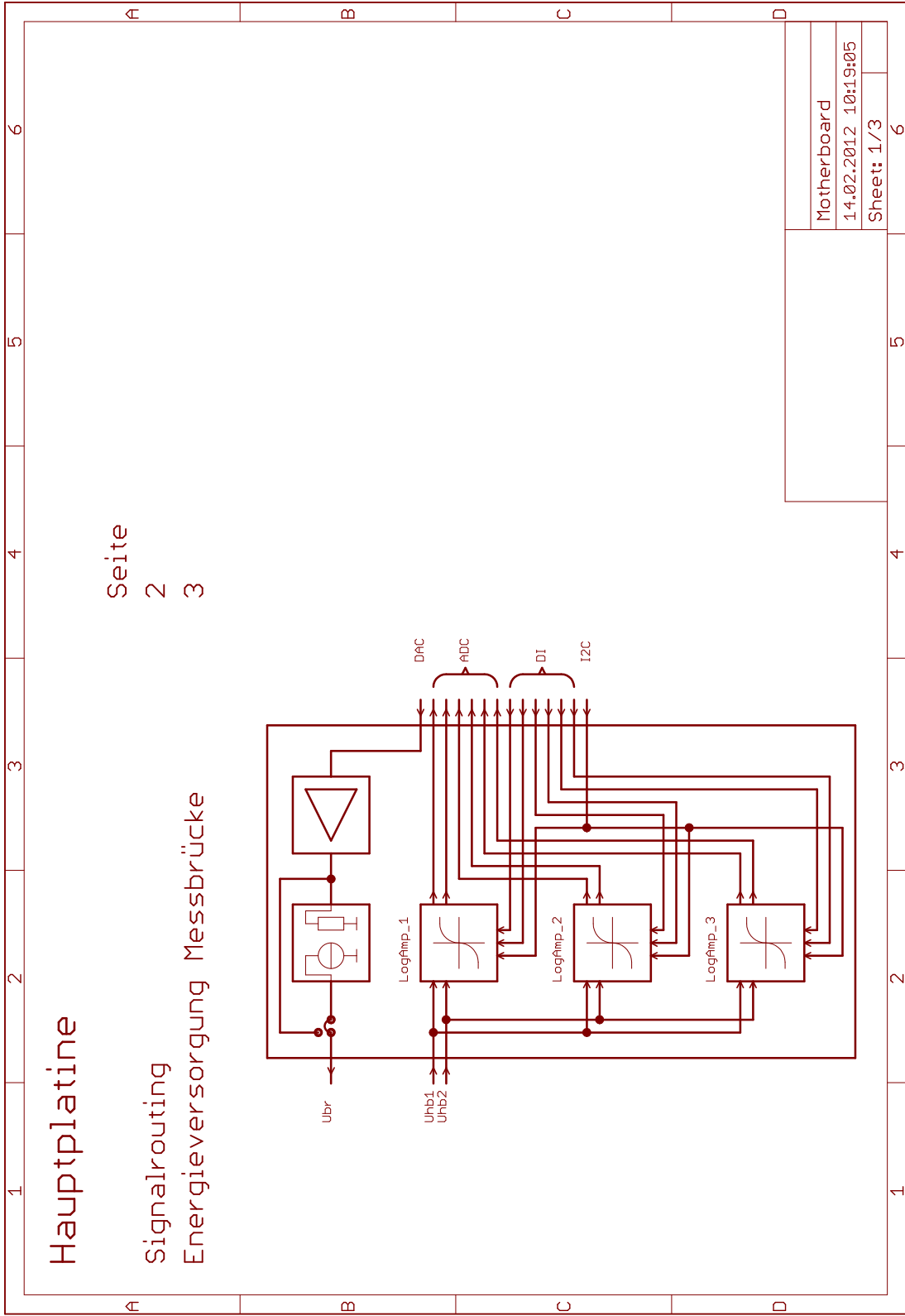
C.1 Pinbelegung Regelcontroller

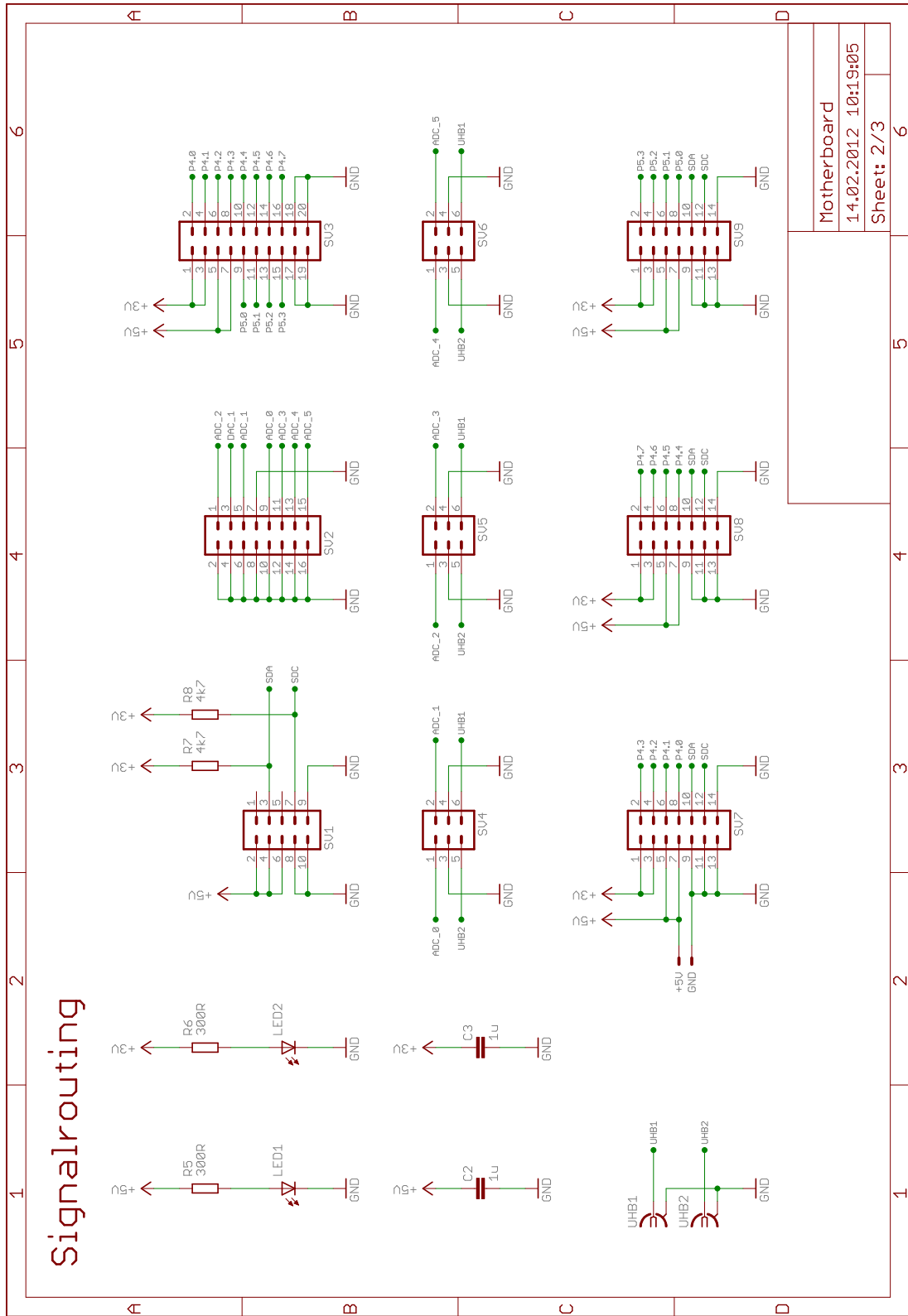
Port	Mögliche Funktion	Funktion	Datenrichtung	Verwendung
1	P1.0 / TACLK	P1.0	input	Jumper 1
	P1.1 / TA0	P1.1	input	Jumper 2
	P1.2 / TA1	P1.2	input	Jumper 3
	P1.3 / TA2	P1.3	input	Jumper 4
	P1.4 / SMCLK	P1.4	output	LED 1
	P1.5 / TA0	P1.5	output	LED 2
	P1.6 / TA1	P1.6	output	LED 3
	P1.7 / TA2	P1.7	output	LED 4
2	P2.0 / ACLK	P2.0	input	SW_3
	P2.1 / TAINCLK	P2.1	input	
	P2.2 / CAOUT/TA0	P2.2	input	COMP_OUT
	P2.3 / CA0/TA1	P2.3	input	LogAmp1
	P2.4 / CA1/TA2	P2.4	input	COMP_IN
	P2.5 / Rosc	P2.5	input	COMM_6
	P2.6 / ADC12CLK/DMAE0	P2.6	input	COMM_7
	P2.7 / TA0	P2.7	input	COMM_8
3	P3.0 / STE0	P3.0	input	
	P3.1 / SIMO0/SDA	SDA	input/output	I2C
	P3.2 / SOMI0	P3.2	input	
	P3.3 / UCCLK0/SCL	SCL	output	I2C
	P3.4 / UTXD0	P3.4	input	COMM_4
	P3.5 / URXD0	P3.5	input	COMM_5
	P3.6 / UTXD1	UTXD1	input	UART-TX
	P3.7 / URXD1	URXD1	input	UART-RX

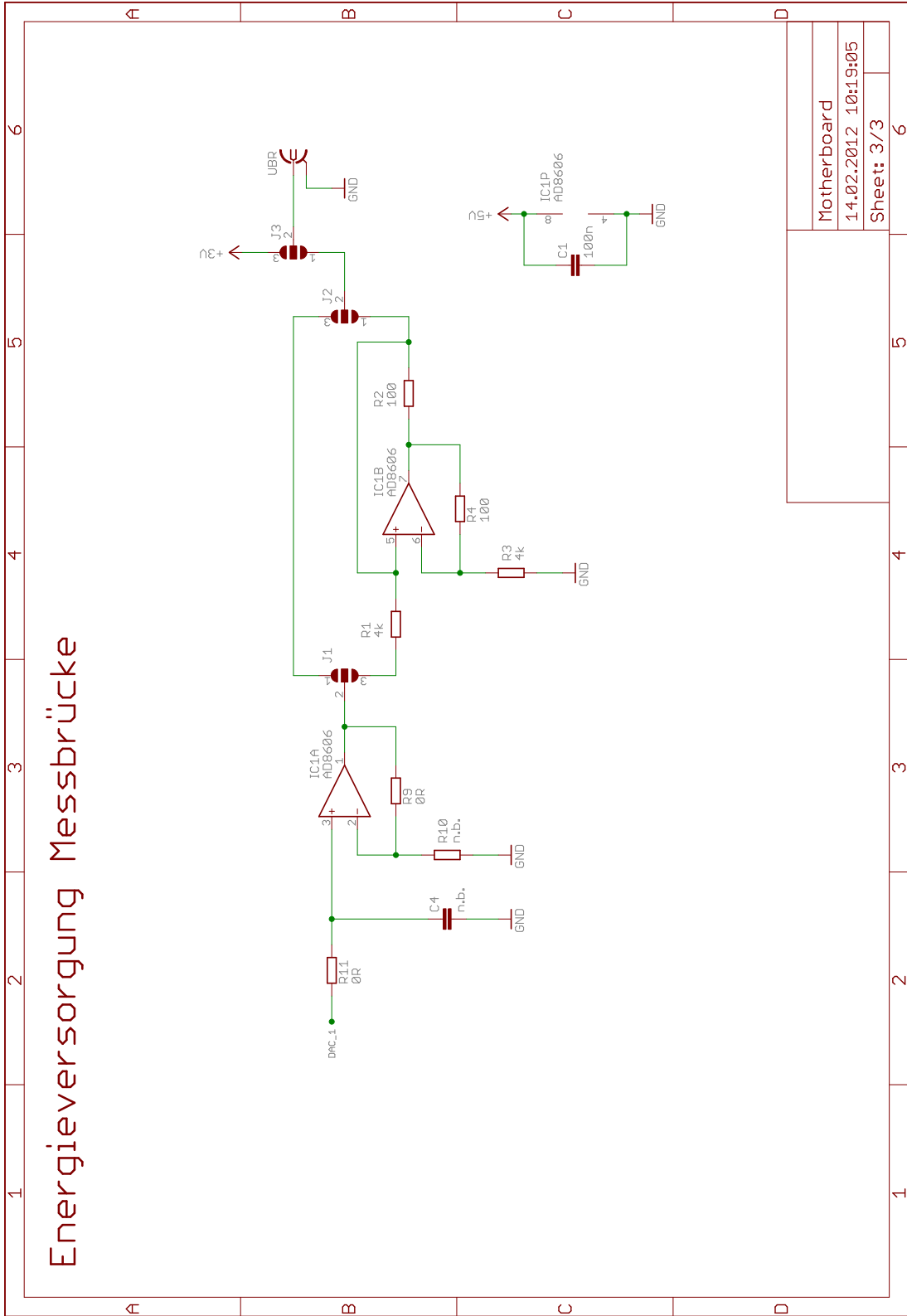
Port	Mögliche Funktion	Funktion	Datenrichtung	Verwendung
4	P4.0 / TB0	P4.0	output	AMP1 / MUX-AD0
	P4.1 / TB1	P4.1	output	AMP1 / MUX-AD1
	P4.2 / TB2	P4.2	output	AMP1 / MUX-AD2
	P4.3 / TB3	P4.3	output	AMP1 / Switch
	P4.4 / TB4	P4.4	output	AMP2 / MUX-AD0
	P4.5 / TB5	P4.5	output	AMP2 / MUX-AD1
	P4.6 / TB6	P4.6	output	AMP2 / MUX-AD2
	P4.7 / TBCLK	P4.7	output	AMP2 / Switch
5	P5.0 / STE1	P5.0	output	AMP3 / MUX-AD0
	P5.1 / SIMO1	P5.1	output	AMP3 / MUX-AD1
	P5.2 / SOMI1	P5.2	output	AMP3 / MUX-AD2
	P5.3 / UCLK1	P5.3	output	AMP3 / Switch
	P5.4 / MCLK	MCLK	input	CPU-Takt
	P5.5 / SMCLK	SMCLK	input	Peripherie-Takt
	P5.6 / ACLK	P5.6	input	
	P5.7 / TBOUTH/SVSOUT	P5.7	input	
6	P6.0 / A0	A0	input	LinAmp1
	P6.1 / A1	A1	input	LogAmp1
	P6.2 / A2	A2	input	LinAmp2
	P6.3 / A3	A3	input	LogAmp2
	P6.4 / A4	A4	input	LinAmp3
	P6.5 / A5	A5	input	LogAmp3
	P6.6 / A6/DAC0	P6.6	output	COMP_IN
	P6.7 / A7/DAC1/SVSIN	DAC1	output	Brückenspeisung

Tabelle C.1: Zuordnung, Pins des Regelcontrollers

C.2 Hauptplatine







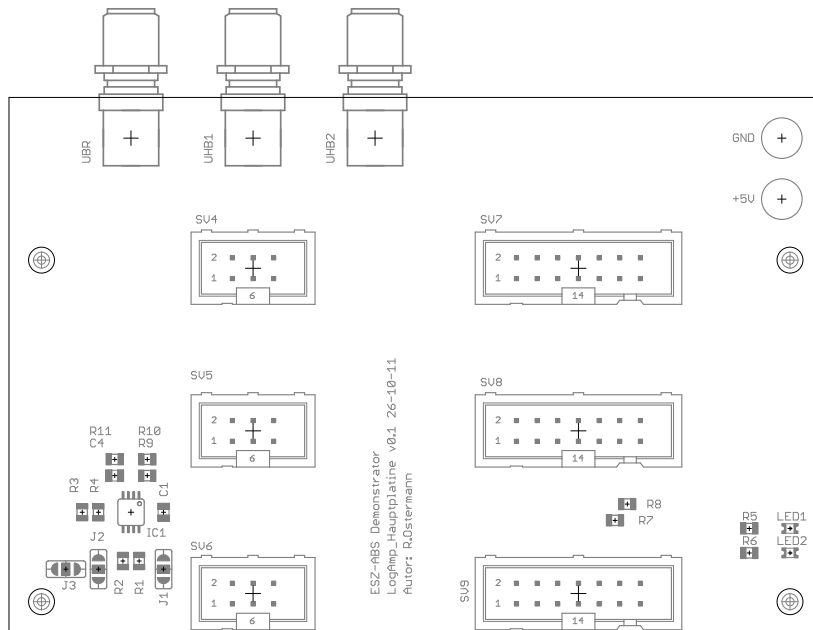


Abbildung C.1: Bestückung Oberseite Hauptplatine

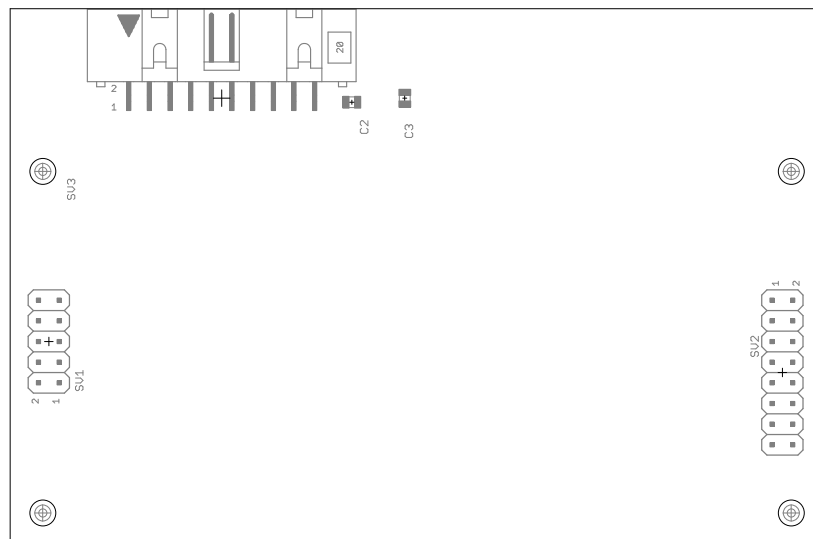
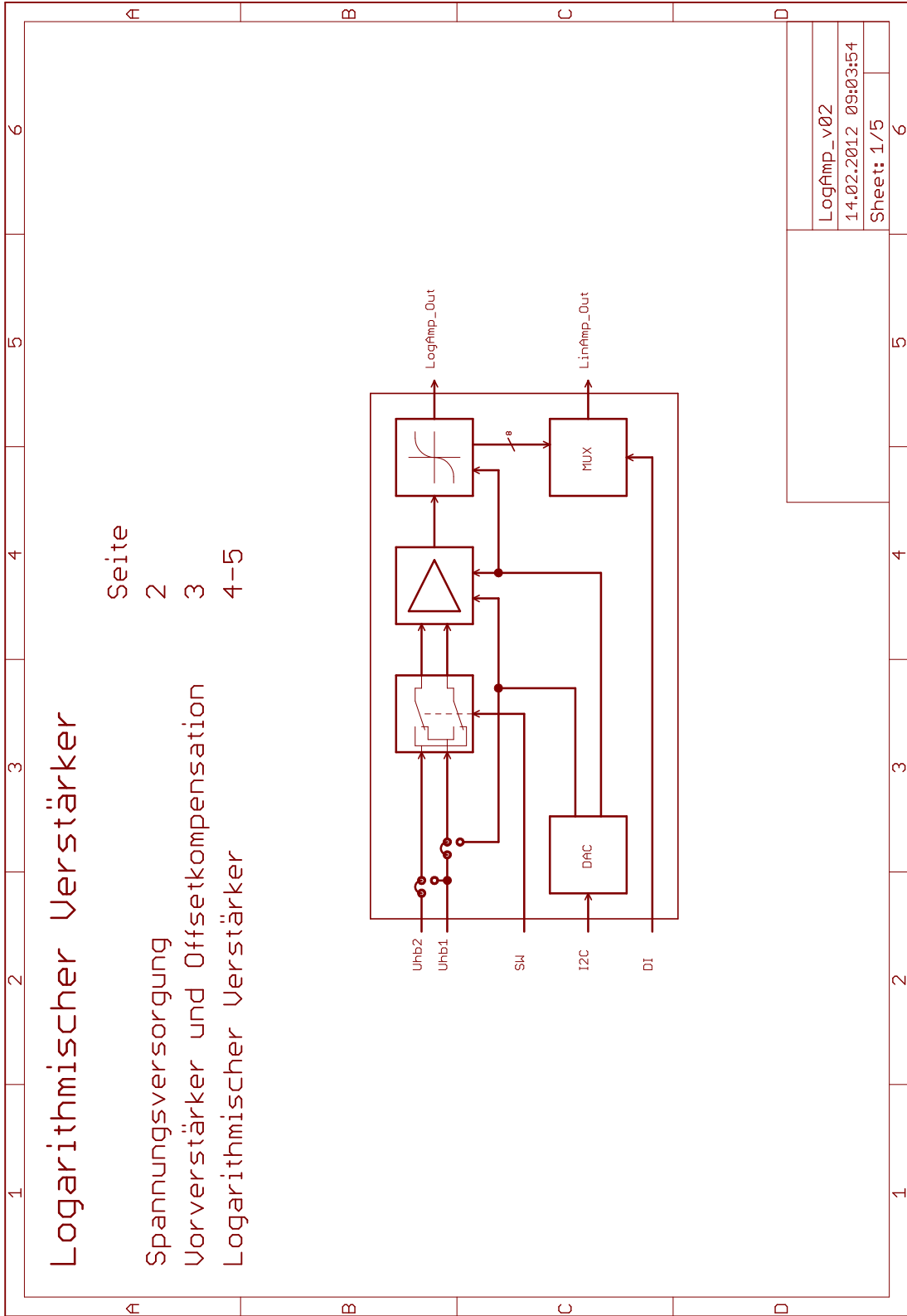
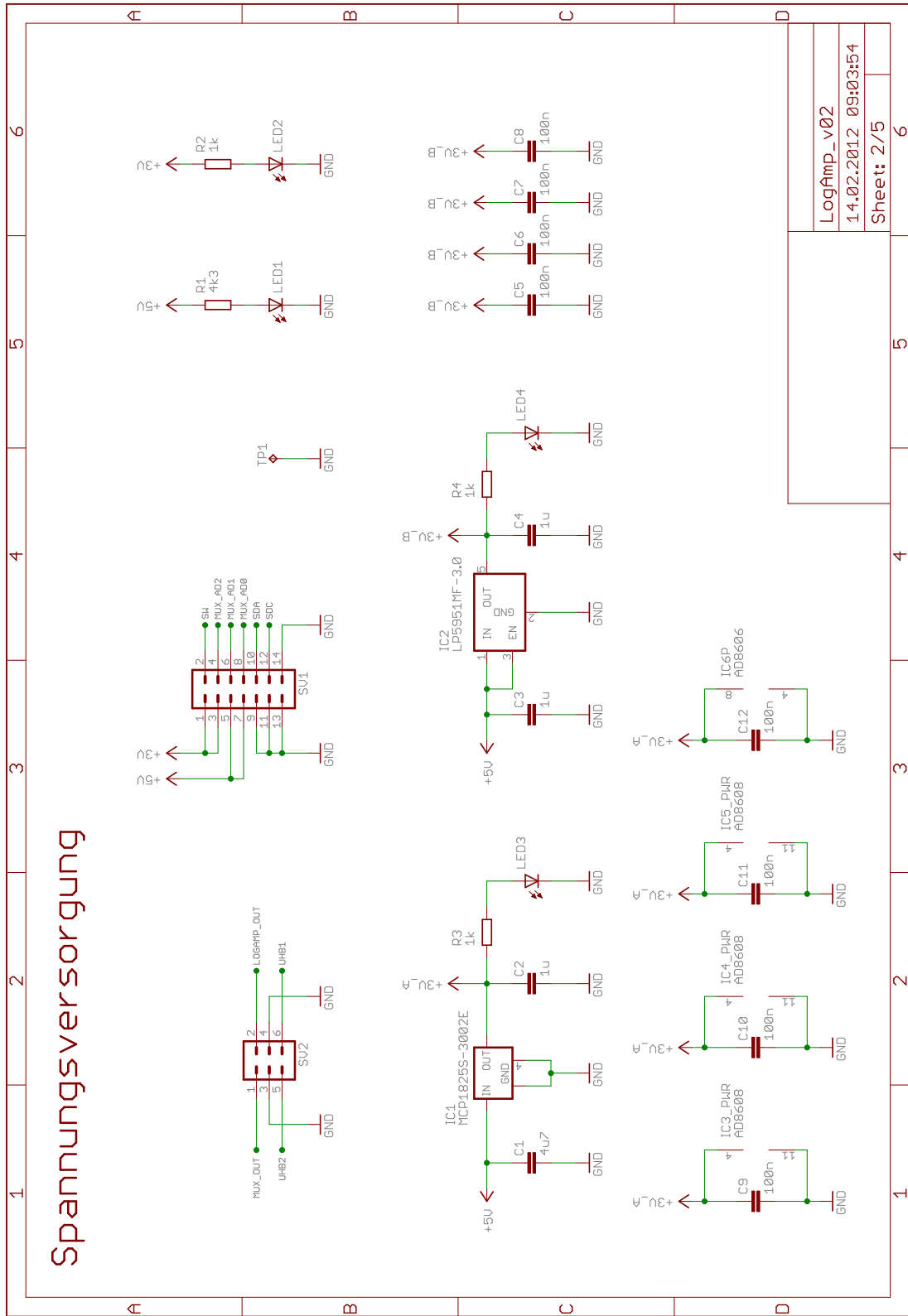
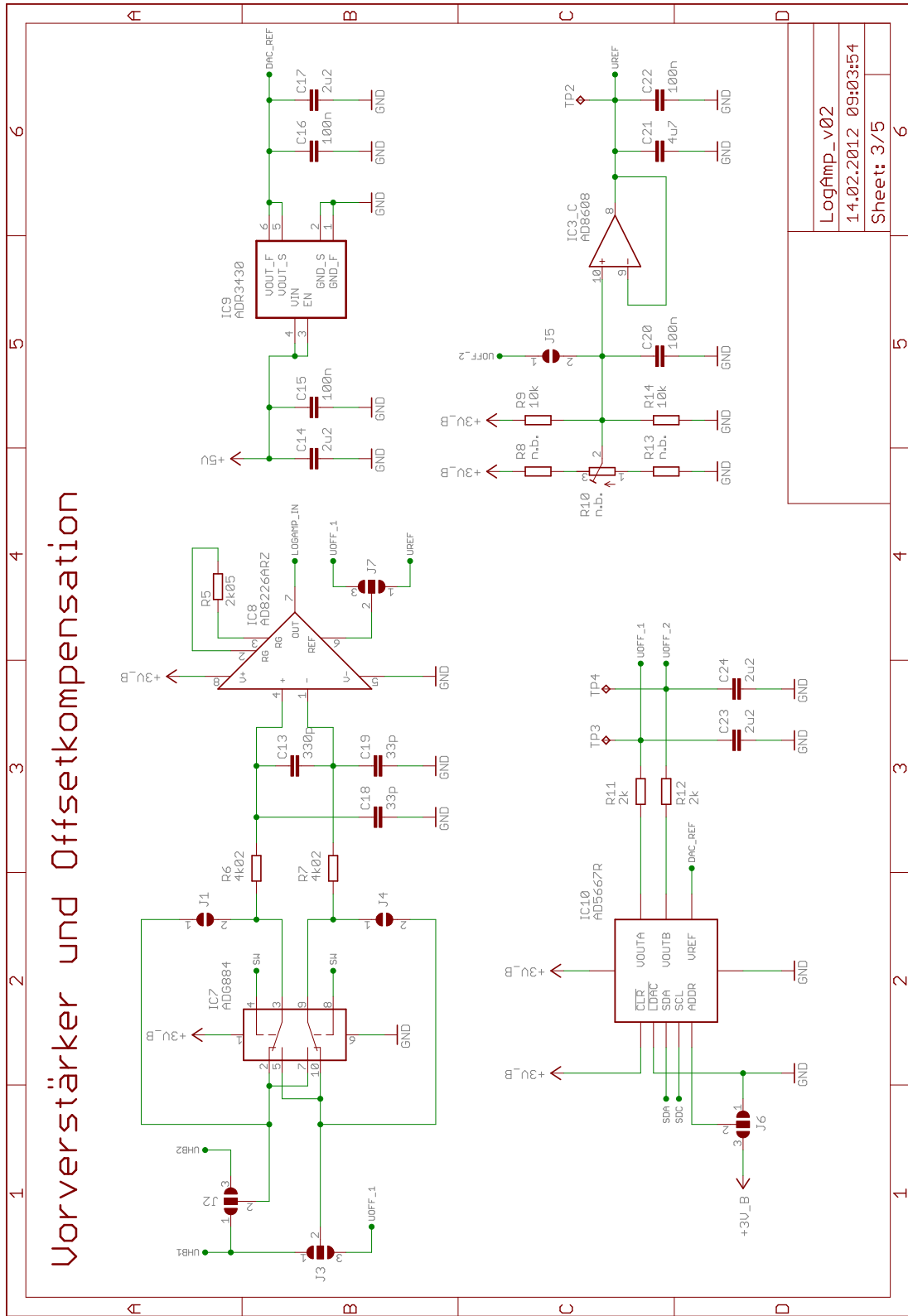


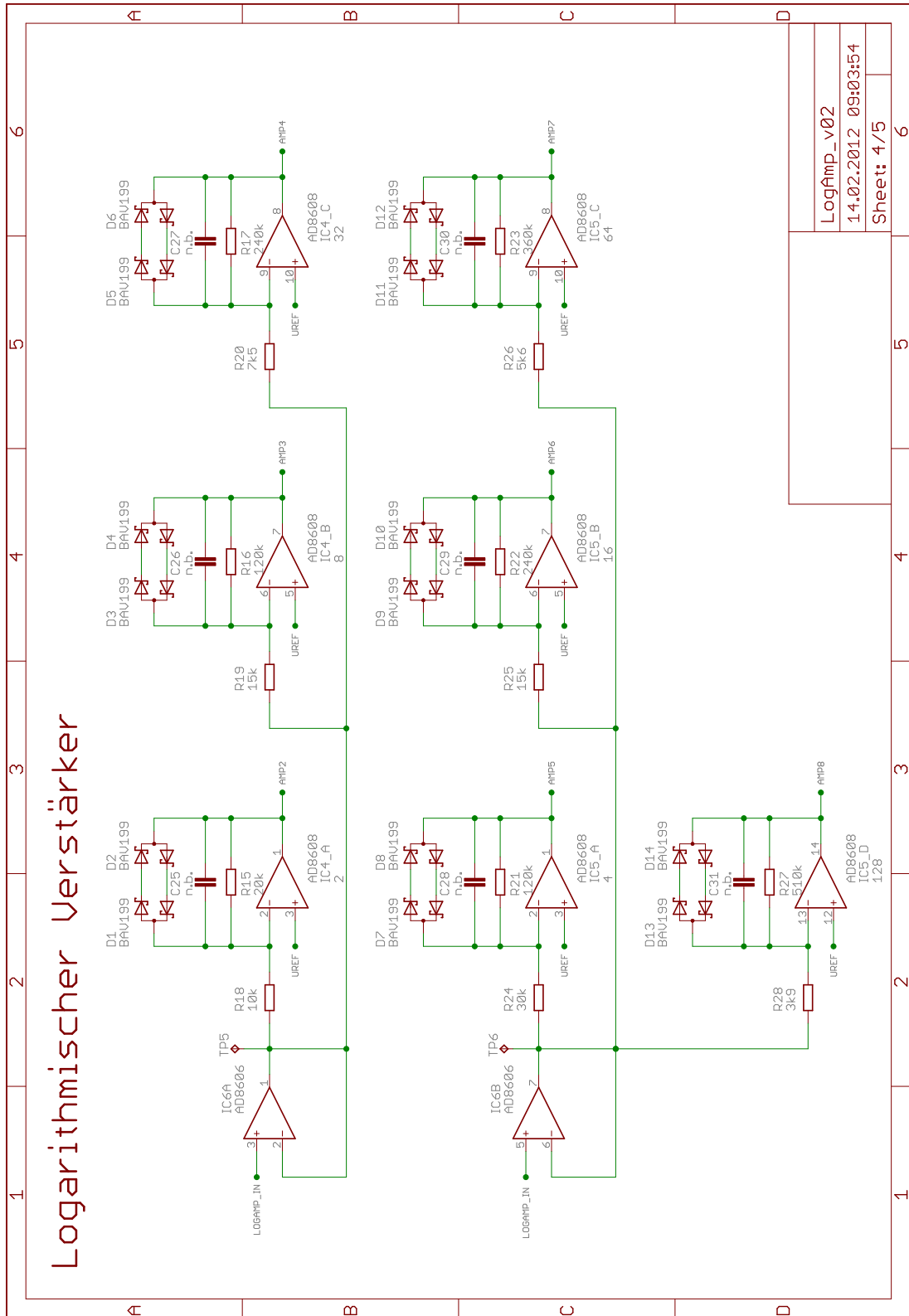
Abbildung C.2: Bestückung Unterseite Hauptplatine

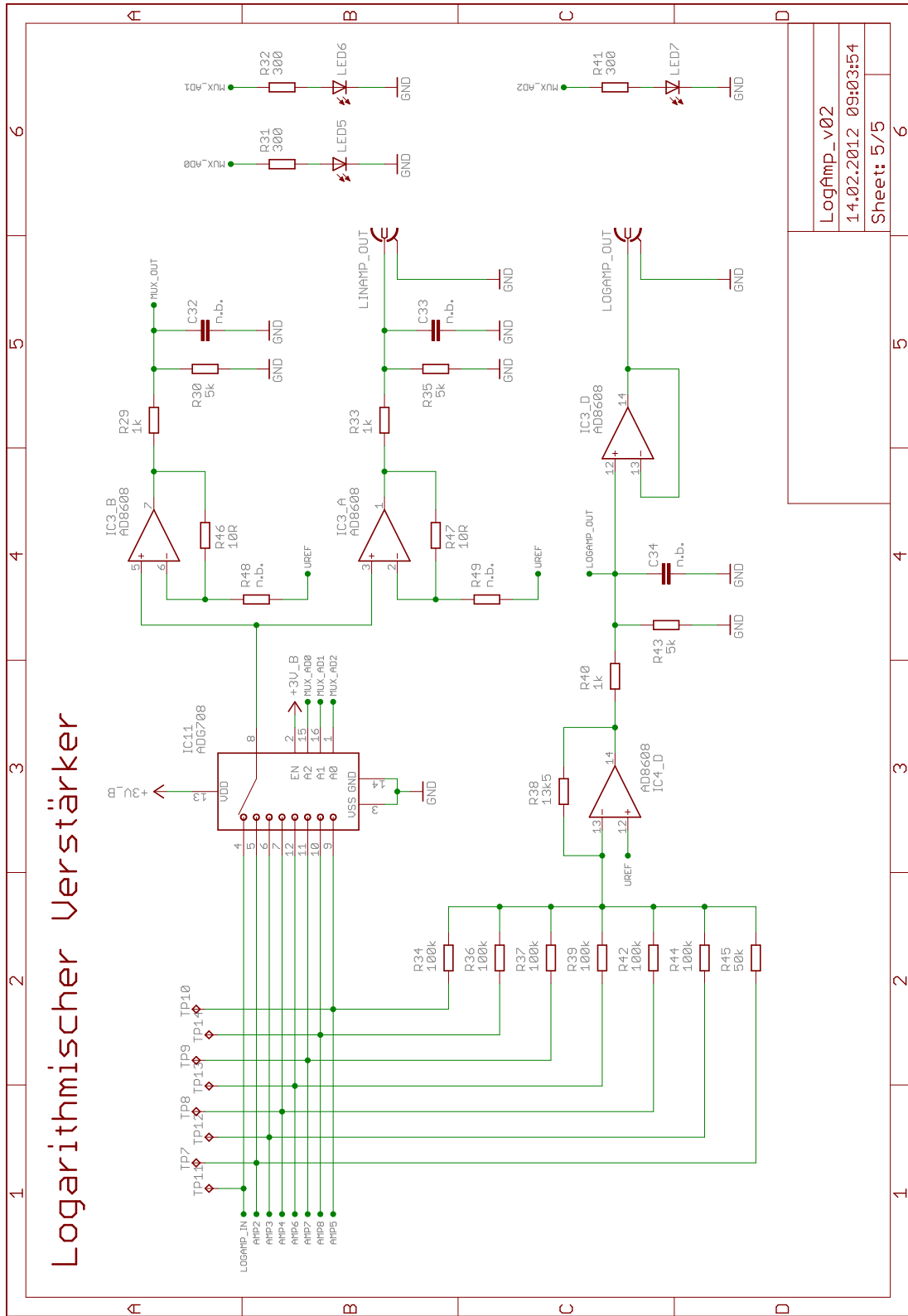
C.3 Parallelschaltung











LogAmp_v02	6
14.02.2012 09:03:54	6
Sheet: 5/5	6

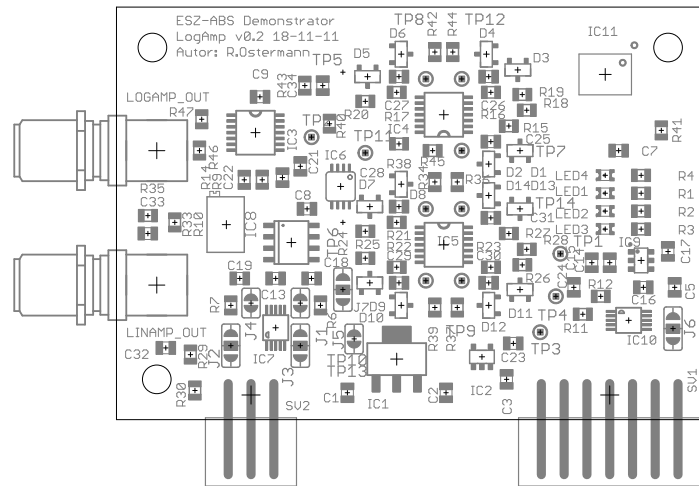


Abbildung C.3: Bestückung Oberseite logarithmisch und lineare Verstärkerbank, Parallelschaltung

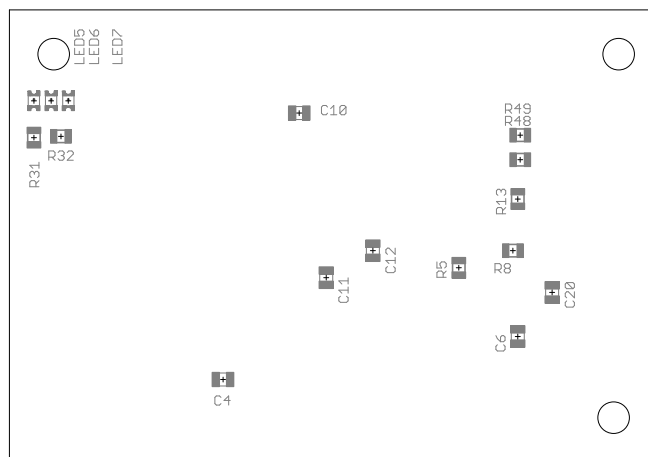
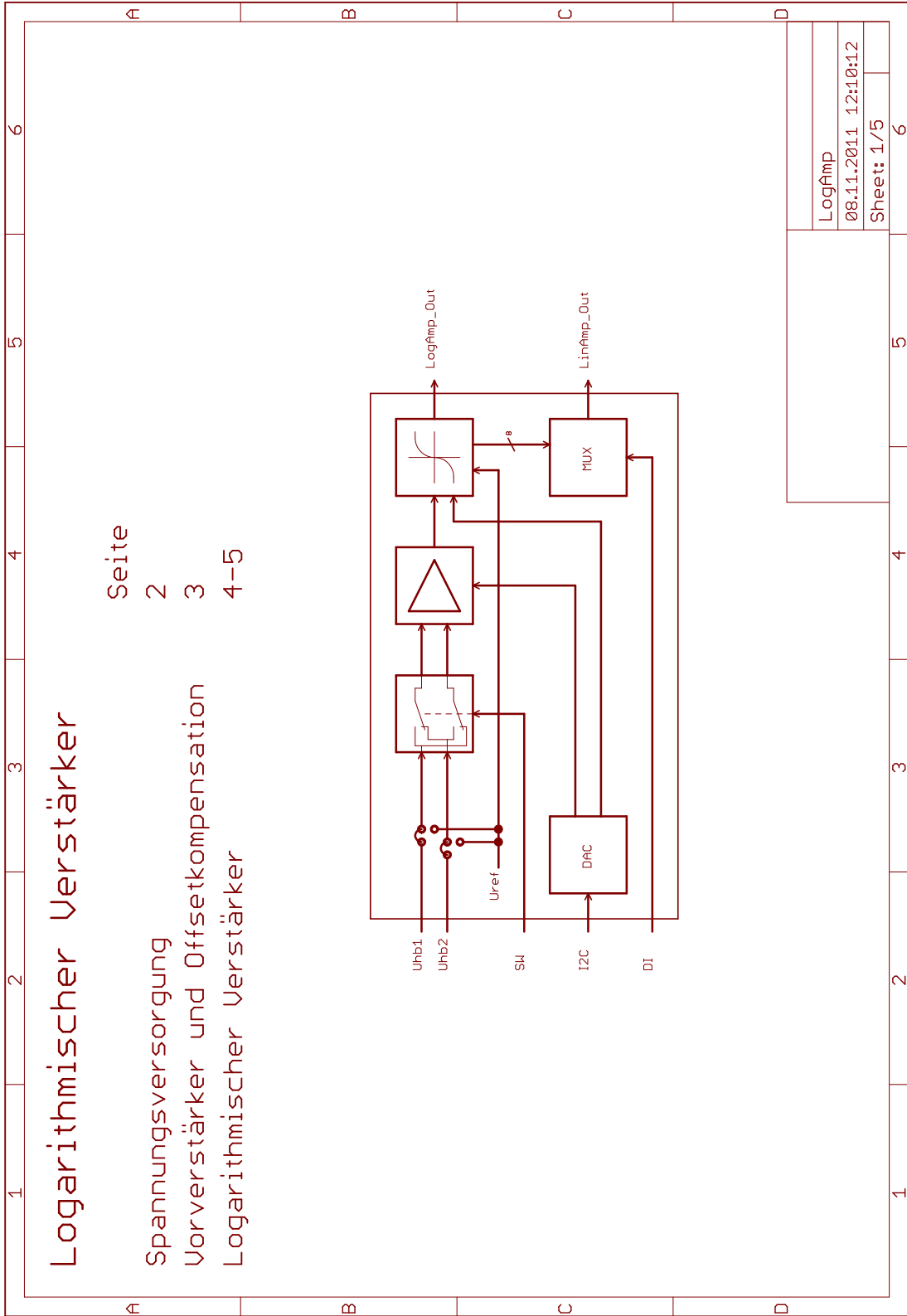
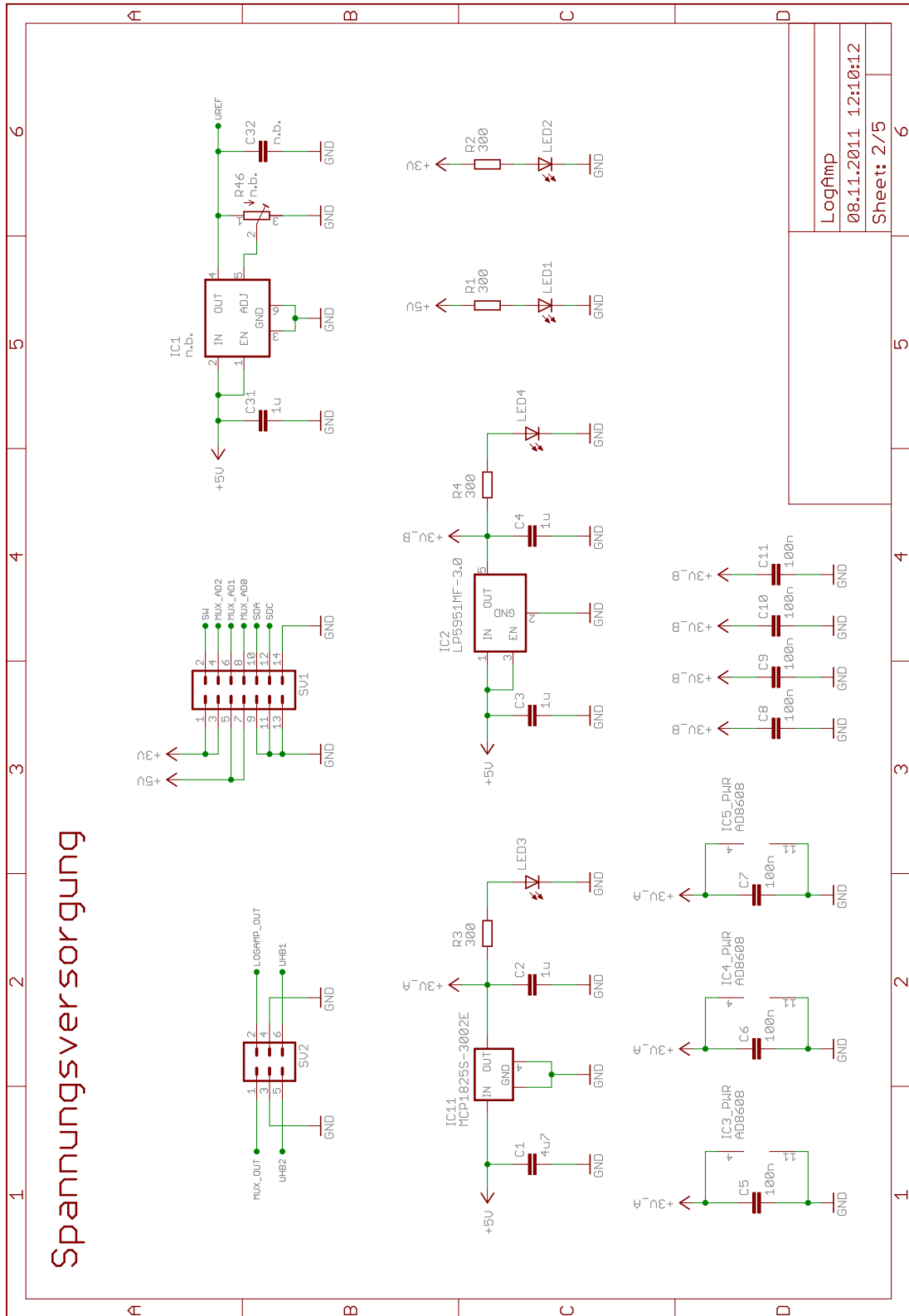


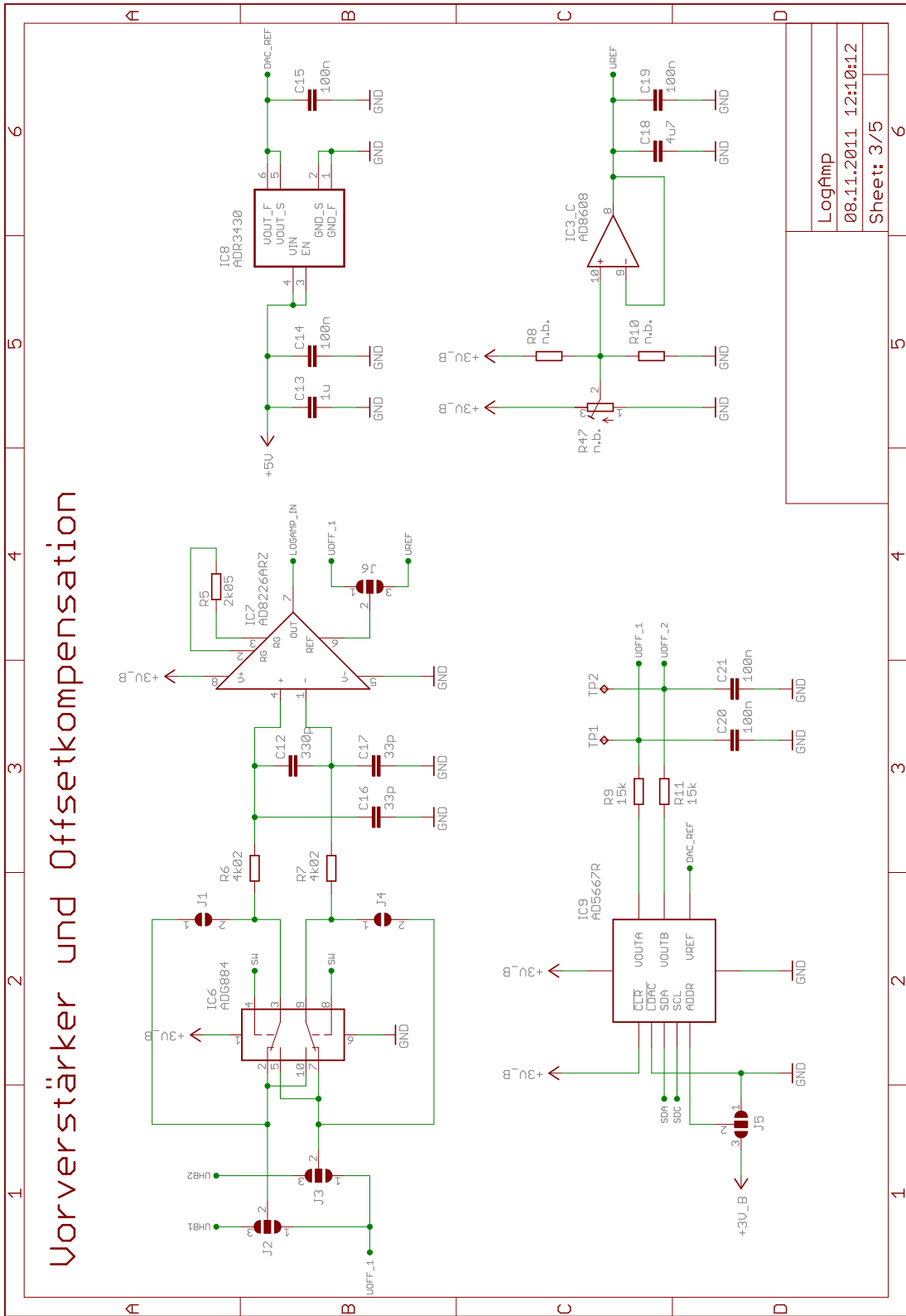
Abbildung C.4: Bestückung Unterseite logarithmisch und lineare Verstärkerbank, Parallelschaltung

C.4 Reihenschaltung

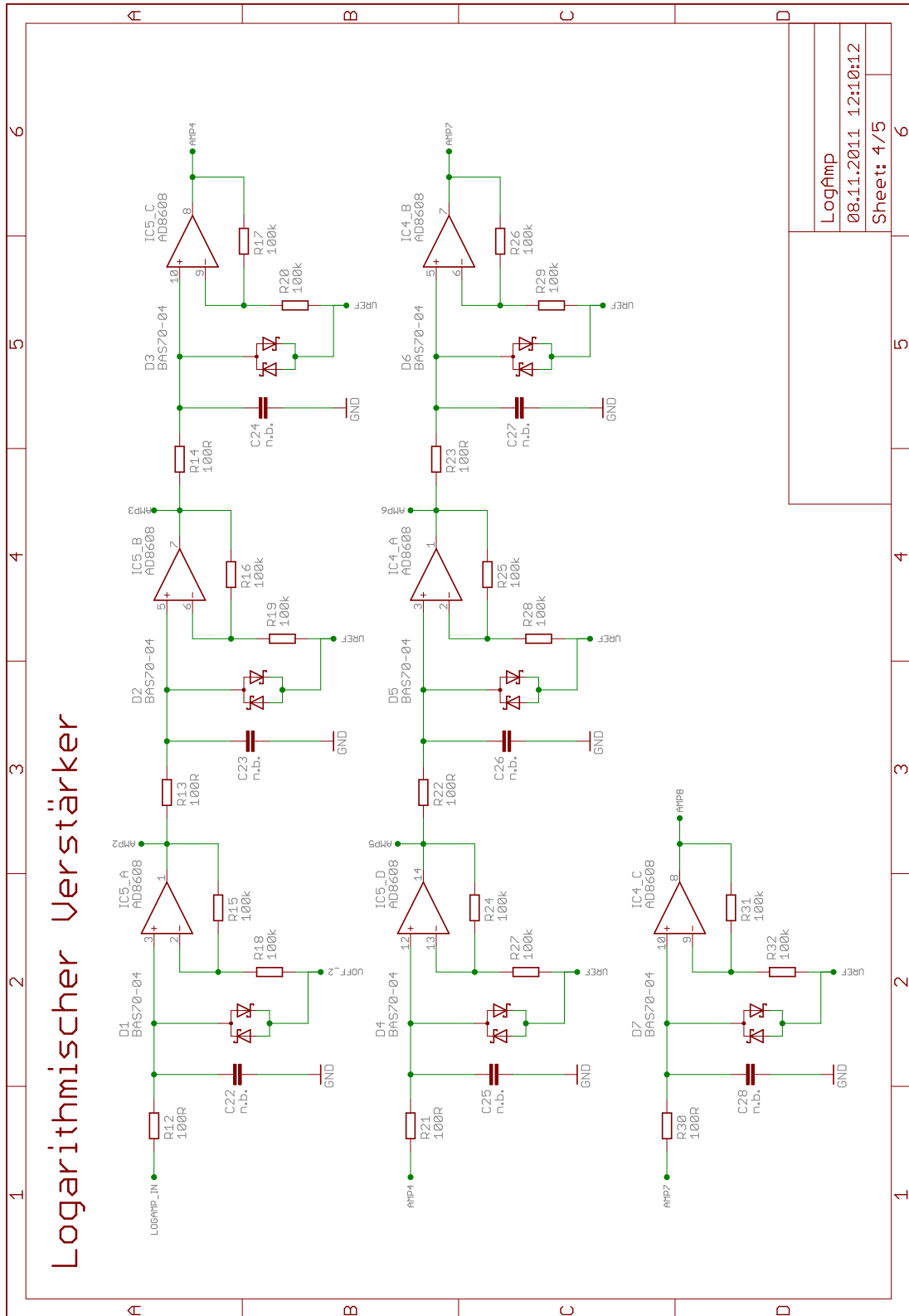


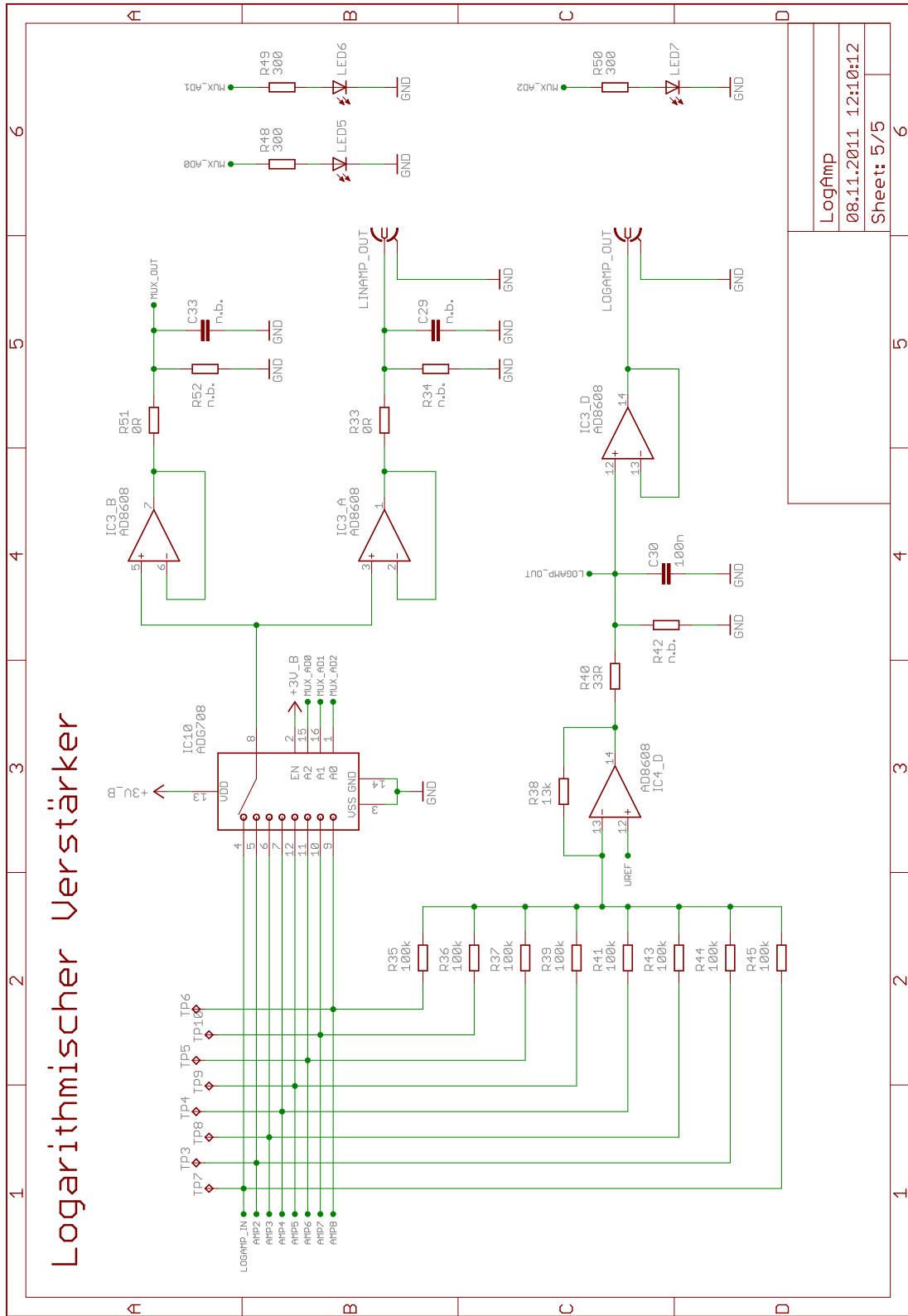


Vorverstärker und Offsetkompensation



LogAmp	
08.11.2011 12:10:12	
Sheet: 3/5	6





LogAmp	6
08.11.2011 12:10:12	6
Sheet: 5/5	6

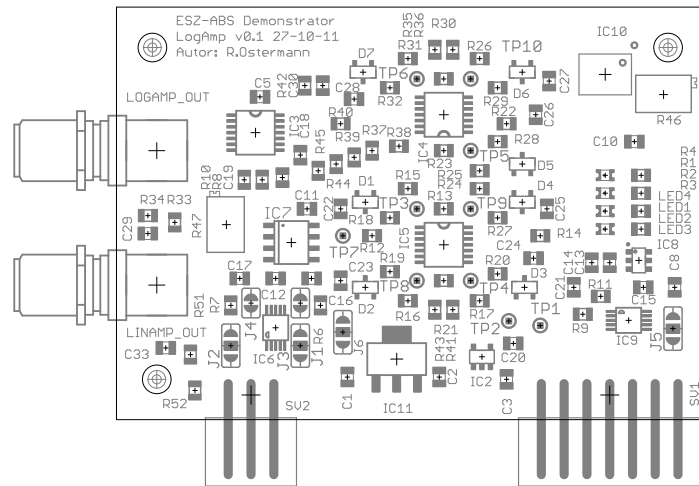


Abbildung C.5: Bestückung Oberseite logarithmisch und lineare Verstärkerbank, Reihenschaltung

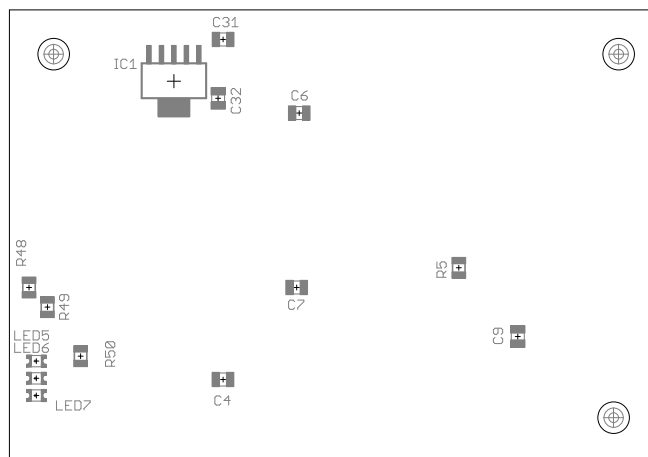


Abbildung C.6: Bestückung Unterseite logarithmisch und lineare Verstärkerbank, Reihenschaltung

D Quellcode

D.1 Regelcontroller

In der Tabelle [D.1](#) sind die Quelldateien mit den enthaltenden Funktionen aufgelistet.

Datei	Funktion	Seite
main.c	main()	108
main.h	-	110
global.h	-	112
init.c	init()	116
calc_other.c	check_gain() calc_offset()	117
cleanup.c	cleanup()	118
isr_adc12.c	isr_adc12()	119
isr_comp_a.c	isr_comp_a()	124
isr_timer_a1.c	isr_timer_a1()	126
send.c	set_compensation_state() send_usart()	127
set_gain.c	set_gain()	129
i2c.h	-	130
i2c.c	i2c_init() i2c_send() i2c_isr()	133
ad5667.h	-	134
ad5667.c	ad5667_init() ad5667_set()	135
delog_table.h	-	142
offset_sin.h	-	143

Tabelle D.1: Zuordnung von Quelldateien und Funktionen des Regelcontrollers

```
1  /*****  
2  /* Autor:      Martin Stahl                               */  
3  /* Datum:     16.12.2009                                 */  
4  /* Hardware:  dm_off_amp_ctrl v0.1                      */  
5  /* Controller: MSP430f1611 => "Regelcontroller"         */  
6  /* Toolchain: MSPGCC v.20060502, Eclipse ganymede-SR2, USBExpress v1.021 */  
7  /*  
8  /* Datei:     main.c                                    */  
9  /* Beschreibung: Aufruf der Initialisierung des Systems */  
10 /*           In der Endlosschleife erfolgt lediglich die Ausgabe von Daten */  
11 /*           auf der Display-Platine => Niedrigste Priorität */  
12 /*           Alle übrigen Funktionen werden interruptgesteuert ausgeführt */  
13 /*  
14 /* Geändert von: Robert Ostermann                       */  
15 /* Datum:      01.09.2011 - 24.02.2012                  */  
16 /* Änderungen: Anpassung an kombinierte logarithmisch und lineare Verstärkerbank */  
17 /*           Ausgabe auf der Display-Platine entfernt, da Ports für */  
18 /*           Multiplexer verwendet werden                */  
19 /*  
20 /* Funktion:   ok                                       */  
21 /*  
22  *****/  
23  
24 #define EXTERN  
25  
26 #include "main.h"  
27 #include "global.h"  
28 #include "i2c.h"  
29  
30 /*****  
31 /*           Hauptschleife                               */  
32  *****/  
33 int main(void)  
34 {  
35     init(); // Initialisierung des Systems  
36  
37     while(1)  
38     {  
39  
40     } // Ende while(TRUE)  
41 } // Ende main()
```

```

1  /*****
2  /* Autor:      Martin Stahl
3  /* Datum:     16.12.2009
4  /* Hardware:  dm_off_amp_ctrl v0.1
5  /* Controller: MSP430f1611 => "Regelcontroller"
6  /* Toolchain: MSPGCC v.20060502, Eclipse ganymede-SR2, USBExpress v1.021
7  /*
8  /* Datei:     main.h
9  /* Beschreibung: Header-File - enthält alle Definitionen und Prototypen
10 /*
11 /* Geändert von: Robert Ostermann
12 /* Datum:     01.09.2011 - 24.02.2012
13 /* Änderungen: Anpassung an kombinierte logarithmisch und lineare Verstärkerbank
14 /*             Offset Anfangswert für externe DAC hinzugefügt
15 /*             define für DVGA und Displayplatine entfernt
16 /*
17 /* Funktion:   ok
18 /*
19 /*****
20
21 #ifndef MAIN_H_
22 #define MAIN_H_
23
24     #include <msp430x16x.h>
25     #include <signal.h>
26
27
28 /***** Allgemeine Definitionen *****/
29 #define FALSE 0
30 #define TRUE  !FALSE
31
32
33 /***** Spezielle Definitionen *****/
34
35     #define __OFFSET_CAL           // definieren wenn Offset Kompensation
36     #define __INIT_FALL_BACK      // Rücksprung von Active --> Init_0Hz
37
38 /***** Makros für Offsetkompensation *****/
39
40     // Regelung im Active-Mode wird zugelassen
41     #define __ACTIVE_COMPENSATION
42     // 2^x Perioden fuer die Mittelwertbildung des Duty-Cycles
43     #define PERIODES_FOR_MEAN_DUTY 5 //7
44     //Toleranzfenster für die Duty-Cycle-Korrektur
45     #define DUTY_TOLERANCE 4
46     //Periodenanzahl abhängig vom Verstärkungsfaktor
47     // #define __MEAN_DUTY_DEPEND_ON_GAIN
48     // Anzahl an durchzufuehrenden Offset-Kompensationen im Zustand Initial_1Hz
49     #define COMPENSATIONS 6
50
51     #define GAIN_START 7 // Gain in Exponent von 2
52     //Schwellwert-Differenz zum Offset => Mindestverstärkung (300mV)
53     #define LEVEL_GMIN 600//492
54     //Schwellwert-Differenz zum Offset => maximale Verstärkung (940mV)
55     #define LEVEL_GMAX 700//1542//+200
56     //Anzahl der Samples, die die Schwellwerte überschreiten müssen
57     #define MIN_SAMPLES_PASSED 2
58
59 /***** Timer-Definitionen *****/
60
61     #define TIMER_A_PER 13488 // Periodendauer Timer A in ns
62     // = T_SMCLK * 8 in ns
63     #define TCCR_TEST 30000 // --> T_SMCLK = 1686ns (div1)
64
65     #define SAMPLETIME 400 // 4,9MHz/800=12,250kHz
66     #define TIMER_B_PER_F 169247 // Periodendauer Timer B in ns * 10
67     #define TIMER_B_PER 1693 // Periodendauer Timer B in ns
68     // Festlegung des Prescalers Timer B7:
69 /***** DAC-Definitionen *****/
70
71     #define OFFSET_START 2048 // Offset, Anfangswert (1.25V) 2048 RO
72     #define LEVEL_SX 80 // Schwellwert-Differenz zum Offset (0.1V) 164
73     #define OFFSET_EXT_START 32768 // Offset, Anfangswert (1.5V)
74
75     #define MIN_TIME_S1 4 // Minimale Zeit am Punkt S1
76     #define MIN_TIME_S2 2 // Minimale Zeit am Punkt S2
77
78 /***** Pin-Definitionen *****/
79     #define PIN0 0x01

```

```
80 | #define PIN1      0x02
81 | #define PIN2      0x04
82 | #define PIN3      0x08
83 | #define PIN4      0x10
84 | #define PIN5      0x20
85 | #define PIN6      0x40
86 | #define PIN7      0x80
87 |
88 | #define PORT_LED  P1OUT
89 | #define LED1      PIN4
90 | #define LED2      PIN5
91 | #define LED3      PIN6
92 | #define LED4      PIN7
93 |
94 | #define COMM_4    PIN4
95 | #define COMM_5    PIN5
96 | #define COMM_6    PIN5
97 | #define COMM_7    PIN6
98 | #define COMM_8    PIN7
99 |
100 | /***** Zustandsdefinitionen *****/
101 |
102 |     typedef enum { // Systemzustände Sensor
103 |         Initial_0Hz,
104 |         Initial_1Hz,
105 |         Active
106 |     } states;
107 |
108 |     typedef enum { // Systemzustände Periodenerkennung
109 |         Search_S1,
110 |         Search_S1_Calc,
111 |         Search_S2,
112 |         Search_S2_Pre,
113 |         Search_S1_Check_Gain,
114 |         Search_S2_Check_Gain
115 |     } states_per;
116 |
117 | /***** Funktions-Prototypen *****/
118 |
119 |     void init(void);
120 |     void set_7seg(uint16_t frequenz, uint8_t thd, uint8_t status);
121 |     uint8_t send_usart(uint8_t value);
122 |     void set_gain(void);
123 |     void cleanup(void);
124 |     void calc_offset(void);
125 |     void check_gain(void);
126 |     void set_compensation_state(uint8_t state);
127 |     uint16_t calc_crc16(uint16_t crc, uint8_t a);
128 |     void send_usart_data();
129 |
130 | #endif
```

```

1  /*****
2  /* Autor:      Martin Stahl
3  /* Datum:     22.12.2009
4  /* Hardware:  dm_off_amp_ctrl v0.1
5  /* Controller: MSP430f1611 => "Regelcontroller"
6  /* Toolchain: MSPGCC v.20060502, Eclipse ganymede-SR2, USBExpress v1.021
7  /*
8  /* Datei:     global.h
9  /* Beschreibung: Header-File - enthält globale Variablen
10 /*
11 /*            Namensgebung basiert auf Diplomarbeit NJ
12 /*
13 /* Geändert von: Robert Ostermann
14 /* Datum:      01.09.2011 - 24.02.2012
15 /* Änderungen: Anpassung an kombinierte logarithmisch und lineare Verstärkerbank
16 /*            Variablen für Anzahl Überschreitungen der Schwellen entfernt
17 /*            Variablen für Amplituden eingefügt
18 /*
19 /* Funktion:   ok
20 /*
21 /*****
22 #ifndef GLOBAL_H_
23 #define GLOBAL_H_
24
25 #ifndef EXTERN
26 #define EXTERN extern
27 #endif
28
29 struct {
30     uint32_t duty;           // Tastverhältnis
31     uint32_t offset;        // Ausgangswert für DAC12_1
32     int16_t offset_faktor;  // Faktor für Offset-Änderung
33     uint8_t compensations;  // Kompensationen der Offset Kompensation
34     uint8_t gain;           // Verstärkung des 2.TIA
35     uint8_t lgain;
36     uint32_t duty_sum;      // Summe von x Duty-Cycles zur Mittelwertbildung
37     uint16_t duty_count;    // Zähler für aufsummierte Duty_Cycles
38 } EXTERN volatile g_sig;
39
40 struct {                    // ISR Comperator:
41     uint16_t tp;            // halbe Periode
42     uint16_t tt;            // Periodendauer
43     uint16_t frequenz;      // Frequenz in Hz
44     uint16_t sample_inst;   // Zeitpunkt zum Samplen
45 } EXTERN volatile g_time;
46
47 struct {                    // ADC:
48     uint16_t u_max_offset;  // Maximum für Offset
49     uint16_t u_min_offset;  // Minimum für Offset
50     uint16_t u_max_gain;    // Maximum für Verstärkung
51     uint16_t u_min_gain;    // Minimum für Verstärkung
52     uint32_t u_max_middle;  // Maximum für Offset Mittelwert
53     uint32_t u_min_middle;  // Minimum für Offset Mittelwert
54     uint16_t min_cnt;
55     uint16_t max_cnt;
56     uint16_t u_diff;        // Differenz Signal
57     int16_t u_diff_b;       // Differenz Signal ohne Offset
58     uint16_t u_hb1;         // Halbbrücken Signal 1
59     uint16_t u_hb2;         // Halbbrücken Signal 2
60     uint16_t u_sum1;        // Summe HB1 + HB2
61 } EXTERN volatile g_adc;
62
63 struct {                    // ISR USART1:
64     uint8_t send_value;     // Daten die gesendet werden
65     uint32_t data_value;    // Daten aus Variable
66     uint16_t data_length;   // Anzahl an Elementen der jeweiligen Daten
67     uint16_t factor;        // Universeller Faktor
68     uint8_t data_to_send;   // Index für zu sendene Variable
69     uint8_t select;         // Selection eines Worts einer Variable
70     uint16_t i;             // Index für Daten der Variable
71     uint8_t frame_pos;      // Position in der Übertragung
72     uint8_t send_all;       // Flag
73     uint8_t send_part;
74     uint16_t crc;           // current crc value
75 } EXTERN volatile g_usart;
76
77 /***** Zustände des Systems *****/
78 EXTERN volatile states sensor_state;
79 EXTERN volatile states_per state_periode;

```

```
80 |  
81 |     struct{  
82 |         unsigned int middle;  
83 |         unsigned int cur;  
84 |         unsigned long sum;  
85 |         unsigned int cnt;  
86 |     } EXTERN volatile ad;  
87 |  
88 | #endif
```



```

1  /*****
2  /* Autor:      Martin Stahl
3  /* Datum:     16.12.2009
4  /* Hardware:  dm_off_amp_ctrl v0.1
5  /* Controller: MSP430f1611 => "Regelcontroller"
6  /* Toolchain: MSPGCC v.20060502, Eclipse ganymede-SR2, USBExpress v1.021
7  /*
8  /* Datei:     init.c
9  /* Beschreibung: Initialisierung der Controller-Register und -Peripherie
10 /*           Verwendet sind interner DCO, USART1, TimerA, TimerB, ComparatortA,
11 /*           ADC12, DAC12_0, DAC12_1, div. I/O-Pins
12 /*
13 /* Geändert von: Robert Ostermann
14 /* Datum:     01.09.2011 - 24.02.2012
15 /* Änderungen: Anpassung an kombinierte logarithmisch und lineare Verstärkerbank
16 /*           Initialisierung der Portpins für Verstärkerbank angepasst
17 /*           i2c initialisierung und initialisierung der externer DAC einfügt
18 /*           ADC aktivierung eingefügt
19 /*
20 /* Funktion:  ok
21 /*
22 /*****
23
24 #include "main.h"
25 #include "global.h"
26 #include "i2c.h" // I2C-Schnittstelle konfigurieren
27 #include "ad5667.h" // DAC-Funktionen bereitstellen
28
29
30 /*****
31 /*           Initialisierungsroutine
32 /*****
33
34 void init(void)
35 {
36 /***** Initialisierung interner Oszillator DCO = 4.9 MHz *****/
37
38 // DCO = 7, Mod ignored
39 DCOCTL = DCO2 | DCO1 | DCO0;
40 // RSEL = 7, XT2 Oscillator off, ACLK Div = 1
41 BCSCCTL1 = RSEL2 | RSEL1 | RSEL0 | XT2OFF;
42 // MCLK von DCOCLK, SMCLK von DCOCLK, SMCLK Div = 8
43 //BCSCCTL2 |= (DIVS0 | DIVS1);
44
45 /***** Initialisierung USART1 *****/
46 //zum debuggen
47
48 // USART1 Control Reg.: Parität = even, StopBits = 2, CharLength = 8, UART Mode
49 U1CTL = PENA | PEV | SPB | CHAR;
50 // USART1 Transmit Control Reg.: Clock = SMCLK, Transmit Empty Flag = 1
51 U1TCTL = SSEL_SMCLK | TXEPT;
52 // USART1 Receive Control Reg.:
53 U1RCTL = 0x00;
54 // USART1 Baud Rate Control Reg.0: (U1BR1+U1BR0) = U1BR = SMCLK / BaudRate
55 //                                     BaudRate = 115200 --> N = 5.1485, UBR = 5
56 U1BR0 = 0x05;
57 // USART1 Baud Rate Control Reg.1:
58 U1BR1 = 0x00;
59 // USART1 Modulation Control Reg.: 1/n * UMOD = 1/12 * 2 = 0.166 --> N = 5.166
60 U1MCTL = 0x90;
61 // Module Enable Reg.2: Transmitter disable, Receiver disable
62 ME2 &= ~(UTXE1 | URXE1);
63 // Interrupt Flag Reg.2: Flags löschen
64 IFG2 &= ~(UTXIFG1 | URXIFG1);
65 // Interrupt Enable Reg.2: Transmit IRQ disable
66 IE2 &= ~UTXIE1;
67
68 /***** Initialisierung Timer A *****/
69 // Zur Stillstandserkennung und Bestimmung des Tastverhältnisses
70
71 // Timer Control Reg.: SMCLK, prescaler=8, clear TAR, IRQ en
72 TACTL = TACLK;
73 TACTL = TASSEL1 | ID1 | ID0 | TAIE;
74 TAR = 0x0000;
75
76 // Timer Capture/Compare Control Reg.0:
77 TACCTL0 = 0x0000; // IRQ aus
78 TACCR0 = 0x0000;
79 TACCTL1 = 0x0000;

```

```

80     TACCR1 = 0x0000;
81     TACCTL2 = 0x0000;
82     TACCR2 = 0x0000;
83
84     /***** Initialisierung Timer B *****/
85     //Triggert den ADC
86
87     // Timer Control Reg.: SMLK, prescaler=1, clear TAR, IRQ en
88     TBCTL = TBCLR;
89     TBCTL = TBSSEL1;
90     // TBCCTL0 |= CCIE;
91     TBR = 0x0000;
92
93     // Timer Capture/Compare Control Reg.0:
94     TBCCTL0 |= OUTMOD_3;
95     TBCCR0 = SAMPLETIME-1;           // 0xFFFF - 1
96     TBCCTL1 = 0x0000;               // Output Mode 1 wird erst später gesetzt
97     TBCCR1 = 0x0000;
98     TBCCTL2 = 0x0000;
99     TBCCR2 = 0x0000;
100    TBCCTL3 = 0x0000;
101    TBCCR3 = 0x0000;
102    TBCCTL4 = 0x0000;
103    TBCCR4 = 0x0000;
104    TBCCTL5 = 0x0000;
105    TBCCR5 = 0x0000;
106    TBCCTL6 = 0x0000;
107    TBCCR6 = 0x0000;
108
109    /***** Initialisierung Comparator *****/
110
111    // Comperator Control Reg.1: no exchange, Internal reference off, Comperator off,
112    //                               IRQ rising edge, IRQ disable, Flag delete,
113    //                               CA0 pos. - CA1 neg. Input
114    CACTL1 = 0x00;
115    // Comperator Control Reg.2: P2CA1 -> CA1, P2CA0 -> CA0, output filtered
116    CACTL2 = P2CA1 | P2CA0 | CAF;
117    // Comperator Port Disable Reg.: input buffer P2.2, P2.3, P2.4 disable
118    CAPD = CAPD2 | CAPD3 | CAPD4;
119
120    /***** Initialisierung ADC *****/
121
122    // ADC12 Control Reg.0: Sample & Hold Time = 32 , Reference = 2.5V, Reference on,
123    //                               ADC12 off, IRQ MEMx overflow,
124    //                               IRQ conversion time overflow,
125    ADC12CTL0 = SHT0_DIV8 | REF2_5V | REFON | ADC12OVIE | ADC12ON; // | ADC12TOVIE
126    // ADC12 Control Reg.1: MCTL0 = first sample, Clock = MCLK, Sequence of channels
127    //                               Trigger by TBCCR0
128    ADC12CTL1 = CSTARTADD_1 | ADC12SSEL_MCLK | SHS_TBCCR0 | ADC12DIV_0 |
129    SHP | CONSEQ_REPEAT_SINGLE;
130    // ADC12 Conversion Memory Control Reg.0: Reference = Vref+ / AVSS, Channel = A0
131    //ADC12MCTL0 = SREF_VREF_AVSS | INCH_0; // RO
132    // ADC12 Conversion Memory Control Reg.1: Reference = Vref+ / AVSS, Channel = A1
133    ADC12MCTL1 = SREF_VREF_AVSS | INCH_1; //RO
134    // ADC12 Conversion Memory Control Reg.1: Reference = Vref+ / AVSS, Channel = A2
135    //                               End of Sequence
136    //ADC12MCTL2 = SREF_VREF_AVSS | INCH_2 | EOS;
137    // ADC12 Interrupt Enable Reg: MCTL 2 enable IRQ
138    ADC12IE = 0x0002; // 0x0001 RO
139
140    /***** Initialisierung interner DAC *****/
141
142    // DAC12_0 Control Reg.: Internal reference, 12-Bit, load when written,
143    //                               Fullscale = 1*ref, Amp = high speed, binary format,
144    //                               no IRQ, DAC12 off, not grouped, calibration on
145    DAC12_0CTL = DAC12SREF_0 | DAC12LSEL_0 | DAC12CALON | DAC12IR | DAC12AMP_7;
146    DAC12_0DAT = OFFSET_START + LEVEL_SX; // zu Begin Level S1 ausgeben
147    // DAC12_1 Control Reg.: Internal reference, 12-Bit, load when written,
148    //                               Fullscale = 1*ref, Amp = high speed, binary format,
149    //                               no IRQ, DAC12 off, not grouped, calibration on
150    DAC12_1CTL = DAC12SREF_0 | DAC12LSEL_0 | DAC12CALON | DAC12IR | DAC12AMP_7;
151    DAC12_1DAT = 0x0000; // zu Begin 1.25V ausgeben
152
153    /***** Initialisierung der I/O - Ports *****/
154
155    P1OUT = 0x00; // Ausgangregister Port1 löschen
156    P1DIR |= LED1 | LED2 | LED3 | LED4 | PIN3|PIN0; // LED-Pins als Ausgang
157    P1DIR &= ~( /*PIN0 |*/ PIN1 | PIN2); // JP209...212 als Eingang
158    P1SEL &= ~( LED1 | LED2 | LED3 | LED4 ); // IO-Mode für LED-Pins
159    P1SEL &= ~( PIN0 | PIN1 | PIN2 | PIN3 ); // IO-Mode für JP209...212

```

```

160 //P1OUT |= (LED1 | LED2 | LED3 | LED4); // set LEDs on
161
162 P2OUT = 0x00; // Port2 Ausgangsregister LOW
163 P2DIR |= PIN2 | COMM_6 | COMM_7 | COMM_8; //Ausgaenge an Signalcontroller
164 P2SEL &= ~( PIN0 | PIN1 | PIN5 | PIN6 | PIN7 ); // IO-Mode
165 P2SEL |= PIN2 | PIN3 | PIN4; // Comparator Pins
166
167 P3OUT = 0x00; // Port3 Ausgangsregister LOW
168 P3DIR |= PIN0 | PIN1 | PIN2 | PIN3;
169 P3DIR |= COMM_5; //Ausgang U_Diff not valid => Regelung aktiv wenn high
170 P3SEL &= ~( PIN0 | PIN1 | PIN2 | PIN3 | PIN4 | PIN5 ); // IO-Mode
171 P3SEL |= PIN6 | PIN7; // UART Rx & Tx
172
173 // set outputs for I2C
174 P3SEL |= (1<<1); // P3.1 is SDA
175 P3SEL |= (1<<3); // P3.3 is SCL
176
177
178 P4OUT = 0x00;
179 P4DIR |= 0xFF; // 7Seg_LE0..7 als Ausgang
180 P4SEL &= ~0xFF; // IO-Mode für 7Seg_LE0..7
181
182
183 P5OUT = 0x00;
184 P5DIR |= PIN0 | PIN1 | PIN2 | PIN3; // 7Seg_DB0...3 als Ausgang
185 P5SEL |= PIN4 | PIN5;
186 P5SEL &= ~( PIN0 | PIN1 | PIN2 | PIN3 ); // IO-Mode für 7Seg_DB0...3
187
188
189 P6OUT = 0x00;
190 P6DIR |= PIN6 | PIN7; // output DAC
191 P6SEL |= PIN0 | PIN1 | PIN2 | PIN3 | PIN4 | PIN5 | PIN6 | PIN7; // ADC- und DAC-Pins
192
193 /***** Initialisierung externer DAC *****/
194
195 i2c_init(); // initiate the I2C
196
197 eint(); // Interrupts zulassen
198
199 ad5667_init(0x0C); // initialize dac_1
200 ad5667_set(0x0C,0,32350); // set default value for duty cycle
201 while(i2c_frame.status != 0);
202
203 ad5667_set(0x0C,1,OFFSET_EXT_START); // set default value for the middle of the signal
204 while(i2c_frame.status != 0);
205
206 ad5667_init(0x0E); // initialize dac_2
207 ad5667_set(0x0E,0,OFFSET_EXT_START); // set default value for duty cycle
208 while(i2c_frame.status != 0);
209
210 ad5667_set(0x0E,1,OFFSET_EXT_START); // set default value for the middle of the signal
211 while(i2c_frame.status != 0);
212
213 ad5667_init(0x0F); // initialize dac_3
214 ad5667_set(0x0F,0,32350); // set default value for duty cycle
215 while(i2c_frame.status != 0);
216
217 ad5667_set(0x0F,1,OFFSET_EXT_START); // set default value for the middle of the signal
218 while(i2c_frame.status != 0);
219
220 /***** Initialisierung des Systems *****/
221
222 // globale Variable zuruecksetzen
223 cleanup();
224
225 // Verstärker
226 g_sig.gain = GAIN_START; //maximale Verstärkung beim PowerOn
227 set_gain();
228 P3OUT |= COMM_5; //Regelung aktiv, U_Diff ungueltig
229
230 sensor_state = Initial_0Hz; // Power on --> Initial_0Hz
231 state_periode = Search_S1;
232
233 while(TRUE) { // warten bis DAC-Kalibration beendet
234     if( ((DAC12_OCTL & DAC12_CALON) != DAC12_CALON) &&
235         ((DAC12_1CTL & DAC12_CALON) != DAC12_CALON) ) break;
236 }
237
238 //Timer_B triggert den ADC
239 TBCTL |= TBCLR; // Timer B zuruecksetzen

```

```
240 |     TBCTL |= MC_1;           // Timer B Start compare mode
241 |     ADC12CTL0 |= ENC;       //enable ADC      RO
242 |     CACTL1 |= CAON | CAIE;  // Comperator on, IRQ enable
243 |
244 | }//Ende init()
```

```

1  /*****
2  /* Autor:          Robert Ostermann          */
3  /* Datum:         01.09.2011 - 24.02.2012    */
4  /* Controller:    MSP430f1611 => "Regelcontroller" */
5  /*
6  /* Datei:        calc_other.c                */
7  /* Beschreibung: Auswahl der Verstärkung, basierend auf Bachelorthesis Martin Stahl */
8  /*              Berechnung des Offsetkorrekturfaktors basiert auf Diplomarbeit   */
9  /*              Niels Jegenhorst und Bachelorthesis Martin Stahl                */
10 /*
11 /*
12 /*****
13 #include "main.h"
14 #include "global.h"
15 #include "offset_sin.h"
16
17 /*****
18 /*          Überprüfung der Verstärkung          */
19 /*****
20 void check_gain(void)
21 {
22     unsigned int amp;
23
24     amp = (g_adc.u_max_gain-g_adc.u_min_gain);
25
26     if(amp>=9000)    {g_sig.gain = 0;} // Auswahl der richtigen Verstärkung
27     else if(amp>=4500) {g_sig.gain = 1;}
28     else if(amp>=2250) {g_sig.gain = 2;}
29     else if(amp>=1130) {g_sig.gain = 3;}
30     else if(amp>=560)  {g_sig.gain = 4;}
31     else if(amp>=280)  {g_sig.gain = 5;}
32     else if(amp>=140)  {g_sig.gain = 6;}
33     else if(amp<140)   {g_sig.gain = 7;}
34
35     if(g_sig.gain != g_sig.lgain)
36     {
37         set_compensation_state(TRUE); //Regelung aktiv
38         set_gain();
39         set_compensation_state(FALSE); //Diagnose freigeben
40         g_sig.lgain = g_sig.gain;
41     }
42
43     // nächster Zustand
44     sensor_state = Active;
45     state_periode = Search_S2_Pre;
46
47     // Zurücksetzen der Werte
48     g_adc.u_max_gain = 0x0000;
49     g_adc.u_min_gain = 0xffff;
50 }
51
52 /*****
53 /*          Berechnung des Offsets          */
54 /*****
55 void calc_offset(void)
56 {
57     unsigned int amp;
58
59     // Berechnung des Offsets anhand des Duty-Cycle und der Amplitude
60     amp = (g_adc.u_max_middle/g_adc.max_cnt-g_adc.u_min_middle/g_adc.min_cnt)/2;
61
62     if(g_sig.duty>64)
63     {
64         g_sig.offset -= ((uint32_t)amp*(uint32_t)offset_sin[128-g_sig.duty])/15000; //-
65     }
66     else
67     {
68         g_sig.offset += ((uint32_t)amp*(uint32_t)offset_sin[g_sig.duty])/15000;    //+
69     }
70
71     // Zurücksetzen der Werte
72     g_adc.u_max_middle = 0x00000000;
73     g_adc.u_min_middle = 0x00000000;
74     g_adc.min_cnt = 0x0000;
75     g_adc.max_cnt = 0x0000;
76 }

```

```

1  /*****
2  /* Autor:      Martin Stahl
3  /* Datum:     22.12.2009
4  /* Hardware:  dm_off_amp_ctrl v0.1
5  /* Controller: MSP430f1611 => "Regelcontroller"
6  /* Toolchain: MSPGCC v.20060502, Eclipse ganymede-SR2, USBExpress v1.021
7  /*
8  /* Datei:     cleanup.c
9  /* Beschreibung: Funktion zum zuruecksetzen aller globalen Variablen
10 /*
11 /*           Basiert auf Diplomarbeit NJ
12 /*
13 /* Geändert von: Robert Ostermann
14 /* Datum:     01.09.2011 - 24.02.2012
15 /* Änderungen: Anpassung an kombinierte logarithmisch und lineare Verstärkerbank
16 /*           Variablen für Anzahl überschreitungen der Schwellen entfernt
17 /*           Variablen für Amplituden eingefügt
18 /*
19 /* Funktion:   ok
20 /*
21 /*****
22 #include "main.h"
23 #include "global.h"
24
25
26 /*****
27 /*           Zuruecksetzen der globalen Variablen
28 /*
29 /*****
30 void cleanup(void)
31 {
32     PORT_LED &= ~(LED1 | LED2 | LED3 | LED4); //LEDs ausschalten
33     P3OUT |= COMM_5; //Regelung aktiv => U_Diff not valid
34
35     g_sig.offset      = OFFSET_EXT_START; //OFFSET_START;
36     g_sig.compensations = 0x00;
37     g_sig.duty        = 0x00000000;
38     g_sig.gain        = GAIN_START;
39     g_sig.lgain       = 8;
40     g_sig.offset_faktor = 0x0000;
41     g_sig.duty_sum    = 0x00000000;
42     g_sig.duty_count  = 0x0000;
43
44     set_gain();
45
46     g_adc.u_max_gain   = 0x0000; //RO
47     g_adc.u_min_gain   = 0xffff; //RO
48     g_adc.u_max_offset = 0x0000; //RO
49     g_adc.u_min_offset = 0xffff; //RO
50     g_adc.u_max_middle = 0x00000000; //RO
51     g_adc.u_min_middle = 0x00000000; //RO
52     g_adc.u_diff      = 0x0000;
53     g_adc.u_hb1       = 0x0000;
54     g_adc.u_hb2       = 0x0000;
55     g_adc.u_diff_b    = 0x0000;
56     g_adc.u_sum1      = 0x0000;
57
58     g_time.tp         = 0x0000;
59     g_time.tt         = 0x0000;
60
61     ad.cur = OFFSET_EXT_START;
62 }

```

```

1  /*****
2  /* Autor:      Martin Stahl
3  /* Datum:     05.01.2010
4  /* Hardware:  dm_off_amp_ctrl v0.1
5  /* Controller: MSP430f1611 => "Regelcontroller"
6  /* Toolchain: MSPGCC v.20060502, Eclipse ganymede-SR2, USBExpress v1.021
7  /*
8  /* Datei:     isr_adc12.c
9  /* Beschreibung: Interrupt Service Routine für ADC12
10 /*
11 /*           Ueberprüft aktuellen Sample auf Ueberschreitung der Schwellen
12 /*
13 /* Geändert von: Robert Ostermann
14 /* Datum:      01.09.2011 - 24.02.2012
15 /* Änderungen: Anpassung an kombinierte logarithmisch und lineare Verstärkerbank
16 /*           Inkrementierung der überschrittenen Schwellen entfernt
17 /*           Ermittlung von min und max für Offset und Verstärkung eingefügt
18 /*
19 /* Funktion:   ok
20 /*
21 /*****
22 #include "main.h"
23 #include "global.h"
24 #include "i2c.h"
25 #include "ad5667.h"
26 #include "delog_table.h"
27
28 /*****
29 /*           Interrupt Service Routine ADC_12
30 /*****
31 interrupt ( ADC12_VECTOR ) isr_adc12 ( void )
32 {
33     unsigned int adc;
34
35     if(ADC12IFG & 0x0002) // channel 1 interrupt
36     {
37         adc = delog_table[ADC12MEM1];
38         if(adc < g_adc.u_min_offset) // search minimum for offset
39         {
40             g_adc.u_min_offset = adc;
41         }
42         if(adc > g_adc.u_max_offset) // search maximum for offset
43         {
44             g_adc.u_max_offset = adc;
45         }
46         if(adc < g_adc.u_min_gain) // search minimum for offset
47         {
48             g_adc.u_min_gain = adc;
49         }
50         if(adc > g_adc.u_max_gain) // search maximum for offset
51         {
52             g_adc.u_max_gain = adc;
53         }
54     }
55
56     if(ADC12IV == 0x0002){} // ADC12MEMx overflow
57     if(ADC12IV == 0x0004){} // conversion time overflow
58
59     ADC12IFG = 0x0000;
60     ADC12IE = 0x0002;
61 }

```

```

1  /*****
2  /* Autor:      Martin Stahl
3  /* Datum:     05.01.2010
4  /* Hardware:  dm_off_amp_ctrl v0.1
5  /* Controller: MSP430f1611 => "Regelcontroller"
6  /* Toolchain: MSPGCC v.20060502, Eclipse ganymede-SR2, USBExpress v1.021
7  /*
8  /* Datei:     isr_comp_a.c
9  /* Beschreibung: Interrupt Service Routine für Comparator A
10 /*           Beinhalten die Steuerung der geschachtelten Zustandsautomaten
11 /*           Namensgebungen basieren auf Diplomarbeit NJ
12 /*
13 /* Geändert von: Robert Ostermann
14 /* Datum:     01.09.2011 - 24.02.2012
15 /* Änderungen: Anpassung an kombinierte logarithmisch und lineare Verstärkerbank
16 /*           Ein- und Ausschalten des ADCs aus den einzelnen Zuständen entfernt
17 /*           Setzen des Offsets an externen DAC angepasst
18 /*           Mittelwertbildung des max und min für Offset eingefügt
19 /*
20 /* Funktion: ok
21 /*
22 /*****
23
24 #include "main.h"
25 #include "global.h"
26 #include "i2c.h"
27 #include "ad5667.h"
28
29 /*****
30 /*           Interrupt Service Routine Comparator A
31 /*****
32
33 interrupt ( COMPARATORA_VECTOR ) isr_comp_a ( void )
34 {
35     TBCTL |= TBCLR;           // Timer B zurücksetzen
36     TBCTL |= MC_1;           // Timer B Start compare mode
37     ADC12CTL0 &= ~ENC;       /* disable ADC */
38
39     switch (sensor_state) {
40
41 /***** Systemstart *****/
42     case Initial_0Hz: {
43         switch (state_periode) {
44
45 /***** Periodenanfang *****/
46         case Search_S1:
47             // Timer ist aus || Entprellzeit erreicht?
48             if((TAR == 0x0000) || (TAR > MIN_TIME_S1)) {
49                 TACTL |= TACLR;           // Timer zurücksetzen
50                 TACTL |= (ID_3 | MC_2);    // Timer start cont. mode
51                 DAC12_ODAT = OFFSET_START - LEVEL_SX; // Level S2
52                 CACTL1 |= CAIES;          // IRQ fallende Flanke
53                 state_periode = Search_S2;
54
55                 g_adc.u_min_middle += g_adc.u_min_offset; // RO
56                 g_adc.u_min_offset = 0xffff;
57                 g_adc.min_cnt++;
58             }
59             break;
60
61 /***** Periodemitte *****/
62         case Search_S2:
63             if(TAR > MIN_TIME_S2) { // Entprellzeit erreicht
64                 DAC12_ODAT = OFFSET_START + LEVEL_SX; // Level S1
65                 CACTL1 &= ~CAIES; // IRQ steigende Flanke
66                 state_periode = Search_S1;
67                 sensor_state = Initial_1Hz;
68                 //sensor_state = Active;
69                 g_adc.u_max_middle += g_adc.u_max_offset; // RO
70                 g_adc.u_max_offset = 0x0000;
71                 g_adc.max_cnt++;
72             }
73             break;
74         default:
75             state_periode = Search_S1;
76     }
77     break;
78 }
79

```



```

80 /***** Regelung beim PowerOn *****/
81 case Initial_LHz: {
82     switch (state_periode) {
83
84         case Search_S1: // _Anfang einer Periode zum Messen des Duty ___
85             if(TAR > MIN_TIME_S1) { // Entprellzeit erreicht?
86                 TACTL |= TACLRL; // Timer zurücksetzen
87                 TACTL |= (ID_3 | MC_2); // Timer start cont. mode
88                 DAC12_ODAT = OFFSET_START - LEVEL_SX; // Level S2
89                 CACTL1 |= CAIES; // IRQ fallende Flanke
90                 #ifdef __LOG_TIME
91                     g_log.new_time = TRUE; // für log_time()
92                 #endif
93                 state_periode = Search_S2;
94                 g_adc.u_min_middle += g_adc.u_min_offset; // RO
95                 g_adc.u_min_offset = 0xffff;
96                 g_adc.min_cnt++;
97             }
98             break;
99
100        case Search_S2: // _Mitte einer Periode zum Messen des Duty ___
101            if(TAR > MIN_TIME_S2) { // Entprellzeit erreicht
102                g_time.tp = TAR; // Zählerstand sichern
103                DAC12_ODAT = OFFSET_START + LEVEL_SX; // Level S1
104                CACTL1 &= ~CAIES; // IRQ steigende Flanke
105                state_periode = Search_S1_Calc;
106                //state_periode = Search_S2;
107                //sensor_state = Active; // next Sensor State
108                g_adc.u_max_middle += g_adc.u_max_offset; // RO
109                g_adc.u_max_offset = 0x0000;
110                g_adc.max_cnt++;
111            }
112            break;
113
114        /***** Periodenende => Duty-Cycle berechnen *****/
115        case Search_S1_Calc:
116
117            if(TAR > MIN_TIME_S1) { // Entprellzeit erreicht?
118                g_time.tt = TAR; // Zählerstand sichern
119                TACTL |= TACLRL; // Timer zurücksetzen
120                TACTL |= (ID_3 | MC_2); // Timer start cont. mode
121                DAC12_ODAT = OFFSET_START - LEVEL_SX; // Level S2
122                CACTL1 |= CAIES; // IRQ fallende Flanke
123
124                g_adc.u_min_middle += g_adc.u_min_offset; // RO
125                g_adc.u_min_offset = 0xffff;
126                g_adc.min_cnt++;
127
128                // tp/T * 128 = duty-cycle in %
129                g_sig.duty = ((uint32_t)g_time.tp << 7) / g_time.tt;
130
131                #ifdef __OFFSET_CAL
132                    if(i2c_frame.status == 0)
133                    {
134                        calc_offset();
135                        ad5667_set(0x0E,0,g_sig.offset);
136                    }
137                #endif
138
139                g_sig.compensations++;
140
141                if(g_sig.compensations == COMPENSATIONS) {
142                    g_sig.compensations = 0;
143                    state_periode = Search_S2_Check_Gain;
144                }
145                else { // eine Periode überspringen für neue Kompensation
146                    state_periode = Search_S2_Pre;
147                }
148            }
149            break;
150
151        case Search_S2_Pre: // _Mitte einer Periode, vor Search_S1
152
153            if(TAR > MIN_TIME_S2) { // Entprellzeit erreicht
154                g_time.tp = TAR;
155                DAC12_ODAT = OFFSET_START + LEVEL_SX; // Level S1
156                CACTL1 &= ~CAIES; // IRQ steigende Flanke
157                state_periode = Search_S1;
158
159                g_adc.u_max_middle += g_adc.u_max_offset; // RO
160                g_adc.u_max_offset = 0x0000;

```

```

160         g_adc.max_cnt++;
161     }
162     break;
163
164     case Search_S2_Check_Gain:
165         if(TAR > MIN_TIME_S2) { // Entprellzeit erreicht
166
167             g_time.tp = TAR; // Zählerstand Timer A sichern
168             DAC12_ODAT = OFFSET_START + LEVEL_SX; // Level S1
169             CACTL1 &= ~CAIES; // IRQ steigende Flanke
170             state_periode = Search_S1_Check_Gain;
171             //sensor_state = Active; // next Sensor State
172
173             g_adc.u_max_middle += g_adc.u_max_offset; // RO
174             g_adc.u_max_offset = 0x0000;
175             g_adc.max_cnt++;
176         }
177         break;
178
179     case Search_S1_Check_Gain:
180         if(TAR > MIN_TIME_S1) { // Entprellzeit erreicht?
181
182             TACTL |= TACLR; // Timer zurücksetzen
183             TACTL |= (ID_3 | MC_2); // Timer start cont. mode
184             DAC12_ODAT = OFFSET_START - LEVEL_SX; // Level S2
185             CACTL1 |= CAIES; // IRQ fallende Flanke
186
187             g_adc.u_min_middle += g_adc.u_min_offset; // RO
188             g_adc.u_min_offset = 0xffff;
189             g_adc.min_cnt++;
190
191             check_gain(); //Verstärkung überprüfen und Folgezustand festlegen
192         }
193         break;
194     }
195     break;
196 }
197
198 /***** Normaler Betrieb "ACTIVE" *****/
199 case Active:
200     switch (state_periode) {
201
202     /***** Periodenanfang *****/
203     case Search_S1:
204         g_time.tt = TAR; // Zählerstand sichern
205         TACTL |= TACLR; // Timer A zurücksetzen
206         TACTL |= (ID_3 | MC_2); // Timer A Start Continuis - Mode
207         DAC12_ODAT = OFFSET_START - LEVEL_SX; // Level S2
208         CACTL1 |= CAIES; // IRQ Comp. bei fallender Flanke
209         state_periode = Search_S2;
210         g_adc.u_min_middle += g_adc.u_min_offset; // RO
211         g_adc.u_min_offset = 0xffff;
212         g_adc.min_cnt++;
213         break;
214
215     /***** Periodenmitte *****/
216     case Search_S2:
217         g_time.tp = TAR; // Zählerstand Timer A sichern
218         DAC12_ODAT = OFFSET_START + LEVEL_SX; // Level S1
219         CACTL1 &= ~CAIES; // IRQ Comp. bei steigender Flanke
220
221         g_adc.u_max_middle += g_adc.u_max_offset; // RO
222         g_adc.u_max_offset = 0x0000;
223         g_adc.max_cnt++;
224
225         #ifdef __ACTIVE_COMPENSATION
226             state_periode = Search_S1_Calc;
227         #else
228             state_periode = Search_S1;
229         #endif
230
231         break;
232
233
234
235     /***** Periodenende => Duty-Cycle berechnen *****/
236     case Search_S1_Calc:
237
238         if(TAR > MIN_TIME_S1) // Entprellzeit erreicht?
239     {

```

```

240         g_time.tt = TAR;                // Zählerstand sichern
241         TACTL |= TACLK;                // Timer zurücksetzen
242         TACTL |= (ID_3 | MC_2);        // Timer start cont. mode
243         DAC12_ODAT = OFFSET_START - LEVEL_SX; // Level S2
244         CACTL1 |= CAIES;              // IRQ fallende Flanke
245
246         g_adc.u_min_middle += g_adc.u_min_offset; // RO
247         g_adc.u_min_offset = 0xffff;
248         g_adc.min_cnt++;
249
250         // aktuellen Duty-Cycle ausrechnen und aufsummieren
251         #ifdef __MEAN_DUTY_DEPEND_ON_GAIN
252         if(g_sig.duty_count < (1<<(g_sig.gain+2)))
253         {
254             #else
255             if(g_sig.duty_count < (1<<PERIODES_FOR_MEAN_DUTY))
256             {
257                 #endif
258                 g_sig.duty = ((uint32_t)g_time.tp << 7) / g_time.tt; //Duty rechnen
259                 g_sig.duty_sum += g_sig.duty;
260                 g_sig.duty_count++;
261                 state_periode = Search_S2_Pre;
262             }
263         } else // Bildung eines Mittelwertes für den Duty-Cycle über x Perioden
264         {
265             //Division durch Anzahl der aufsummierten Duty-Cycles
266             #ifdef __MEAN_DUTY_DEPEND_ON_GAIN
267             g_sig.duty = g_sig.duty_sum >> (g_sig.gain+2);
268             #else
269             g_sig.duty = g_sig.duty_sum >> PERIODES_FOR_MEAN_DUTY;
270             #endif
271             g_sig.duty_count = 0;
272             g_sig.duty_sum = 0;
273
274             //Signal ist offsetfrei
275             if(g_sig.duty > 64-DUTY_TOLERANCE && g_sig.duty < 64+DUTY_TOLERANCE)
276             {
277                 state_periode = Search_S2_Check_Gain;
278             }
279             else
280             {
281                 set_compensation_state(TRUE); //Regelung aktiv
282
283                 #ifdef __OFFSET_CAL
284                 calc_offset();
285                 if(i2c_frame.status == 0)
286                 {
287                     ad5667_set(0x0E,0,g_sig.offset);
288                 }
289                 #endif
290
291                 set_compensation_state(FALSE); //Regelung abgeschlossen
292                 state_periode = Search_S2_Pre;
293             }
294         }
295     }
296     break;
297
298
299     /***** Periodenmitte *****/
300     case Search_S2_Pre:
301
302         if(TAR > MIN_TIME_S2) { // Entprellzeit erreicht?
303             g_time.tp = TAR;
304             DAC12_ODAT = OFFSET_START + LEVEL_SX; // Level S1
305             CACTL1 &= ~CAIES; // IRQ steigende Flanke
306             state_periode = Search_S1;
307
308             g_adc.u_max_middle += g_adc.u_max_offset; // RO
309             g_adc.u_max_offset = 0x0000;
310             g_adc.max_cnt++;
311         }
312         break;
313
314
315     case Search_S2_Check_Gain:
316         if(TAR > MIN_TIME_S2) { // Entprellzeit erreicht?
317
318             g_time.tp = TAR; // Zählerstand Timer A sichern
319             DAC12_ODAT = OFFSET_START + LEVEL_SX; // Level S1

```

```
320         CACTL1 &= ~CAIES; // IRQ steigende Flanke
321         state_periode = Search_S1_Check_Gain;
322
323         g_adc.u_max_middle += g_adc.u_max_offset; // RO
324         g_adc.u_max_offset = 0x0000;
325         g_adc.max_cnt++;
326     }
327     break;
328
329     case Search_S1_Check_Gain:
330         if(TAR > MIN_TIME_S1) { // Entprellzeit erreicht?
331
332             TACTL |= TACL_R; // Timer zurücksetzen
333             TACTL |= (ID_3 | MC_2); // Timer start cont. mode
334             DAC12_ODAT = OFFSET_START - LEVEL_SX; // Level S2
335             CACTL1 |= CAIES; // IRQ fallende Flanke
336
337             g_adc.u_min_middle += g_adc.u_min_offset; // RO
338             g_adc.u_min_offset = 0xffff;
339             g_adc.min_cnt++;
340
341             check_gain(); //Verstärkung überprüfen und Folgezustand festlegen
342         }
343         break;
344
345     default:
346         state_periode = Search_S1;
347         sensor_state = Initial_0Hz;
348         break;
349 }
350 } // Ende switch(sensor_state)
351
352 } // Ende switch(sensor_state)
353
354
355 CACTL1 &= ~CAIFG; // IRQ Flag löscht automatisch, aber da bei niedrigen Frequenzen
356 // der Comparator prellt muss das wiederholt gelöscht werden
357
358 ADC12CTL0 |= ENC; //enable ADC
359 }
```

```

1  /*****
2  /* Autor:      Martin Stahl
3  /* Datum:     05.01.2010
4  /* Hardware:  dm_off_amp_ctrl v0.1
5  /* Controller: MSP430f1611 => "Regelcontroller"
6  /* Toolchain: MSPGCC v.20060502, Eclipse ganymede-SR2, USBExpress v1.021
7  /*
8  /* Datei:     isr_timer_a1.c
9  /* Beschreibung: Interrupt Service Routine für Timer A
10 /*           Zur Stillstandserkennung
11 /*           Basiert auf Diplomarbeit NJ
12 /*
13 /* Geändert von: Robert Ostermann
14 /* Datum:     01.09.2011 - 24.02.2012
15 /* Änderungen: Anpassung an kombinierte logarithmisch und lineare Verstärkerbank
16 /*           Setzen des Offsets an externen DAC angepasst
17 /*
18 /* Funktion:   ok
19 /*
20 /*****
21
22 #include "main.h"
23 #include "global.h"
24 #include "ad5667.h"
25 #include "i2c.h"
26
27 /*****
28 /*           Interrupt Service Routine Timer A
29 /*****
30
31 interrupt ( TIMER_A1_VECTOR ) isr_timer_a1 ( void )
32 {
33     // Routine wird aufgerufen, wenn Überlauf des Zeitgeber Timer_A auftritt.
34     // Idealerweise, wenn die Zahnfrequenz unter 1Hz fällt. Real aufgrund der Länge
35     // des Zeitgebers, sowie dessen Taktes bereits nach 838ms (1,2Hz).
36     // Somit weicht dieser Punkt von der eigentlichen Spezifikation ab.
37
38     if( TACTL & TAIFG == TAIFG ) { // Timer Overflow
39         TACTL |= TAIFG; // Timer zurücksetzen
40         TACTL |= (ID_3 | MC_2); // Timer start cont. mode
41
42                                     // Wenn Sensor vom Zustand Aktiv in den
43                                     // Zustand Init0_Hz zurückfallen soll
44
45     #ifdef __INIT_FALL_BACK
46         cleanup();
47         DAC12_ODAT = OFFSET_START + LEVEL_SX; // Schwellwert Comp. Level S1
48         //DAC12_IDAT = OFFSET_START; // Anfangswert Offsetcompensation
49         if(i2c_frame.status == 0)
50         {
51             ad5667_set(0x0E,0,OFFSET_EXT_START);
52         }
53         CACTL1 &= ~CAIES; // IRQ Comparator steigende Flanke
54
55         g_sig.compensations = 0x00; // Anzahl der Offsetcomp = 0
56         g_sig.offset = OFFSET_EXT_START; // Anfangswert Offsetcompensation
57
58         state_periode = Search_S1; // Automaten zurücksetzen
59         sensor_state = Initial_0Hz;
60
61     #else
62         // Wenn Sensor nicht zurückfallen soll,
63         // z.B. bei Messreihenaufnahme
64         if(sensor_state == Active) { // nur State_Calc zurücksetzen wenn
65             // im Zustand Active
66             // state_calc = S1_Prepate_Measure_Periode;
67         }
68         else { // nur zurückfallen, wenn nicht im
69             // Zustand Active
70             DAC12_ODAT = OFFSET_START + LEVEL_SX; // Schwellwert Comp. Level S1
71             DAC12_IDAT = OFFSET_START; // Anfangswert Offsetcompensation
72             CACTL1 &= ~CAIES; // IRQ Comparator steigende Flanke
73
74             g_sig.compensations = 0x00; // Anzahl der Offsetcomp = 0
75             g_sig.offset = OFFSET_START; // Anfangswert Offsetcompensation
76
77             state_periode = Search_S1; // Automaten zurücksetzen
78             sensor_state = Initial_0Hz;
79         }
80     #endif

```

```
80 |  
81 |     g_time.frequenz      = 0x0000; // Frequenzanzeige = 0  
82 |  
83 |     TACTL &= ~TAIFG;      // Flag loeschen  
84 | }  
85 | }
```

```

1  /*****
2  /* Autor:      Martin Stahl
3  /* Datum:     17.12.2009
4  /* Hardware:  dm_off_amp_ctrl v0.1
5  /* Controller: MSP430f1611 => "Regelcontroller"
6  /* Toolchain: MSPGCC v.20060502, Eclipse ganymede-SR2, USBExpress v1.021
7  /*
8  /* Datei:     send.c
9  /* Beschreibung: Funktionen zur Datenausgabe auf der seriellen Schnittstelle
10 /*            und zur Kommunikation mit dem Signalcontroller
11 /*
12 /* Funktion:  ok
13 /*
14 /*****/
15
16 #include "main.h"
17 #include "global.h"
18
19 /*****/
20 /*            Zur Kommunikation mit Signalcontroller
21 /*****/
22 void set_compensation_state(uint8_t state) {
23
24     //Regelung aktiv => U_Diff not valid
25     if(state) {
26         P3OUT |= COMM_5;
27         PORT_LED |= PIN3;
28         PORT_LED &= ~(LED2 | LED3);
29         PORT_LED |= LED1; //rote LED ein
30
31     }
32
33     //Sensordiagnose freigeben
34     else {
35         P3OUT &= ~COMM_5;
36         PORT_LED &= ~PIN3;
37         PORT_LED &= ~(LED1 | LED3);
38         PORT_LED |= LED2; //grüne LED ein
39     }
40 }
41
42 /*****/
43 /*            Ausgabe auf serieller Schnittstelle
44 /*****/
45 /--- Funktion send_usart -----|
46 uint8_t send_usart(uint8_t value) {
47
48     // Ausgabe einer 8-Bit Variablen mit dem USART1.
49     // Wenn eine Ausgabe noch aktiv ist, wird nichts geändert
50
51     if((U1TCTL & TXEPT) == TXEPT) { // wenn Buffer & Register leer --> Daten senden
52         ME2 &= ~UTXE1; // USART1 TX disable
53         U1TXBUF = value; // Daten in Transmitter Buffer (max 8Bit)
54         ME2 |= UTXE1; // USART1 TX enable
55         return TRUE;
56     }
57     else
58         return FALSE;
59 }

```

```

1  /*****
2  /* Autor:      Martin Stahl
3  /* Datum:     22.12.2009
4  /* Hardware:  dm_off_amp_ctrl v0.1
5  /* Controller: MSP430f1611 => "Regelcontroller"
6  /* Toolchain: MSPGCC v.20060502, Eclipse ganymede-SR2, USBExpress v1.021
7  /*
8  /* Datei:     set_gain.c
9  /* Beschreibung: Stellt den Multiplexer auf die ausgewählte Verstärkung
10 /*
11 /*            Gibt Verstärkung zusätzlich auf COMM_6...8 aus
12 /*            (Kommunikationsleitungen zum Signalcontroller)
13 /*            Einstellende Verstärkung ist in g_sig.gain gespeichert
14 /*
15 /* Geändert von: Robert Ostermann
16 /* Datum:      01.09.2011 - 24.02.2012
17 /* Änderungen: Anpassung an kombinierte logarithmisch und lineare Verstärkerbank
18 /*            Auswahl der Verstärkung an Multiplexer angepasst
19 /*
20 /* Funktion:   ok
21 /*
22 /*****
23 #include "main.h"
24 #include "global.h"
25 #include "signal.h"
26
27 /*****
28 /*            Einstellung der Verstärkung
29 /*****
30 void set_gain()
31 {
32     if(g_sig.gain == 0)                // Gain 1
33     {
34         P4OUT = (P4OUT&0xf8) + 0;      // diff
35         P4OUT = (P4OUT&0x8f) + (0<<4); // hb1
36         P5OUT = (P5OUT&0xf8) + 0;      // hb2
37         P2OUT &= ~(COMM_6 | COMM_7 | COMM_8);
38     }
39     else if(g_sig.gain == 1)          // Gain 2
40     {
41         P4OUT = (P4OUT&0xf8) + 4;      // diff
42         P4OUT = (P4OUT&0x8f) + (4<<4); // hb1
43         P5OUT = (P5OUT&0xf8) + 4;      // hb2
44         P2OUT &= ~(COMM_6 | COMM_7 | COMM_8);
45         P2OUT |= COMM_6;
46     }
47     else if(g_sig.gain == 2)          // Gain 4
48     {
49         P4OUT = (P4OUT&0xf8) + 7;      // diff
50         P4OUT = (P4OUT&0x8f) + (7<<4); // hb1
51         P5OUT = (P5OUT&0xf8) + 7;      // hb2
52         P2OUT &= ~(COMM_6 | COMM_7 | COMM_8);
53         P2OUT |= COMM_7;
54     }
55     else if(g_sig.gain == 3)          // Gain 8
56     {
57         P4OUT = (P4OUT&0xf8) + 2;      // diff
58         P4OUT = (P4OUT&0x8f) + (2<<4); // hb1
59         P5OUT = (P5OUT&0xf8) + 2;      // hb2
60         P2OUT &= ~(COMM_6 | COMM_7 | COMM_8);
61         P2OUT |= COMM_6 | COMM_7;
62     }
63     else if(g_sig.gain == 4)          // Gain 16
64     {
65         P4OUT = (P4OUT&0xf8) + 1;      // diff
66         P4OUT = (P4OUT&0x8f) + (1<<4); // hb1
67         P5OUT = (P5OUT&0xf8) + 1;      // hb2
68         P2OUT &= ~(COMM_6 | COMM_7 | COMM_8);
69         P2OUT |= COMM_8;
70     }
71     else if(g_sig.gain == 5)          // Gain 32
72     {
73         P4OUT = (P4OUT&0xf8) + 6;      // diff
74         P4OUT = (P4OUT&0x8f) + (6<<4); // hb1
75         P5OUT = (P5OUT&0xf8) + 6;      // hb2
76         P2OUT &= ~(COMM_6 | COMM_7 | COMM_8);
77         P2OUT |= COMM_6 | COMM_8;
78     }
79     else if(g_sig.gain == 6)          // Gain 64

```



```
80 | {
81 |     P4OUT = (P4OUT&0xf8) + 5;           // diff
82 |     P4OUT = (P4OUT&0x8f) + (5<<4);    // hb1
83 |     P5OUT = (P5OUT&0xf8) + 5;           // hb2
84 |     P2OUT &= ~(COMM_6 | COMM_7 | COMM_8);
85 |     P2OUT |= COMM_7 | COMM_8;
86 | }
87 | else if(g_sig.gain == 7)               // Gain 128
88 | {
89 |     P4OUT = (P4OUT&0xf8) + 3;           // diff
90 |     P4OUT = (P4OUT&0x8f) + (3<<4);    // hb1
91 |     P5OUT = (P5OUT&0xf8) + 3;           // hb2
92 |     P2OUT &= ~(COMM_6 | COMM_7 | COMM_8);
93 |     P2OUT |= COMM_6 | COMM_7 | COMM_8;
94 | }
95 | }
```

```
1  /*****  
2  /* Autor:      Robert Ostermann      */  
3  /* Datum:     01.09.2011 - 24.02.2012 */  
4  /* Controller: MSP430f1611 => "Regelcontroller" */  
5  /*  
6  /* Datei:     i2c.h      */  
7  /* Beschreibung: Headerdatei zu ic2.c  */  
8  /*  
9  *****/  
10  
11 #ifndef I2C_H_  
12 #define I2C_H_  
13  
14     #ifndef EXTERN  
15     #define EXTERN extern  
16     #endif  
17  
18     struct {  
19         unsigned char device;    // 7bit address of the device  
20         unsigned char stop;     // stop condition of the frame  
21         unsigned char buffer[100];  
22         unsigned char length;   // length of the message  
23         char status;           // high: currently data will be send / low: unit ready to send data  
24         unsigned char cnt;     // count the transmitted data  
25         unsigned int duty;  
26         unsigned long Th;  
27         unsigned int Tl;  
28     } EXTERN volatile i2c_frame;  
29  
30     extern void i2c_init(void);  
31     extern char i2c_send(void);  
32     extern char i2c_receive(void);  
33  
34 #endif /* I2C_H_ */
```

```

1  /*****
2  /* Autor:      Robert Ostermann          */
3  /* Datum:     01.09.2011 - 24.02.2012    */
4  /* Controller: MSP430f1611 => "Regelcontroller" */
5  /*
6  /* Datei:     i2c.c                      */
7  /* Beschreibung: Initialisierung der I2C-Schnittstelle des MSP430F1611 */
8  /* Funktionen zum senden und empfangen von Datenpaketen */
9  /* Interrupt Service Handler der I2C-Schnittstelle */
10 /*
11 *****/
12
13 #include <msp430x16x.h>
14 #include <signal.h>
15
16 #include "i2c.h"
17
18 /**
19  * initialize the i2c-bus on USART0
20  */
21 void i2c_init(void)
22 {
23     i2c_frame.cnt = 0;
24     i2c_frame.device = 0;
25     i2c_frame.stop = 1;
26     i2c_frame.length = 0;
27     i2c_frame.status = 0;
28
29     P3SEL |= (1<<1);          // P3.1 is SDA
30     P3SEL |= (1<<3);          // P3.3 is SCL
31
32     U0CTL |= ( (1<<5)|(1<<2) ); // set I2C and SNYC
33     U0CTL &= ~(1<<0);         // disable I2C (~I2CEN)
34
35     I2CTCTL |= ( (1<<4)|(1<<5) ); // SMCLK is clock source for I2C
36
37     I2CPSC = 0x00;           // prescaler = 1
38     I2CSCLH = 0x0A;         // 12 Takte vom prescaler bilden high period
39     I2CSCLL = 0x0A;         // 12 clocks from prescaler build the low period
40
41     U0CTL |= (1<<0);         // enable I2C
42 }
43
44 /**
45  * send the frame, saved in i2c_frame.buffer
46  */
47 char i2c_send(void)
48 {
49     if(i2c_frame.status == 1) // unit not ready to send data
50     {
51         return 1;
52     }
53
54     i2c_frame.status = 1;     // block the unit
55     i2c_frame.cnt = 0;       // set frame count to zero
56
57     U0CTL &= ~(1<<0);         // disable I2C (~I2CEN)
58
59     I2CNDAT = i2c_frame.length; // set length of data to be transmit
60     I2CSA = i2c_frame.device & 0x7f; // set the device address
61     U0CTL |= (1<<1);         // master, must set because is cleared after a STOP condition
62     I2CTCTL |= (1<<3);       // Transmitter
63
64     I2CIE = 0x00;           // disable all interrupts
65
66     U0CTL |= (1<<0);         // enable I2C
67
68     // send STOP condition?
69     if( i2c_frame.stop == 1 ) ? (I2CTCTL |= (1<<1) ) : (I2CTCTL &= ~(1<<1) );
70     I2CTCTL |= (1<<0);       // send a START condition
71
72     I2CIE |= (1<<1);         // no acknowledge interrupt
73     I2CIE |= (1<<5);         // enable transmit ready interrupt
74     I2CIE |= (1<<3);         // register access ready interrupt
75
76     return 0;               // transmission start correctly
77 }
78
79 /**

```

```

80  * received a frame, will be saved in i2c_frame.buffer
81  */
82  char i2c_receive(void)
83  {
84      if(i2c_frame.status == 1)          // unit not ready to send data
85      {
86          return 1;
87      }
88
89      i2c_frame.status = 1;              // block the unit
90      i2c_frame.cnt = 0;                 // set frame count to zero
91
92      UOCTL &= ~(1<<0);                  // disable I2C (~I2CEN)
93
94      I2CNDAT = i2c_frame.length;        // set length of data to be transmit
95      I2CSA = i2c_frame.device & 0x7f;   // set the device address
96      UOCTL |= (1<<1);                   // master, must set because is cleared after a STOP condition
97      I2CTCTL &= ~(1<<3);                 // Transmitter
98
99      I2CIE = 0x00;                       // disable all interrupts
100
101      UOCTL |= (1<<0);                    // enable I2C
102
103      // send STOP condition?
104      if( i2c_frame.stop == 1) ? (I2CTCTL |= (1<<1)) : (I2CTCTL &= ~(1<<1)) );
105      I2CTCTL |= (1<<0);                  // send a START condition
106
107      I2CIE |= (1<<4);                    // enable receive ready interrupt
108      I2CIE |= (1<<1);                    // no acknowledge interrupt
109      return 0;
110 }
111
112 /**
113  * I2C interrupt handler
114  */
115 interrupt ( UART0TX_VECTOR ) i2c_isr(void)
116 {
117     switch(I2CIV&0x00ff)
118     {
119         case 0x00: break;                // no interrupt
120
121         case 0x02: break;                // arbitration lost
122
123         case 0x04:                        // no acknowledgment
124             I2CIE = 0x00;                // disable all interrupts
125             i2c_frame.status = 2;        // block für neue übertragung freigeben
126             break;
127
128         case 0x06: break;                // own address
129
130         case 0x08:                        // register access ready
131             if(i2c_frame.cnt == i2c_frame.length) // all data transmit
132             {
133                 i2c_frame.status = 0;    // release the unit
134                 I2CIE = 0x00;           // disable all interrupts
135             }
136             break;
137
138         case 0x0A:                        // receive data ready
139             i2c_frame.buffer[i2c_frame.cnt] = I2CDRB;
140             i2c_frame.cnt++;
141             if(i2c_frame.cnt == i2c_frame.length) // all data received
142             {
143                 i2c_frame.status = 0;    // release the unit
144                 I2CIE = 0x00;           // all data received, disable all interrupts
145             }
146             break;
147
148         case 0x0C:                        // Transmit data ready
149             if(i2c_frame.cnt == i2c_frame.length) // all data transmit
150             {
151                 I2CIE &= ~(1<<5);       // disable transmit ready interrupt
152                 break;
153             }
154             I2CDRB = i2c_frame.buffer[i2c_frame.cnt];
155             i2c_frame.cnt++;
156             break;
157
158         case 0x0E: break;                // general call
159

```

```
160 |         case 0x10: break;           // START condition received
161 |     }
162 | }
```

```
1  /*****  
2  /* Autor:      Robert Ostermann      */  
3  /* Datum:     01.09.2011 - 24.02.2012 */  
4  /* Controller: MSP430f1611 => "Regelcontroller" */  
5  /*  
6  /* Datei:     ad5667.h                */  
7  /* Beschreibung: Headerdatei zu ad5667.c */  
8  /*  
9  *****/  
10  
11 #ifndef AD5667_H_  
12 #define AD5667_H_  
13  
14     extern void ad5667_init(unsigned char address);  
15     extern void ad5667_set(unsigned char address, unsigned char dac, unsigned int value);  
16  
17 #endif /* AD5776_H_ */
```

```
1  /*****  
2  /* Autor:      Robert Ostermann          */  
3  /* Datum:     01.09.2011 - 24.02.2012    */  
4  /* Controller: MSP430f1611 => "Regelcontroller" */  
5  /*  
6  /* Datei:     ad5667.c                  */  
7  /* Beschreibung: Initialisierung des DAC AD5667 von Analog Devices */  
8  /*           Setzen der analogen Ausgangsspannung          */  
9  /*  
10 /*****  
11  
12 #include "i2c.h"  
13  
14 /**  
15  * Initialize the DAC ad5667  
16  */  
17 void ad5667_init(unsigned char address)  
18 {  
19     i2c_frame.device = address;    // set slave address  
20     i2c_frame.length = 3;         // send 3 bytes  
21     i2c_frame.stop = 1;          // send a stop condition  
22     i2c_frame.buffer[0] = 0x20;   // disable LDAC  
23     i2c_frame.buffer[1] = 0x00;   // disable LDAC  
24     i2c_frame.buffer[2] = 0x03;   // disable LDAC  
25  
26     i2c_send(); // send the data  
27     while(i2c_frame.status == 1);  
28  
29     // set internal reference off, default off  
30     i2c_frame.buffer[0] = 0x38;   // set internal reference  
31     i2c_frame.buffer[1] = 0x00;   // set internal reference  
32     i2c_frame.buffer[2] = 0x00;   // set internal reference off  
33  
34     i2c_send(); // send the data  
35     while(i2c_frame.status == 1);  
36 }  
37  
38 /**  
39  * set the output voltage, on the device with the given address and selected channel  
40  */  
41 void ad5667_set(unsigned char address, unsigned char dac, unsigned int value)  
42 {  
43     i2c_frame.device = address;    // set slave address  
44     i2c_frame.length = 3;         // send 3 bytes  
45     i2c_frame.stop = 1;          // send a stop condition  
46  
47     i2c_frame.buffer[0] = (dac&0x07) + 0x18; // disable LDAC  
48     i2c_frame.buffer[2] = value&0x00ff;     // set low value  
49     i2c_frame.buffer[1] = (value>>8)&0x00ff; // set upper value  
50  
51     i2c_send(); // send the data  
52 }
```

```

1  /*****
2  /* Autor:      Robert Ostermann
3  /* Datum:     01.09.2011 - 24.02.2012
4  /* Controller: MSP430f1611 => "Regelcontroller"
5  /*
6  /* Datei:     delog_table.h
7  /* Beschreibung: Lookup-Tabelle der Delogarithmierung
8  /*
9  /*****
10
11 #ifndef DELOG_TABLE_H
12 #define DELOG_TABLE_H
13
14 const unsigned int delog_table[4096] = {
15     773, 773, 773, 773, 773, 773, 773, 773,
16     773, 773, 773, 773, 773, 773, 773, 773,
17     773, 773, 773, 773, 773, 773, 773, 773,
18     773, 773, 773, 773, 773, 773, 773, 773,
19     773, 773, 773, 773, 773, 773, 773, 773,
20     773, 773, 773, 773, 773, 773, 773, 773,
21     773, 773, 773, 773, 773, 773, 773, 773,
22     773, 773, 773, 773, 773, 773, 773, 773,
23     773, 773, 773, 773, 773, 773, 773, 819,
24     974, 1041, 1134, 1283, 1362, 1375, 1478, 1534,
25     1727, 1768, 1892, 1853, 1970, 2079, 2174, 2274,
26     2188, 2370, 2366, 2552, 2634, 2699, 2714, 2874,
27     2909, 2894, 3111, 3078, 3073, 3353, 3379, 3352,
28     3472, 3562, 3663, 3720, 3766, 3871, 3956, 4017,
29     4059, 4209, 4189, 4189, 4314, 4341, 4392, 4551, 4598,
30     4662, 4708, 4787, 4840, 4875, 4966, 4950, 5029,
31     5113, 5136, 5226, 5274, 5332, 5433, 5465, 5509,
32     5520, 5617, 5632, 5762, 5768, 5905, 5952, 6019,
33     6071, 6056, 6124, 6159, 6260, 6276, 6317, 6469,
34     6571, 6546, 6653, 6673, 6705, 6748, 6826, 6885,
35     6870, 6991, 7012, 7078, 7143, 7166, 7222, 7264,
36     7237, 7353, 7384, 7418, 7464, 7491, 7550, 7560,
37     7631, 7656, 7765, 7745, 7870, 7837, 7891, 7922,
38     7955, 7984, 8007, 8052, 8074, 8127, 8107, 8178,
39     8205, 8287, 8327, 8348, 8371, 8399, 8416, 8444,
40     8473, 8498, 8508, 8541, 8573, 8609, 8624, 8641,
41     8666, 8724, 8723, 8741, 8760, 8809, 8830, 8880,
42     8894, 8909, 8913, 8967, 8990, 9018, 9005, 9045,
43     9073, 9061, 9093, 9126, 9129, 9152, 9172, 9191,
44     9225, 9236, 9240, 9273, 9284, 9319, 9323, 9345,
45     9356, 9366, 9384, 9416, 9434, 9455, 9485, 9475,
46     9512, 9537, 9530, 9566, 9574, 9558, 9616, 9614,
47     9635, 9652, 9682, 9689, 9689, 9720, 9738, 9723,
48     9752, 9757, 9748, 9788, 9795, 9838, 9825, 9837,
49     9856, 9859, 9891, 9895, 9919, 9916, 9930, 9955,
50     9945, 9974, 9988, 9991, 10024, 10007, 10042, 10032,
51     10061, 10078, 10088, 10082, 10109, 10127, 10134, 10159,
52     10158, 10167, 10180, 10192, 10211, 10222, 10216, 10246,
53     10259, 10266, 10291, 10291, 10321, 10317, 10332, 10352,
54     10352, 10377, 10383, 10387, 10404, 10426, 10426, 10441,
55     10459, 10459, 10477, 10468, 10484, 10501, 10513, 10523,
56     10528, 10552, 10549, 10556, 10573, 10577, 10590, 10605,
57     10611, 10639, 10622, 10638, 10639, 10663, 10665, 10685,
58     10698, 10708, 10711, 10733, 10724, 10747, 10760, 10754,
59     10769, 10775, 10786, 10806, 10805, 10827, 10825, 10839,
60     10842, 10861, 10863, 10863, 10905, 10891, 10887, 10914,
61     10926, 10945, 10942, 10963, 10980, 10990, 10998, 10998,
62     11012, 11022, 11040, 11042, 11044, 11069, 11076, 11078,
63     11097, 11110, 11119, 11116, 11138, 11153, 11157, 11164,
64     11164, 11181, 11177, 11191, 11205, 11215, 11230, 11232,
65     11237, 11245, 11263, 11280, 11288, 11286, 11295, 11300,
66     11322, 11336, 11328, 11348, 11369, 11362, 11386, 11398,
67     11400, 11423, 11420, 11429, 11455, 11441, 11463, 11476,
68     11489, 11508, 11513, 11522, 11534, 11543, 11550, 11583,
69     11578, 11581, 11603, 11613, 11615, 11628, 11642, 11638,
70     11659, 11668, 11682, 11689, 11695, 11697, 11714, 11720,
71     11727, 11730, 11748, 11745, 11768, 11775, 11773, 11788,
72     11793, 11809, 11827, 11827, 11830, 11841, 11848, 11847,
73     11861, 11870, 11877, 11884, 11898, 11898, 11918, 11934,
74     11931, 11943, 11955, 11963, 11976, 11983, 11995, 11989,
75     12008, 12018, 12031, 12035, 12045, 12057, 12072, 12081,
76     12089, 12089, 12093, 12112, 12116, 12113, 12120, 12136,
77     12151, 12155, 12171, 12175, 12188, 12188, 12197, 12205,
78     12202, 12224, 12231, 12234, 12239, 12246, 12259, 12263,
79     12277, 12277, 12290, 12298, 12298, 12315, 12315, 12325,

```


80	12327,	12337,	12337,	12346,	12355,	12370,	12378,	12378,
81	12377,	12402,	12397,	12393,	12411,	12424,	12423,	12434,
82	12446,	12454,	12454,	12471,	12486,	12486,	12482,	12495,
83	12501,	12505,	12516,	12519,	12540,	12544,	12537,	12555,
84	12563,	12563,	12584,	12587,	12587,	12605,	12618,	12611,
85	12634,	12632,	12639,	12643,	12655,	12668,	12665,	12677,
86	12689,	12698,	12706,	12713,	12713,	12735,	12738,	12745,
87	12734,	12752,	12752,	12766,	12770,	12782,	12786,	12795,
88	12802,	12805,	12810,	12813,	12820,	12820,	12838,	12842,
89	12854,	12842,	12842,	12865,	12867,	12875,	12885,	12883,
90	12895,	12904,	12897,	12902,	12916,	12919,	12912,	12922,
91	12931,	12938,	12940,	12940,	12949,	12959,	12967,	12959,
92	12977,	12977,	12967,	12995,	12995,	12994,	13003,	13005,
93	13007,	13017,	13016,	13032,	13040,	13041,	13041,	13055,
94	13055,	13054,	13055,	13075,	13067,	13068,	13081,	13082,
95	13082,	13102,	13100,	13100,	13112,	13109,	13109,	13127,
96	13127,	13139,	13143,	13160,	13160,	13150,	13153,	13177,
97	13180,	13180,	13180,	13198,	13198,	13191,	13211,	13213,
98	13208,	13208,	13226,	13226,	13234,	13249,	13252,	13245,
99	13259,	13260,	13257,	13280,	13281,	13280,	13296,	13297,
100	13297,	13300,	13314,	13314,	13334,	13334,	13327,	13330,
101	13344,	13341,	13352,	13356,	13366,	13366,	13371,	13377,
102	13377,	13386,	13392,	13400,	13399,	13406,	13413,	13413,
103	13420,	13420,	13431,	13439,	13434,	13443,	13452,	13458,
104	13458,	13456,	13466,	13475,	13485,	13480,	13487,	13495,
105	13484,	13484,	13513,	13508,	13511,	13511,	13529,	13527,
106	13527,	13538,	13538,	13546,	13559,	13559,	13567,	13559,
107	13559,	13573,	13576,	13587,	13591,	13591,	13588,	13588,
108	13613,	13597,	13608,	13627,	13627,	13627,	13636,	13636,
109	13634,	13643,	13643,	13648,	13648,	13659,	13659,	13659,
110	13678,	13678,	13680,	13680,	13694,	13694,	13701,	13700,
111	13701,	13714,	13714,	13714,	13723,	13723,	13735,	13733,
112	13741,	13740,	13740,	13748,	13757,	13757,	13757,	13771,
113	13771,	13770,	13770,	13781,	13788,	13788,	13786,	13786,
114	13809,	13809,	13802,	13808,	13808,	13816,	13813,	13813,
115	13826,	13830,	13830,	13843,	13839,	13850,	13841,	13841,
116	13857,	13857,	13863,	13866,	13866,	13877,	13877,	13880,
117	13884,	13880,	13880,	13880,	13904,	13902,	13902,	13913,
118	13905,	13905,	13926,	13927,	13927,	13927,	13934,	13942,
119	13942,	13940,	13940,	13953,	13955,	13963,	13967,	13967,
120	13960,	13960,	13980,	13980,	13982,	13982,	13989,	13999,
121	13999,	14004,	14004,	14021,	14021,	14014,	14013,	14013,
122	14023,	14023,	14038,	14042,	14042,	14037,	14054,	14054,
123	14054,	14059,	14059,	14059,	14058,	14058,	14057,	14057,
124	14057,	14066,	14066,	14080,	14082,	14082,	14085,	14085,
125	14088,	14088,	14102,	14102,	14105,	14105,	14105,	14119,
126	14119,	14117,	14117,	14117,	14127,	14127,	14127,	14127,
127	14139,	14139,	14145,	14145,	14145,	14145,	14157,	14157,
128	14157,	14151,	14165,	14165,	14174,	14174,	14174,	14174,
129	14180,	14180,	14191,	14191,	14194,	14194,	14202,	14202,
130	14198,	14205,	14205,	14218,	14218,	14221,	14224,	14218,
131	14218,	14236,	14236,	14236,	14237,	14237,	14254,	14252,
132	14252,	14247,	14262,	14262,	14263,	14260,	14260,	14270,
133	14270,	14270,	14270,	14286,	14286,	14286,	14288,	14290,
134	14290,	14294,	14294,	14300,	14300,	14301,	14301,	14317,
135	14317,	14317,	14317,	14317,	14317,	14324,	14324,	14324,
136	14335,	14335,	14335,	14337,	14341,	14341,	14341,	14351,
137	14351,	14351,	14355,	14355,	14358,	14358,	14365,	14365,
138	14369,	14369,	14371,	14371,	14371,	14378,	14385,	14385,
139	14387,	14387,	14387,	14387,	14396,	14396,	14396,	14396,
140	14413,	14413,	14409,	14409,	14409,	14427,	14427,	14427,
141	14427,	14431,	14431,	14434,	14434,	14434,	14434,	14443,
142	14443,	14443,	14440,	14448,	14457,	14448,	14448,	14448,
143	14464,	14464,	14464,	14471,	14471,	14477,	14477,	14479,
144	14484,	14477,	14477,	14477,	14477,	14504,	14504,	14504,
145	14499,	14488,	14504,	14504,	14504,	14504,	14516,	14516,
146	14516,	14516,	14516,	14516,	14516,	14516,	14516,	14531,
147	14531,	14531,	14531,	14538,	14536,	14536,	14536,	14548,
148	14548,	14548,	14547,	14557,	14557,	14556,	14556,	14556,
149	14570,	14570,	14570,	14570,	14571,	14571,	14571,	14571,
150	14580,	14580,	14580,	14590,	14590,	14590,	14590,	14596,
151	14596,	14596,	14602,	14602,	14602,	14594,	14605,	14605,
152	14605,	14614,	14614,	14614,	14613,	14610,	14610,	14610,
153	14619,	14619,	14619,	14616,	14616,	14625,	14625,	14625,
154	14625,	14625,	14636,	14636,	14636,	14636,	14636,	14645,
155	14645,	14645,	14645,	14648,	14648,	14648,	14648,	14648,
156	14655,	14655,	14655,	14655,	14655,	14655,	14655,	14670,
157	14670,	14670,	14670,	14670,	14661,	14661,	14679,	14679,
158	14679,	14679,	14679,	14679,	14679,	14689,	14689,	14689,
159	14689,	14689,	14687,	14682,	14682,	14682,	14682,	14682,

320	15102,	15102,	15102,	15105,	15105,	15105,	15105,	15105,
321	15105,	15105,	15105,	15105,	15105,	15105,	15105,	15105,
322	15105,	15105,	15105,	15105,	15105,	15105,	15105,	15105,
323	15105,	15105,	15120,	15120,	15120,	15120,	15120,	15120,
324	15120,	15120,	15120,	15120,	15120,	15120,	15120,	15120,
325	15120,	15120,	15120,	15120,	15120,	15120,	15120,	15120,
326	15120,	15120,	15120,	15120,	15120,	15120,	15120,	15120,
327	15120,	15120,	15120,	15120,	15129,	15129,	15129,	15129,
328	15129,	15129,	15129,	15129,	15129,	15129,	15129,	15129,
329	15130,	15130,	15130,	15130,	15130,	15130,	15130,	15130,
330	15136,	15136,	15136,	15136,	15136,	15136,	15136,	15136,
331	15136,	15136,	15136,	15136,	15136,	15136,	15136,	15136,
332	15136,	15136,	15136,	15136,	15136,	15136,	15136,	15149,
333	15149,	15149,	15149,	15149,	15149,	15149,	15149,	15149,
334	15149,	15149,	15149,	15149,	15149,	15149,	15149,	15149,
335	15149,	15142,	15148,	15148,	15148,	15148,	15148,	15148,
336	15148,	15148,	15148,	15148,	15148,	15148,	15148,	15148,
337	15148,	15148,	15148,	15148,	15164,	15164,	15164,	15164,
338	15164,	15164,	15164,	15164,	15164,	15164,	15164,	15164,
339	15164,	15164,	15164,	15164,	15164,	15164,	15164,	15164,
340	15157,	15157,	15157,	15157,	15157,	15157,	15170,	15170,
341	15170,	15170,	15170,	15170,	15170,	15170,	15170,	15170,
342	15170,	15175,	15175,	15175,	15175,	15175,	15175,	15175,
343	15175,	15175,	15175,	15175,	15175,	15175,	15175,	15175,
344	15175,	15175,	15175,	15175,	15175,	15175,	15175,	15175,
345	15175,	15184,	15184,	15184,	15184,	15184,	15191,	15191,
346	15191,	15191,	15191,	15191,	15191,	15191,	15191,	15191,
347	15191,	15195,	15195,	15195,	15195,	15195,	15195,	15195,
348	15195,	15195,	15195,	15195,	15205,	15205,	15205,	15205,
349	15205,	15211,	15211,	15211,	15211,	15207,	15207,	15207,
350	15207,	15207,	15207,	15207,	15207,	15207,	15207,	15207,
351	15207,	15215,	15215,	15215,	15215,	15215,	15215,	15215,
352	15215,	15215,	15215,	15215,	15215,	15222,	15222,	15222,
353	15222,	15222,	15222,	15222,	15222,	15222,	15229,	15229,
354	15229,	15233,	15233,	15233,	15233,	15233,	15233,	15233,
355	15233,	15233,	15232,	15232,	15232,	15232,	15232,	15232,
356	15232,	15232,	15239,	15239,	15239,	15239,	15239,	15239,
357	15239,	15255,	15255,	15255,	15255,	15255,	15255,	15255,
358	15255,	15255,	15253,	15253,	15253,	15253,	15253,	15253,
359	15259,	15259,	15259,	15259,	15259,	15259,	15259,	15259,
360	15264,	15264,	15264,	15264,	15264,	15264,	15273,	15273,
361	15273,	15273,	15270,	15270,	15270,	15270,	15270,	15270,
362	15270,	15270,	15270,	15270,	15282,	15282,	15282,	15282,
363	15282,	15282,	15282,	15282,	15282,	15282,	15282,	15290,
364	15290,	15290,	15288,	15288,	15288,	15288,	15288,	15288,
365	15288,	15299,	15299,	15299,	15299,	15299,	15299,	15305,
366	15305,	15305,	15305,	15305,	15305,	15305,	15305,	15308,
367	15308,	15308,	15308,	15308,	15308,	15308,	15308,	15313,
368	15313,	15313,	15313,	15313,	15321,	15321,	15321,	15321,
369	15321,	15321,	15321,	15321,	15321,	15331,	15331,	15331,
370	15331,	15331,	15331,	15331,	15330,	15330,	15332,	15332,
371	15332,	15332,	15332,	15332,	15332,	15337,	15337,	15337,
372	15337,	15337,	15345,	15345,	15345,	15345,	15345,	15355,
373	15355,	15355,	15355,	15355,	15355,	15355,	15358,	15358,
374	15358,	15358,	15358,	15358,	15358,	15361,	15361,	15361,
375	15361,	15361,	15361,	15361,	15361,	15380,	15380,	15380,
376	15380,	15376,	15376,	15375,	15375,	15375,	15375,	15375,
377	15386,	15386,	15386,	15386,	15386,	15392,	15392,	15392,
378	15392,	15392,	15392,	15399,	15399,	15399,	15399,	15398,
379	15402,	15402,	15402,	15402,	15402,	15409,	15409,	15409,
380	15409,	15409,	15414,	15414,	15416,	15416,	15416,	15416,
381	15416,	15416,	15416,	15426,	15426,	15426,	15426,	15426,
382	15426,	15426,	15430,	15430,	15430,	15434,	15434,	15434,
383	15434,	15439,	15439,	15439,	15439,	15439,	15450,	15450,
384	15450,	15450,	15450,	15450,	15450,	15450,	15453,	15453,
385	15453,	15454,	15452,	15452,	15452,	15464,	15464,	15464,
386	15464,	15464,	15464,	15470,	15470,	15470,	15470,	15470,
387	15470,	15470,	15477,	15477,	15477,	15477,	15477,	15477,
388	15485,	15485,	15485,	15485,	15485,	15496,	15496,	15496,
389	15496,	15496,	15498,	15498,	15498,	15498,	15498,	15498,
390	15498,	15514,	15514,	15514,	15514,	15514,	15513,	15513,
391	15513,	15513,	15526,	15526,	15526,	15526,	15528,	15528,
392	15528,	15537,	15537,	15537,	15537,	15537,	15537,	15537,
393	15543,	15543,	15543,	15543,	15543,	15543,	15554,	15554,
394	15560,	15560,	15560,	15557,	15566,	15566,	15566,	15571,
395	15571,	15571,	15571,	15571,	15581,	15581,	15581,	15581,
396	15581,	15586,	15586,	15586,	15583,	15583,	15594,	15594,
397	15594,	15598,	15598,	15607,	15607,	15607,	15607,	15609,
398	15609,	15609,	15609,	15609,	15617,	15617,	15625,	15625,
399	15625,	15632,	15632,	15635,	15635,	15635,	15644,	15644,

400	15644,	15645,	15652,	15652,	15652,	15659,	15659,	15659,
401	15659,	15668,	15668,	15675,	15675,	15675,	15682,	15682,
402	15682,	15682,	15682,	15693,	15693,	15694,	15694,	15694,
403	15709,	15709,	15709,	15709,	15709,	15716,	15716,	15711,
404	15730,	15730,	15730,	15734,	15734,	15734,	15738,	15734,
405	15734,	15734,	15751,	15751,	15751,	15757,	15758,	15763,
406	15757,	15767,	15770,	15770,	15771,	15771,	15778,	15781,
407	15781,	15781,	15798,	15798,	15798,	15791,	15791,	15799,
408	15799,	15808,	15808,	15808,	15808,	15808,	15820,	15820,
409	15830,	15833,	15833,	15834,	15834,	15841,	15841,	15841,
410	15850,	15850,	15855,	15855,	15858,	15858,	15856,	15856,
411	15856,	15887,	15887,	15887,	15877,	15877,	15898,	15898,
412	15891,	15895,	15895,	15908,	15908,	15908,	15905,	15905,
413	15916,	15916,	15926,	15926,	15926,	15941,	15941,	15941,
414	15933,	15938,	15938,	15943,	15943,	15948,	15948,	15956,
415	15955,	15955,	15963,	15963,	15963,	15976,	15976,	15976,
416	15975,	15977,	15977,	15985,	15985,	15991,	15996,	15996,
417	15998,	15998,	15998,	16004,	16004,	16004,	16015,	16015,
418	16015,	16013,	16015,	16015,	16015,	16041,	16041,	16041,
419	16037,	16037,	16037,	16041,	16041,	16048,	16048,	16048,
420	16059,	16059,	16059,	16059,	16069,	16069,	16069,	16074,
421	16074,	16078,	16078,	16081,	16081,	16092,	16092,	16086,
422	16106,	16106,	16106,	16112,	16112,	16112,	16107,	16122,
423	16122,	16122,	16129,	16129,	16129,	16135,	16135,	16145,
424	16145,	16145,	16149,	16147,	16147,	16157,	16157,	16163,
425	16163,	16174,	16166,	16173,	16173,	16173,	16184,	16184,
426	16184,	16195,	16200,	16209,	16207,	16207,	16207,	16211,
427	16211,	16220,	16220,	16226,	16231,	16231,	16236,	16236,
428	16245,	16248,	16250,	16250,	16259,	16259,	16259,	16266,
429	16266,	16277,	16277,	16282,	16282,	16282,	16291,	16295,
430	16298,	16298,	16306,	16307,	16318,	16318,	16321,	16317,
431	16331,	16331,	16338,	16338,	16341,	16341,	16348,	16348,
432	16359,	16359,	16364,	16364,	16375,	16375,	16379,	16384,
433	16385,	16390,	16392,	16392,	16399,	16413,	16413,	16420,
434	16420,	16420,	16430,	16423,	16436,	16441,	16437,	16446,
435	16458,	16458,	16461,	16461,	16468,	16473,	16474,	16478,
436	16478,	16492,	16495,	16498,	16502,	16502,	16515,	16519,
437	16526,	16521,	16527,	16527,	16538,	16538,	16546,	16544,
438	16544,	16561,	16561,	16561,	16577,	16576,	16589,	16589,
439	16590,	16602,	16602,	16601,	16601,	16618,	16626,	16626,
440	16619,	16639,	16635,	16635,	16658,	16654,	16654,	16661,
441	16666,	16666,	16678,	16682,	16682,	16692,	16692,	16702,
442	16706,	16706,	16716,	16719,	16724,	16737,	16737,	16736,
443	16743,	16752,	16755,	16758,	16774,	16774,	16784,	16784,
444	16779,	16801,	16801,	16796,	16808,	16813,	16826,	16819,
445	16819,	16835,	16834,	16843,	16843,	16847,	16855,	16854,
446	16863,	16863,	16877,	16876,	16881,	16881,	16898,	16894,
447	16894,	16911,	16911,	16907,	16926,	16926,	16921,	16945,
448	16945,	16936,	16939,	16943,	16943,	16970,	16959,	16969,
449	16969,	16976,	16983,	16984,	17000,	17001,	17001,	17016,
450	17016,	17020,	17020,	17020,	17040,	17030,	17041,	17041,
451	17051,	17050,	17058,	17058,	17076,	17074,	17074,	17088,
452	17088,	17098,	17090,	17105,	17105,	17116,	17125,	17125,
453	17137,	17135,	17153,	17152,	17165,	17154,	17174,	17174,
454	17191,	17191,	17192,	17195,	17211,	17209,	17224,	17222,
455	17222,	17249,	17259,	17263,	17252,	17279,	17270,	17276,
456	17284,	17293,	17307,	17307,	17317,	17330,	17334,	17339,
457	17327,	17348,	17357,	17359,	17379,	17366,	17376,	17388,
458	17393,	17393,	17409,	17409,	17412,	17417,	17417,	17436,
459	17430,	17445,	17445,	17460,	17453,	17462,	17475,	17475,
460	17488,	17488,	17502,	17495,	17509,	17516,	17516,	17526,
461	17535,	17545,	17543,	17544,	17552,	17556,	17563,	17573,
462	17576,	17583,	17584,	17601,	17601,	17616,	17616,	17627,
463	17627,	17635,	17631,	17631,	17654,	17658,	17673,	17679,
464	17692,	17686,	17687,	17692,	17720,	17713,	17724,	17748,
465	17734,	17748,	17765,	17766,	17770,	17782,	17793,	17795,
466	17808,	17815,	17823,	17830,	17846,	17837,	17850,	17861,
467	17866,	17878,	17878,	17891,	17898,	17918,	17918,	17929,
468	17934,	17951,	17948,	17958,	17956,	17965,	17980,	17980,
469	18000,	18000,	18014,	18020,	18030,	18034,	18041,	18044,
470	18055,	18062,	18070,	18078,	18081,	18096,	18103,	18113,
471	18127,	18138,	18127,	18147,	18145,	18165,	18180,	18166,
472	18180,	18191,	18214,	18201,	18210,	18236,	18246,	18243,
473	18256,	18275,	18284,	18300,	18293,	18313,	18324,	18325,
474	18331,	18348,	18357,	18372,	18375,	18405,	18398,	18405,
475	18413,	18441,	18436,	18459,	18472,	18472,	18480,	18491,
476	18501,	18512,	18537,	18531,	18542,	18553,	18567,	18573,
477	18584,	18587,	18599,	18598,	18614,	18624,	18636,	18649,
478	18655,	18649,	18666,	18671,	18683,	18695,	18714,	18717,
479	18737,	18737,	18733,	18752,	18772,	18761,	18786,	18792,

```
480 | 18801, 18813, 18815, 18837, 18839, 18853, 18853, 18864,
481 | 18874, 18877, 18901, 18905, 18909, 18941, 18941, 18938,
482 | 18955, 18963, 18966, 18982, 19000, 19000, 19013, 19027,
483 | 19034, 19041, 19051, 19066, 19084, 19076, 19095, 19119,
484 | 19108, 19126, 19126, 19147, 19147, 19161, 19148, 19170,
485 | 19171, 19202, 19208, 19202, 19214, 19239, 19225, 19245,
486 | 19255, 19255, 19280, 19309, 19290, 19304, 19308, 19330,
487 | 19332, 19358, 19345, 19376, 19376, 19392, 19402, 19413,
488 | 19409, 19429, 19432, 19458, 19482, 19484, 19489, 19509,
489 | 19511, 19516, 19538, 19540, 19554, 19559, 19573, 19589,
490 | 19612, 19615, 19619, 19627, 19648, 19652, 19659, 19670,
491 | 19684, 19702, 19710, 19729, 19720, 19741, 19747, 19765,
492 | 19785, 19795, 19795, 19802, 19823, 19836, 19836, 19842,
493 | 19853, 19866, 19880, 19895, 19911, 19919, 19945, 19952,
494 | 19955, 19963, 19996, 19982, 19991, 20017, 20020, 20034,
495 | 20053, 20067, 20085, 20092, 20086, 20102, 20108, 20127,
496 | 20143, 20152, 20146, 20181, 20187, 20195, 20191, 20213,
497 | 20242, 20266, 20255, 20277, 20285, 20286, 20316, 20334,
498 | 20354, 20325, 20377, 20396, 20412, 20403, 20441, 20455,
499 | 20466, 20466, 20481, 20502, 20534, 20527, 20552, 20574,
500 | 20600, 20606, 20618, 20623, 20634, 20669, 20670, 20684,
501 | 20705, 20724, 20727, 20760, 20762, 20773, 20779, 20812,
502 | 20842, 20839, 20867, 20897, 20909, 20927, 20955, 20977,
503 | 21000, 21013, 21024, 21058, 21082, 21095, 21109, 21144,
504 | 21170, 21163, 21180, 21210, 21240, 21265, 21275, 21286,
505 | 21344, 21323, 21372, 21429, 21441, 21438, 21497, 21488,
506 | 21530, 21589, 21608, 21664, 21635, 21688, 21730, 21755,
507 | 21788, 21794, 21809, 21851, 21856, 21939, 21934, 22021,
508 | 21991, 22063, 22116, 22148, 22198, 22212, 22291, 22293,
509 | 22338, 22378, 22423, 22462, 22505, 22509, 22559, 22594,
510 | 22631, 22630, 22702, 22738, 22778, 22863, 22891, 22898,
511 | 22985, 23006, 23045, 23116, 23125, 23197, 23228, 23270,
512 | 23333, 23366, 23477, 23537, 23504, 23645, 23604, 23674,
513 | 23738, 23801, 23836, 23879, 23922, 23984, 24067, 24123,
514 | 24044, 24130, 24226, 24209, 24263, 24347, 24437, 24390,
515 | 24608, 24527, 24601, 24712, 24754, 24812, 24866, 24994,
516 | 25034, 25004, 25122, 25263, 25211, 25374, 25402, 25445,
517 | 25606, 25639, 25616, 25767, 25787, 25853, 25934, 25912,
518 | 26116, 26177, 26211, 26317, 26400, 26444, 26497, 26584,
519 | 26840, 26870, 26970, 27009, 27064, 27246, 27293, 27368,
520 | 27487, 27475, 27577, 27649, 27762, 27854, 28013, 27986,
521 | 28176, 28374, 28318, 28359, 28523, 28730, 28846, 28927,
522 | 28927, 29014, 29249, 29375, 29465, 29620, 29665, 29808,
523 | 29809, 29818, 29818, 29818, 29818, 29818, 29818, 29818,
524 | 29818, 29818, 29818, 29818, 29818, 29818, 29818, 29818,
525 | 29818, 29818, 29818, 29818, 29818, 29818, 29818, 29818,
526 | 29818, 29818, 29818, 29818, 29818, 29818, 29818, 29818,
527 | };
528 | #endif
```

```
1  /*****  
2  /* Autor:      Robert Ostermann      */  
3  /* Datum:     01.09.2011 - 24.02.2012 */  
4  /* Controller: MSP430f1611 => "Regelcontroller" */  
5  /*  
6  /* Datei:     offset_sin.h          */  
7  /* Beschreibung: Lookup-Tabelle der Sinusfunktion */  
8  /*  
9  /*****  
10  
11 #ifndef OFFSET_SIN_H  
12 #define OFFSET_SIN_H  
13  
14 const unsigned int offset_sin[65] = {  
15     32768, 32758, 32729, 32679, 32610,  
16     32522, 32413, 32286, 32138, 31972,  
17     31786, 31581, 31357, 31114, 30853,  
18     30572, 30274, 29957, 29622, 29269,  
19     28899, 28511, 28106, 27684, 27246,  
20     26791, 26320, 25833, 25330, 24812,  
21     24279, 23732, 23170, 22595, 22006,  
22     21403, 20788, 20160, 19520, 18868,  
23     18205, 17531, 16846, 16151, 15447,  
24     14733, 14010, 13279, 12540, 11793,  
25     11039, 10279, 9512, 8740, 7962,  
26     7180, 6393, 5602, 4808, 4011,  
27     3212, 2411, 1608, 804, 0  
28 };  
29 #endif
```

D.2 Matlab

D.2.1 Simulation stückweise lineare Approximation

```

1  %-----
2  % Skript zur Simulation der approximierten logarithmischen Funktion
3  %
4  % Datei: log_approximation.m
5  %
6  % Erstellt von: Robert Ostermann
7  % Datum: 01.09.2011 - 24.02.2012
8  %-----
9
10 clear all;
11 clc;
12
13 % Sytemparameter
14 Ulimit = 1; % Sättigung der Verstärker
15 N = 8; % Anzahl Stufen
16 v = 2; % Verstärkung der einzelnen Stufen
17
18 % Berechnung der Eingangssignale bei denen die einzelnen
19 % Verstärker gerade in die Begrenzung gehen
20 k = 1:1:N;
21 Ut_k = Ulimit./((v-1).*v.^(k-1));
22
23 % Berechnung der Ausgangssignale in den Knickpunkten
24 Ua_k = Ulimit/(v-1) + N*Ulimit - Ulimit*log(Ulimit)/log(v) ...
25 + Ulimit*log(v-1)/log(v);
26 Ua = Ua_k + Ulimit/log(v)*log(Ut_k);
27
28 % Darstellung der "logarithmischen Kennline"
29 figure(1);
30 hold off;
31 semilogx(Ut_k,Ua,'-r*');
32 grid on;
33 hold on;
34
35 % Stückweise lineare Approximation
36 Ue = 0.000:0.0001:Ut_k(1);
37 Ua = Ue;
38 Ua = Ua + (Ue*(v-1)>=Ulimit)*Ulimit ...
39 + (Ue*(v-1)<Ulimit).*(Ue*(v-1));
40 for i=1:1:N-1
41     Ua = Ua + (Ue*(v-1)*v^i>=Ulimit)*Ulimit ...
42     + (Ue*(v-1)*v^i<Ulimit).*(Ue*(v-1)*v^i);
43 end;
44
45 figure(1);
46 semilogx(Ue,Ua);
47 set(gca,'fontsize',16);
48 title('Stückweise lineare Approximation');
49 xlabel('Ue/V');
50 ylabel('Ua/V');
51 legend('ideal','approximiert','Location','NorthWest');

```


D.2.2 Simulation Kennlinie

```
1  %-----  
2  % Skript zur Simulation der Kennlinie des Logarithmierers  
3  %  
4  % Datei: funktion_logamp.m  
5  %  
6  % Erstellt von: Robert Ostermann  
7  % Datum: 01.09.2011 - 24.02.2012  
8  %-----  
9  
10 clear all;  
11 clc;  
12  
13 figure(1);  
14 hold off;  
15  
16 % Funktionsgraph zeichnen  
17 in = -1:0.00001:+1;  
18 plot(in,logamp_fnc(in),'k');  
19 hold on;  
20 grid on;  
21  
22 % Eingangssignal  
23 t = 0:0.001:2*pi;  
24 Uin = 0.6*sin(t);  
25 plot(Uin,-t-3*pi,'k');  
26  
27 % Ausgangssignal (logarithmiert)  
28 signal = logamp_fnc(Uin);  
29 plot(t/7+1,signal,'k');  
30  
31 % Achsenkreuz  
32 plot([-1 2],[0 0],'k'); % x  
33 plot([0 0],[-20 10],'k'); % y  
34  
35 % Horizontale Linien  
36 plot([min(Uin) 2],[min(signal) min(signal)],'--k');  
37 plot([max(Uin) 2],[max(signal) max(signal)],'--k');  
38  
39 % Vertikale Linien  
40 plot([min(Uin) min(Uin)], [min(signal) -20], '--k');  
41 plot([max(Uin) max(Uin)], [max(signal) -20], '--k');  
42  
43 % Achsenbeschriftung  
44 set(gca,'fontsize',16);  
45 title('verschobener Logarithmierer');  
46 xlabel('Ue/V');  
47 ylabel('Ua/V');
```

```
1  %-----  
2  % Funktion zur Simulation des logarithmischen Verstärkers  
3  %  
4  % Datei: logamp_fnc.m  
5  %  
6  % Erstellt von: Robert Ostermann  
7  % Datum: 01.09.2011 - 24.02.2012  
8  %-----  
9  
10 function [ Uout ] = logamp_fnc( Uin )  
11  
12     Ulimit = [1 1 1 1 1 1 1];  
13  
14     prefix = sign(Uin); % vorzeichen speichern  
15     Uin = abs(Uin);  
16  
17     Uout = 2*Uin;  
18  
19     for i=1:1:7  
20         Uout = Uout + (((Uin*2^i)>=Ulimit(i))*Ulimit(i))...  
21                 + (((Uin*2^i)<Ulimit(i)).*Uin*2^i);  
22     end;  
23  
24     Uout = prefix.*Uout;  
25 end
```

D.2.3 Simulation Phasenverschiebung

```
1  %-----
2  % Simulation zur Addition phasenverschoben und begrenzter Signale
3  %
4  % Datei: phase.m
5  %
6  % Erstellt von: Robert Ostermann
7  % Datum: 01.09.2011 - 24.02.2012
8  %-----
9
10 clc;
11 clear all;
12
13 limit = 1;
14 gain = 2;
15
16 t = 0:0.001:1.5;
17 a = gain.^(0:1:5);
18
19 for i=1:1:6
20     in(:,i) = a(i)*sin(2*pi*t);
21     out(:,i) = a(i)*sin(2*pi*t-log2(a(i))*pi/180*5); % 5° verschiebung pro stufe
22 end;
23
24 % limitieren des Signals
25 out = out.*(out<limit) + limit*(out>=limit);
26 out = out.*(out>-limit) - limit*(out<=-limit);
27 in = in.*(in<limit) + limit*(in>=limit);
28 in = in.*(in>-limit) - limit*(in<=-limit);
29
30 set(gca,'fontsize',16);
31 hold off;
32 plot(t,[sum(in'); sum(out')]);
33 grid on;
34
35 title(['Vergleich Addition, mit und ohne Phasenverschiebung'...
36       ' / 5° Verschiebung pro Stufe (5 Stufen)']);
37 xlabel('t');
38 ylabel('Uout/V');
39 legend('nicht Phasenverschoben','Phasenverschoben','Location','SouthEast');
40 export_fig(gcf,'Vergleich_Phasenverschiebung.pdf','A4L');
```

D.2.4 Lookup-Tabelle Delogarithmierung

```
1  %-----  
2  % Skript zum erstellen der Lookup-Tabelle für die Delogarithmierung  
3  % der gesampelten Werte auf dem Regelcontroller  
4  %  
5  % Datei: delog_lookup.m  
6  %  
7  % Erstellt von: Robert Ostermann  
8  % Datum: 01.09.2011 - 24.02.2012  
9  %-----  
10  
11 clear all;  
12 clc;  
13  
14 D = 0:1:4095;  
15 Uin = 0:2.5/length(D):2.5-2.5/length(D);  
16  
17 % Messergebnisse laden  
18 load('messung_logamp_in_out_2.mat');  
19  
20 for i=1:length(Uin)  
21     temp = abs(ch4 - Uin(i)); % differenz zwischen real und optimal bilden  
22     [C,I] = min(temp); % Minima bestimmen  
23     table(i) = ch3(I); % realwert speichern  
24 end;  
25  
26 fp = fopen('delog_table.h','w');  
27 fprintf(fp,['#ifndef DELOG_TABLE_H\n'...  
28     '#define DELOG_TABLE_H\n'...  
29     'const unsigned int delog_table[4096] = {']);  
30  
31 for i=1:length(D)-1  
32     if mod(i-1,8) == 0  
33         fprintf(fp,'\n');  
34     end;  
35     fprintf(fp,'\t%5.0f,',table(i)*10000);  
36 end;  
37  
38 fprintf(fp,'\t%5.0f\n',table(length(D))*10000);  
39 fprintf(fp,'\t};\n');  
40 fprintf(fp,'#endif\n');  
41  
42 fclose(fp);
```

D.2.5 Lookup-Tabelle Sinusfunktion

```
1  %-----
2  % Skript zum erstellen der Sinus-Lookup-Tabelle für die Offsetberechnung
3  %
4  % Datei: sin_lookup.m
5  %
6  % Erstellt von: Robert Ostermann
7  % Datum: 01.09.2011 - 24.02.2012
8  %-----
9
10 clear all;
11 clc;
12
13 Duty = 0:1:64;
14
15 sin_offset = round(-32768*sin(pi.*Duty./128-pi/2));
16
17 fp = fopen('offset_sin.h','w');
18 fprintf(fp,['#ifndef OFFSET_SIN_H\n'...
19           '#define OFFSET_SIN_H\n\n'...
20           '#const unsigned int offset_sin['...
21           num2str(length(Duty)) ' ] = {'});
22
23 for i=1:length(Duty)-1
24     if mod(i-1,5) == 0
25         fprintf(fp,'\n');
26     end;
27     fprintf(fp,'\t%5.0f,', sin_offset(i));
28 end;
29
30 fprintf(fp,'\t%5.0f\n', sin_offset(length(Duty)));
31 fprintf(fp,'\t};\n');
32 fprintf(fp,'#endif\n');
33
34 fclose(fp);
```

Abkürzungsverzeichnis

ABS	Antiblockiersystem
ADC	Analog-Digital-Umsetzer
AMR	Anisotrope Magnetoresistive
DAC	Digital-Analog-Umsetzer
DVGA	Digital Variable Gain Amplifier
GWBP	Verstärkungs-Bandbreite-Produkt
ISR	Interrupt Service Routine
OP	Operationsverstärker
THD	Total Harmonic Distortion

Tabellenverzeichnis

3.1	Liste der untersuchten Verstärker	31
3.2	Gegenüberstellung Parallel- und Reihenschaltung	40
4.1	Maximale Eingangsspannung bei gegebener Verstärkung	54
C.1	Zuordnung, Pins des Regelcontrollers	88
D.1	Zuordnung von Quelldateien und Funktionen des Regelcontrollers	107

Abbildungsverzeichnis

1.1	Wheatstonsche Messbrücke	7
1.2	Zusammenhang zwischen Encoder und U_{diff} , Quelle:[16]	8
1.3	Stark unregelmäßiges Sensorsignal	9
1.4	Bestehende Demonstratorplattform; a:Controllerplatine, b:Regelplatine, c:Verstärkerplatine, d:Displayplatine	10
1.5	Schematisches Zusammenwirken der Grundfunktionalität	13
2.1	Logarithmierer mit Diode nach [20]	15
2.2	Logarithmierer mit Transistor nach [20]	16
2.3	Kennlinien kontinuierlicher Logarithmierer	16
2.4	Schematischer Aufbau in Reihenschaltung	17
2.5	Vergleich idealer und realer Verstärker ($V = 2, U_{limit} = 1 \text{ V}$)	18
2.6	Stückweise lineare Approximation, eigene Simulation nach [14]	20
2.7	Logarithmierer Kennlinie	21
2.8	Kennlinie verschobener Logarithmierer	22
2.9	Schematische Systemdarstellung	23
2.10	Ermittlung des Tastverhältnisses, schematisch nach [10]	26
2.11	Logarithmierer mit Duty-Cycle erhaltendes Zeitverhalten	27
3.1	OP Begrenzungsverzerrung	31
3.2	Approximation durch Reihenschaltung	32
3.3	Nichtinvertierender Verstärker mit Begrenzung der OP Eingangsspannung	32
3.4	Approximation durch Parallelschaltung	33
3.5	Invertierender Verstärker mit sanfter Begrenzung	34
3.6	Funktion der Logarithmierer; Parallelschaltung ist bedingt durch den Aufbau invertiert	36
3.7	Simulierter Phasengang bei parallel aufgebauten Verstärkerstufen	37
3.8	Vergleich Addition mit und ohne verschobener Phase	38
3.9	Simulierter korrigierter Phasengang bei parallel aufgebauten Verstärkerstufen	39
3.10	Reihenschaltung nach erster Verstärkerstufe, $V = 50$	41
3.11	Signalpfad der linearen Signale bei der Reihenschaltung	42
3.12	Signalpfad der linearen Signale bei der Parallelschaltung	42
3.13	Spannung-Strom-Wandler, Quelle: [13]	43
3.14	Parallel angeordnete Verstärker für Halbbrückensignale und Differenzsignal	45

4.1	Signalführung auf der Hauptplatine	47
4.2	übergeordneter Zustandsautomat, nach [19]	48
4.3	Zustandsautomat nach [19]	50
4.4	Ausschnitt der ADC Interrupt Service Routine	51
4.5	Schematische Darstellung <code>calc_offset()</code>	53
4.6	Kennlinien der einzelnen Verstärkerstufen	53
4.7	Zustandsautomat nach [19], hier vereinfacht nach Wegfall der initialen Verstärkungsregelung	55
5.1	Kombinierte logarithmisch und lineare Verstärkerbank	56
5.2	Gemessene Amplitudengänge	57
5.3	Gemessene Phasengänge	58
5.4	Versuchsaufbau	59
5.5	Verstärkungsauswahl bei Systemstart	60
5.6	Verstärkungsauswahl bei kontinuierlicher Änderung der Signalamplitude	61
5.7	Messung positiver Amplitudensprung mit schneller Anpassung der Verstärkung	62
5.8	Messung negativer Amplitudensprung mit verzögerter Anpassung der Verstärkung	62
5.9	Offsetkompensation bei Offsetsweep (Die Signalfrequenz von $f = 107$ Hz ist hoch gegenüber Zeitbereichsdarstellung)	63
5.10	Offsetkompensation bei Offsetsprung	64
5.11	Kennlinie Spannungs-Strom-Wandler	65
5.12	HDI mittels kombinierter logarithmisch und linearer Verstärkerbank	67
5.13	HDI mittels Verstärkerplatine nach [10]	68
5.14	Verstärkung bei kombinierter logarithmisch und linearer Verstärkerbank	69
5.15	Verstärkung bei Verstärkerplatine nach [10]	70
5.16	Linear und logarithmisch verstärktes und Sensorsignal im Zeitbereich	71
5.17	Linear und logarithmisch verstärktes und Sensorsignal im Zeitbereich, mit Frequenzverdopplung durch Verkippung	71
A.1	PSpice Schaltbild Parallelschaltung	77
A.2	PSpice Schaltbild Reihenschaltung	79
A.3	PSpice Simulation Amplitudengang Reihenschaltung	81
A.4	PSpice Simulation Phasengang Reihenschaltung	81
A.5	PSpice Simulation Amplitudengang Parallelschaltung	82
A.6	PSpice Simulation Phasengang Parallelschaltung	83
B.1	HD5 bei kombinierter logarithmisch und linearen Verstärkerbank	85
B.2	HD5 bei Verstärkerplatine nach [10]	85
B.3	U-Peak bei kombinierter logarithmisch und linearen Verstärkerbank	86
B.4	U-Peak bei Verstärkerplatine nach [10]	86

C.1	Bestückung Oberseite Hauptplatine	92
C.2	Bestückung Unterseite Hauptplatine	92
C.3	Bestückung Oberseite logarithmisch und lineare Verstärkerbank, Parallelschaltung	99
C.4	Bestückung Unterseite logarithmisch und lineare Verstärkerbank, Parallelschaltung	99
C.5	Bestückung Oberseite logarithmisch und lineare Verstärkerbank, Reihenschaltung	106
C.6	Bestückung Unterseite logarithmisch und lineare Verstärkerbank, Reihenschaltung	106

Versicherung über die Selbstständigkeit

Hiermit versichere ich, dass ich die vorliegende Arbeit im Sinne der Prüfungsordnung nach §16(5) APSO-TI-BM ohne fremde Hilfe selbstständig verfasst und nur die angegebenen Hilfsmittel benutzt habe. Wörtlich oder dem Sinn nach aus anderen Werken entnommene Stellen habe ich unter Angabe der Quellen kenntlich gemacht.

Hamburg, 24. Februar 2012

Ort, Datum

Unterschrift